

昭和二十五年三月二十日第三種郵便物發行可  
陸和第二十九〇九年六月九日  
月月二十七日  
發印行刷

# 船舶 9

VOL.27

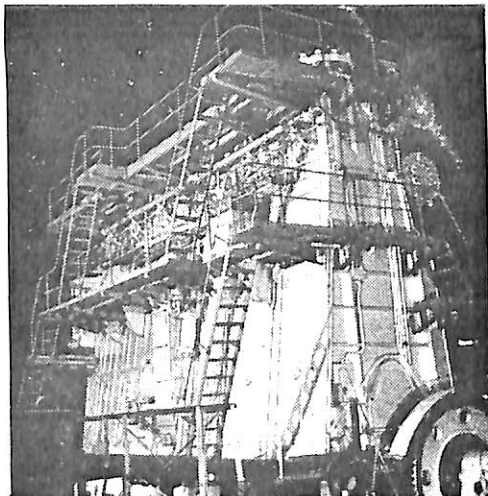
捕鯨船 「第十一興南丸」  
(700 総屯・17.9 ノット)  
昭和29年8月20日竣工  
日立B & Wディーゼル機関搭載  
(850-VF-90; 3,280 B.H.P)  
日本水産株式会社御註文  
向島工場建造



天然社

八京都文京区本富士町一  
東京大學船型試驗水槽室

# 川崎 M·A·N 2サイクル KZ型 單働チーゼル機関



100 - 130 r.p.m  
2700 ~ 9500 H.P

用途 船舶主機、補機  
發電機  
一般動力用



## 川崎重工業株式會社

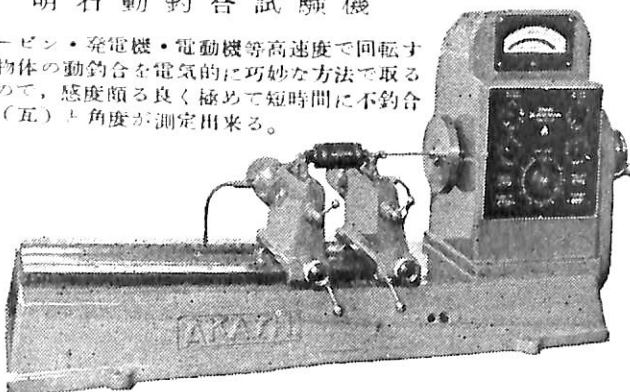
本社 神戸市生田区東川崎町2丁目14番地  
支店 東京都港区芝田村町1丁目1ノ1 (日比谷ビル7階)



材料試験機  
動的試験機  
振動計  
電子顕微鏡  
ねじ転造盤

### 明石動的試験機

タービン・発電機・電動機等高速度で回転する物体の動的試験を電気的に巧妙な方法で取るもので、感度頗る良く極めて短時間に不釣合量(瓦)と角度が測定出来る。



# 株式会社 明石製作所

本社・工場 東京都品川区東品川五丁目一  
電話 大崎 (49) 8146 (代表) 8147・8148

大阪出張所 大阪市北区網笠町五〇 堂ビル六一四号  
電話 堀川 (35) 0951・1820・6650

安全弁  
M H - 3 型  
労働省認定7006  
(特許申請中)

TRADE  MARK

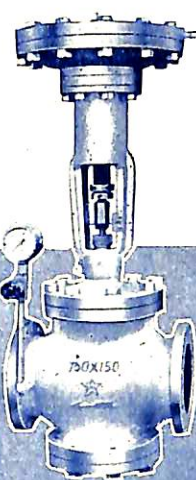
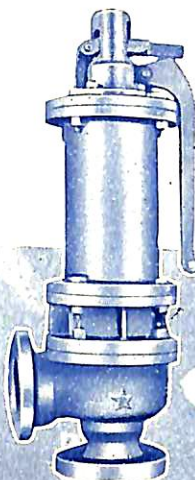
調整弁

營業品目

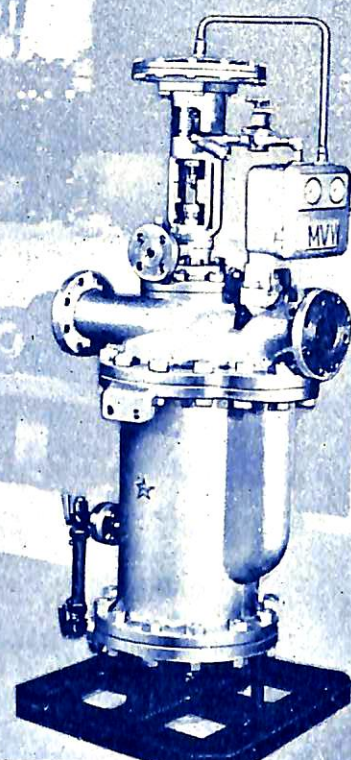
溫 裝

置辨  
全辨  
壓辨  
壓類

減安高減  
其ノ他機関用辨



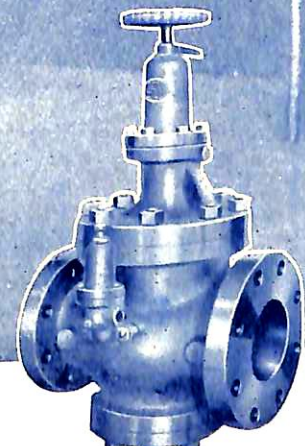
パラレルスライド弁



減圧弁  
MRB-2型  
(特許申請中)



自動噴射式  
減温装置  
陸船用  
(特許申請中)



株式會社

前 中 義 作 所

本社工場 東京都大田区蒲田東六郷二ノ一

電話 蒲田 (73) 2880・4163

**セイコーシヤの船時計**

一週間巻 中三針式  
毎日巻 秒針付  
黄銅クローム鍍金  
完全防水ケーブル入

株式会社  
**服部時計店**

本社 東京都中央区銀座西四丁目  
電話京橋(56)-代 2111-4, 3196(3)  
支店 大阪市東城博労町四丁目  
電話 鮎 2531~4

**AKASAKA DIESEL**

創立 50年  
50B.H.P.—5,000B.H.P.

船舶主機用  
船舶輔助用  
自家發電用  
ポンプ駆動用  
一般動力用

株式会社赤坂鐵工所

本社 東京都中央区銀座6の3TEL銀座(57)1414, 6489  
工場 福岡県糸島市中392の1 TEL糸島1010~1014

**FIWCC**

**傳統を誇る  
藤倉の  
舶用電線**

本社及場  
深川工場  
沼津工場  
大阪販売店  
福岡販売店  
名古屋出張所  
駐在員

東京都江東区深川平久町一ノ四  
沼津市本字七通り360  
大阪市北区伊勢町二九ノ一  
福岡市上市小路十二大博通り  
名古屋市中村区広井町3-98  
札幌・仙台

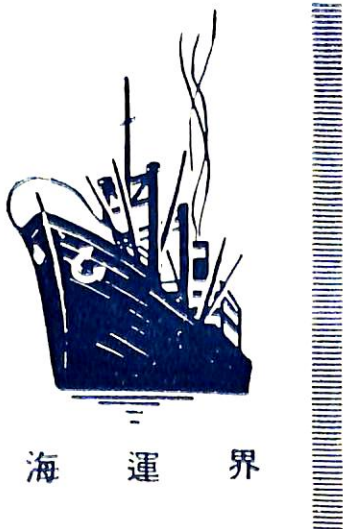
**藤倉電線株式會社**

この一滴一滴こそ...  
あなたの利益を保證します。



## GARGOYLE オイル

皆様の特殊の仕事のために  
特別に精製されています。



海 運 界

ガーゴイル高級潤滑油は五つの点で経費  
の節減と設備の保護をもたらします。

- ・給油量が少ない
- ・損耗を減らす
- ・信頼出来る品質
- ・世界各港で入手出来る
- ・事故による巨額の損害を防止します

全世界の主要港にはガーゴイルのマリン技術サー  
ビスがあり常に船主の利益を計つて居ります。

文献・案内書御希望の方は各支社営業部宛  
御申込下さい。

87年に亘り研究と製油並に潤滑技術に於て  
世界の首位を確保して居ります。

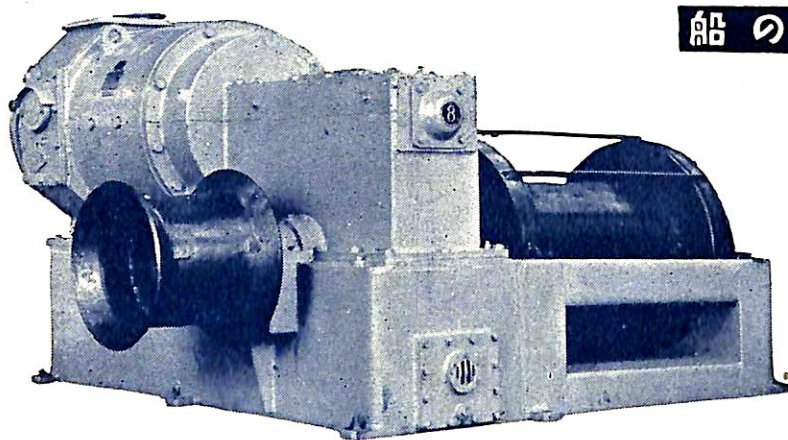
## GARGOYLE Lubrication

### スタンダード・ヴァキューム・オイル・カンパニー

東京・横浜・大阪・名古屋・仙台・小樽・福岡



船の手



荷役日数短縮の新記録が  
達出しております

堅牢で故障がない  
保守が簡単である  
消費電力が少ない



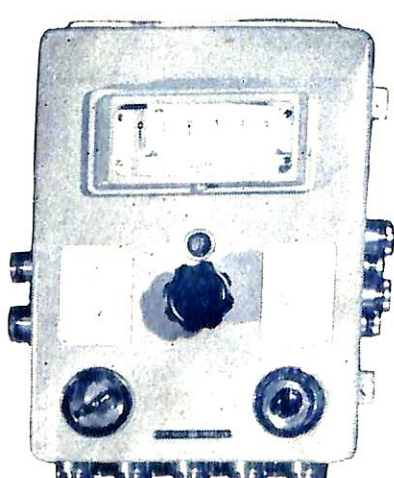
# 富士 交流 揚貨機

富士電機製造株式会社

# MARINE RDK TYPE

100隻突破!!

$CO_2$ メーター 溫度計  
極塩計  $P^H$ メーター



# 理化電機工業株式会社

本社 東京都大田区田園調布3丁目50番地

新型熱電補償温度計

電話 田園調布 (72) 2083, 6297

# 船舶

第27卷 第9号

昭和29年9月12日発行

天 然 社

## ◇ 目 次 ◇

### 特 集 [船の運動について]

スランミング（船首底衝撃）と船の運動	秋田好雄・越智和夫…(809)
大洋波の特性と船の運動	元良 誠三…(814)
船の方向変換運動	谷 初藏…(820)
自動操舵について	野本 謙作…(825)
波浪中における水槽試験の二三の問題	伊藤 達郎…(830)
船の運動と波の力	丸 尾 孟…(835)

超大型鮪漁船オ二十一黒潮丸について	三菱造船株式会社…(840)
舶用ヒューズについて（上）	刀禰館正巳…(843)
オ7回国際船舶流体力学会議の議題について（3）	(850)
推計学の現場技術への応用（5）	増淵 興一…(858)
サイゴン・バンコック見聞記	畑 賢二…(862)
〔海外文献の紹介〕	
造船家から見た脆性破壊問題	…(866)
1953年における推進機関の進歩	…(869)
水槽試験資料44. —小型油槽船の模型試験—	船舶編集室…(872)
鋼船建造状況月報（6月）	運輸省船舶局・造船課…(875)
特許解説	大谷幸太郎…(878)

〔写真〕 ☆オ三雄洋丸 ☆すまとら丸 ☆サウエガ号 ☆バウマセップ号  
☆オ十一興南丸

最高水準を行く  
舶用電線

取締役社長  
崎山義一

日本電線

本社 東京都墨田区寺島町二丁目八番地  
営業部 東京都中央区築地三丁目十番地(懇和会館内)  
営業所 大阪・名古屋・福岡・仙台  
工場 東京・川崎

バンカーオイルを常用するディーゼル船に……

# 新型 シャープレス油清淨機



処理能力 (L/H)

機械 型式	タービン及 ディーゼル	ディーゼル 油	バンカー "C" 重油
油種	潤滑油		Light Fuel oil Heavy Fuel oil
No. 16-V	2000~2500	2500~3000	2000~2500 1500~2000

米国シャープレス・コーポレーション日本総代理店

セントリーフューガス・リミテッド日本総代理店

## 巴工業株式会社

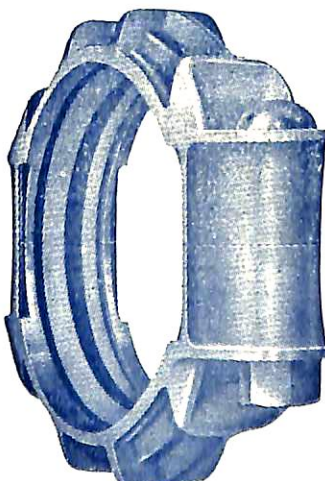
本社 東京都中央区銀座1の6(皆川ビル内)  
電話京橋(56)8681(代表), 8682~5  
神戸出張所 神戸市生田区京町79(日本ビル内) 電話葺合(2)0288  
工場 東京都品川区北品川4の535 電話大崎(49)4679・1372



日本ヴィクトリック株式会社

## VICTAULIC

LEAKTIGHT  
PIPE



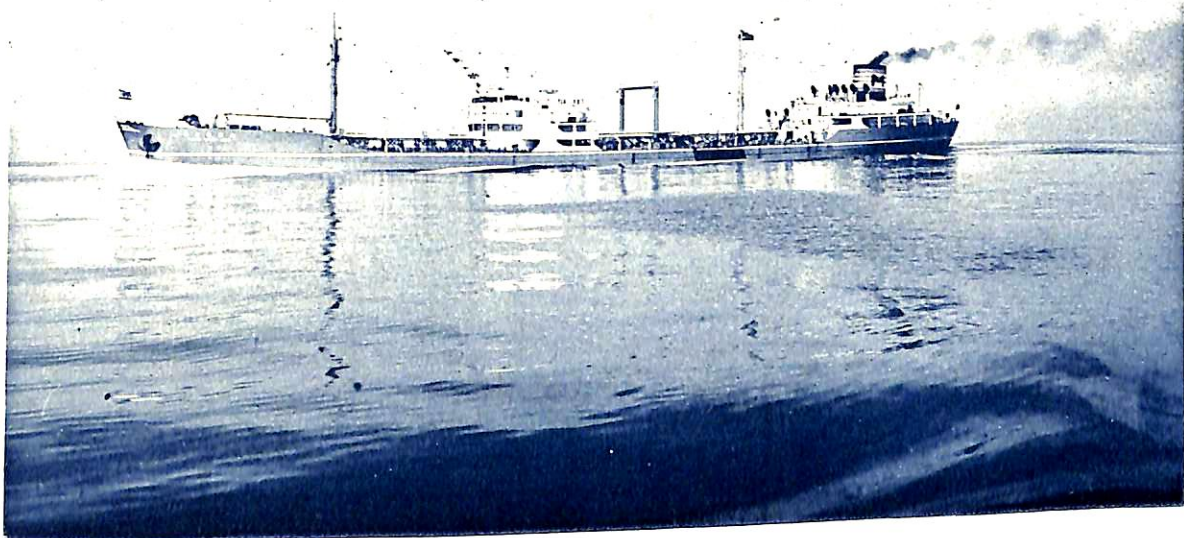
FLEXIBLE  
JOINTS

販賣總代理

浅野物産株式会社  
東京都中央区日本橋小舟町  
二丁目(小倉ビル)  
電話茅場町(66)代表0181~10  
代表7531~5

大阪支店  
門司支店  
札幌店  
店  
出張所  
大阪市東区瓦町二丁目瓦町三和ビル  
門司市棧橋通一 郵船ビル  
札幌市南一條西二丁目一八番地  
横濱・名古屋・神戸  
廣島・高松・福岡・八幡  
長崎・熊本・仙台・釧路

ABC



第三雄洋丸（油槽船）

船主 森田汽船株式会社

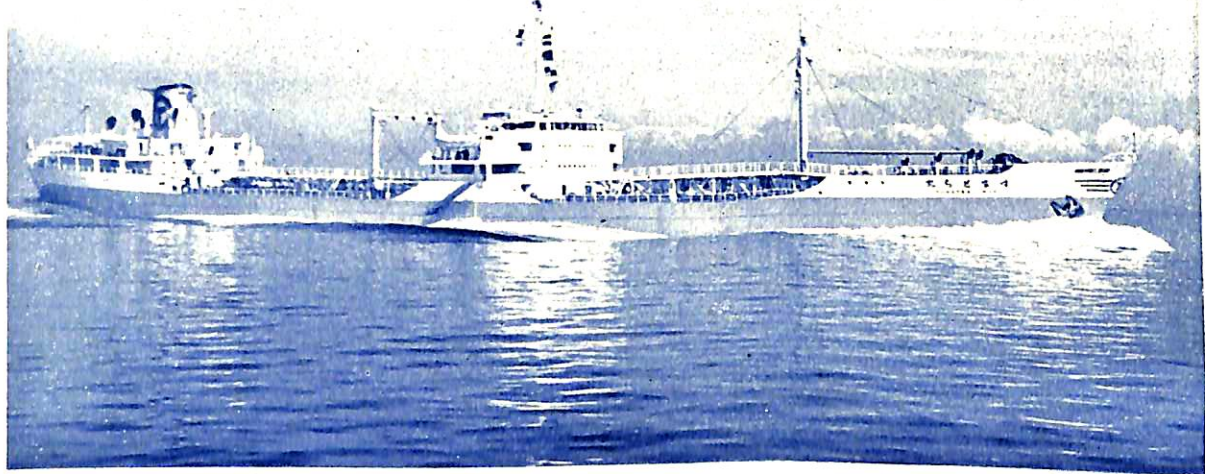
造船所 三菱造船・長崎造船所

長 (垂)	167.00m	主	機	蒸気タービン×1
幅 (型)	22.30m	出	力	8,500 S.H.P.
深 (型)	12.30m	船	級	AB, NK,
総噸数	13,600t	起	工	28-10-5
載貨重量	20,000t	進	水	29-5-5
速 力	15.75節	竣	工	29-8-10

研野博士  
T.S.トーションメーター  
回転計及積算計  
株式倉本計器精工所

本工場 東京都大田区原町六  
電話 湘田(73)2033, 2621 在厚(78)1490  
柏工場 千葉県柏町柏 電話 柏 2





すまとら丸（油槽船）

船 主 日本油槽船株式会社  
造 船 所 日立造船・因島工場

長 (垂)	167.00.n	主 機	蒸気タービン×1
幅 (型)	22.00.n	出 力	9,200 S.H.P.
深 (型)	12.00m	船 級	AB, NK,
吃 水	9.45m	起 工	28—10—5
總 噸 数	12,900噸	進 水	29—5—16
載 貨 重 量	20,600噸	竣 工	29—8—14
速 力 (試運転最大)	16.827節		



- ・ ピニレックス (塗化ビニール樹脂塗料)
- ・ C·Rマリーンペイント (ノン・チヨーキング型 合成樹脂塗料)
- ・ 桜印船舶用調合ペイント (船舶用特殊塗料)
- ・ 桜印無水銀鉄船々底塗料 (鉄船々底塗料)
- ・ ノン・スリップ (滑止塗料)

カタログの御申込みは 大阪市大正区浦江北 4  
東京都品川区南品川 4

◎ 日本ペイント



サウエガ号（巡礼兼貨物船）

船 主 インドネシヤン・ナビゲーション会社

造 船 所 日立造船・因島工場

長 (垂)	122.00m	主 機	日立B&Wディーゼル機関
幅 (型)	17.40m	出 力	4,600 B.H.P.
深 (型)	10.80m	船 級	A B
総 噸 数	6,800噸	起 工	29-2-4
載 貨 重 量	8,000噸	進 水	29-4-22
速 力 (試運転最大)	17節	竣 工	29-7-30

## 電気防蝕法 CATHODIC PROTECTION

従来のカンバーランド法（保護金属法）から発達し最も洗練された防蝕法です。優秀な保護 Mg 陽極、諸材料、豊富な経験と技術にて外國に劣らぬ実績を挙げております。

### 施工船舶例

光 葉 丸	油	槽
べるしや丸	同	上
すまとら丸	同	上
明 泰 丸	同	上
おりんひあ丸	ディープタンク	
清 光 丸	海水ポンプ	
照 国 丸	同	上

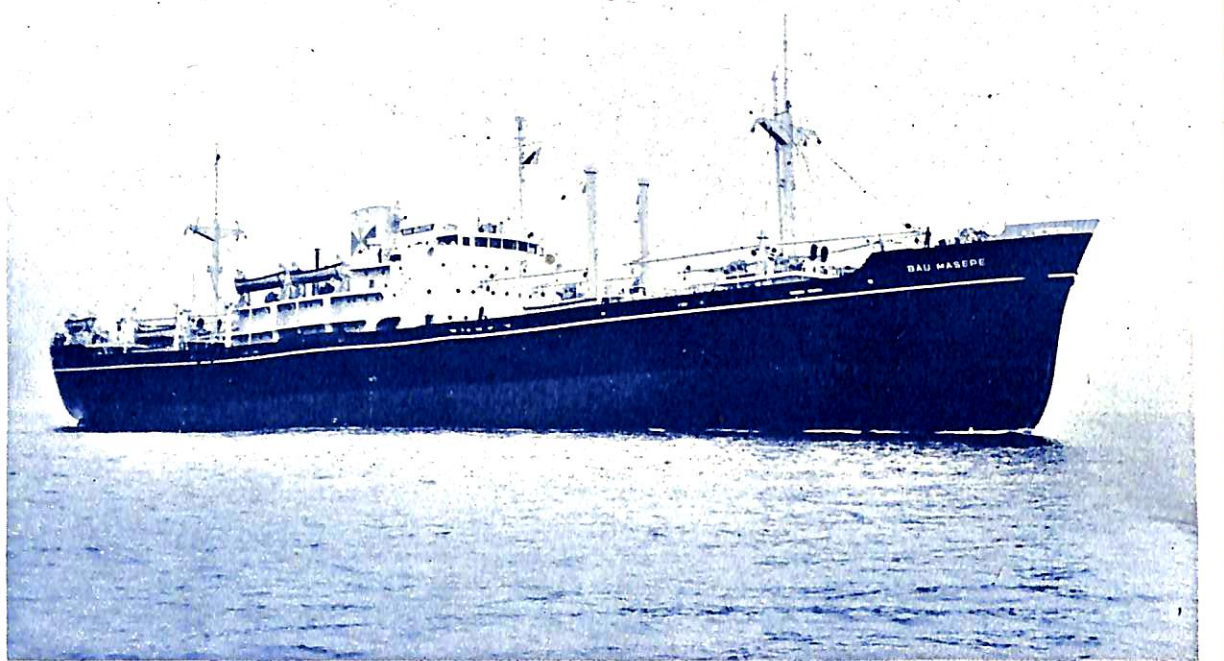


日本防蝕工業株式会社

調査  
設計  
施工

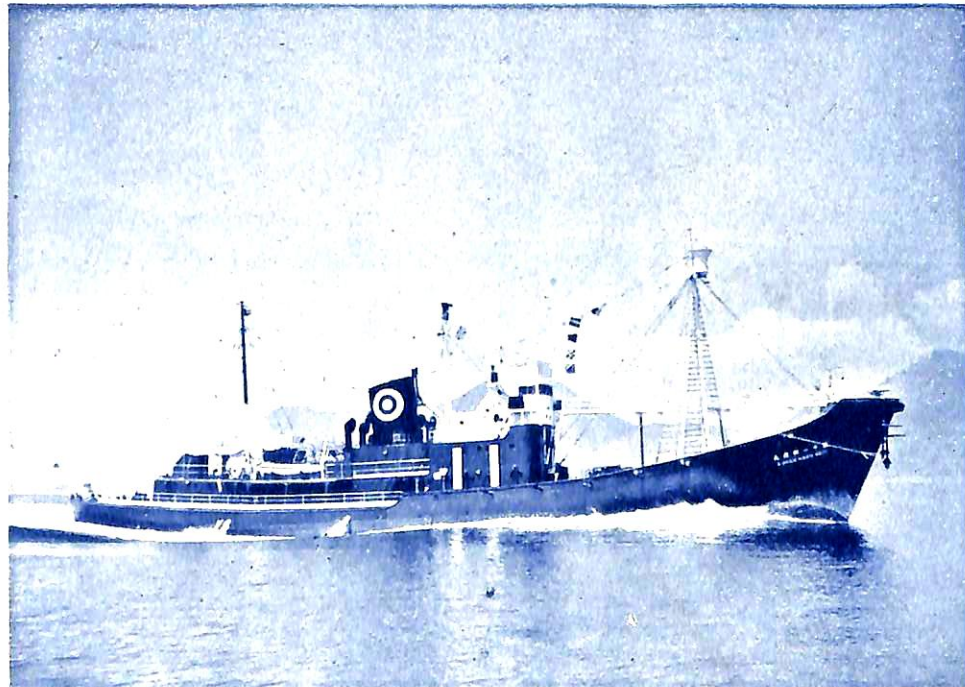
東京都千代田区神田司町一丁目二番地 (25)5279-3239

保護金属用  
マクネシウム陽極  
各種販売



バウマセップ号（巡礼兼貨物船）

船主 インドネシヤン・ナビゲーション会社 日立造船・櫻島工場建造 竣工 29- 7-30  
主要要目は姉妹船“サウエガ号”と同じである。



船主 日本水産  
造船所 日立・向島

長(垂)57m 幅(型)9.70m  
深(型)5.10m 総噸数 700噸  
速力17.904節 日立B&Wヂ  
ーゼル機関×1 3,280B.H.P.  
起 工 28-12-15  
進 水 29- 6-19  
竣 工 29- 8-18

第十一興南丸（大型高速捕鯨船）

世界の海運界に先駆!!

# 新銳機 七洋へ

10~15時間連続淨油  
自動乾清掃装置附

特許 毛細管式  
ノーカーボン運航

パンカ-重油潤滑油用

清淨と燃燒性狀改善



# コロイダル淨油機

清淨度三クロソ→ミリミクロソ

olloidal

日之出コロイダル機器株式会社

大阪市福島区上福島南三丁目一四二(堂島大橋北詰莫大小会館)  
電話 福島 (45) 直通 7504・730~732・3341・3512 番

DE LAVAL

Aktiebolaget Separator  
Stockholm, Sweden

燃料油清淨機

ディーゼル油用

パンカ-油用

潤滑油清淨機

ディーゼル

タービン油用

其他 各種遠心分離機

瑞典セパレーター会社日本總代理店

長瀬産業株式會社機械部

大阪市西区立賣堀南通1丁目1番地

電話 新町(53) 40-41・950-956

東京都中央区日本橋小舟町2の3の12

電話茅場町 970

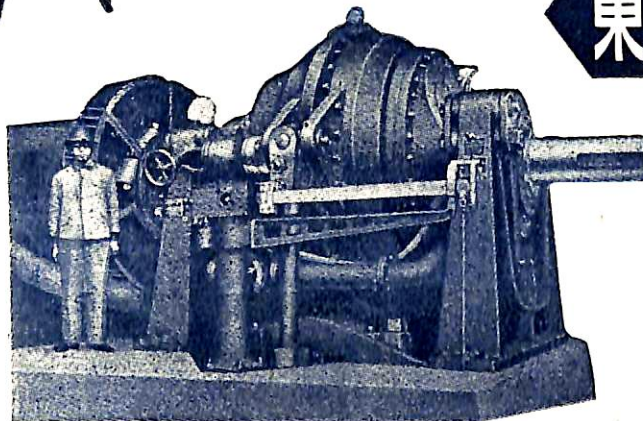
京都機械株式會社分離機工場

京都市下京区吉祥院船戸町50

東京支店

設備工場

時代に先駆する



## 東京衡機の試験機

1. 試験機一般
- A. 金属材料試験機
- B. 東京衡機フルード式  
馬力測定機
2. 衡器一般
3. 電機一般
4. 電気式計

### 株式会社 東京衡機製造所



営業所所在地 東京都品川区北品川4-516電話大崎(49)1883~5

出張所 大阪市南区八幡町6 電話 南(75) 6140

福岡市雁林町10 電話 西(2) 0418

本社 東京都中央区日本橋江戸橋1-13電話(27)2178~9

ABC

◇ 東京機械株式会社製品  
浦賀電動油圧舵取装置(型各種)

中村式浦賀操舵テレモーター

揚錨機、揚貨機、繫船機

各汽動及電動

◇ 北辰式安式二号転輪羅針儀

北辰式单復式自動操舵装置

同コースレコーダー同ログ

◇ 小野鉄工製品サイン

カーブキャーポンプ

(各種)

ウェヤース、ウォシ

ントン型

◇ 能美式 煙管式火災報知機  
同 自動火災報知装置

炭酸瓦斯消火装置

◇ 御法川式 マリンストーカー  
同 オイルバーナー  
(ホワイトタイプ)

◇ 岡野バルブ製品 船用バルブ  
(高圧、高温)

ピクトリックチヨイント

◇ 温研式 デシケーター  
(船艤内乾燥装置)

機械部

東京都中央区日本橋小舟町二丁目一番地

電話茅場町(66) 0181(代) 7531(代)

大阪・名古屋・門司・仙台・札幌・横浜・神戸・高松・広島・熊本・長崎・釧路

浅野物産  
株式会社

# 三機の船舶用機材

## 厨房設備

(ギヤレ・グリル・ペーカリー・バー)  
(喫茶・食品加工設備一式)

## 冷藏設備

客船・貨物船・捕鯨船等何れにも適する様  
設計製作施工いたします

## 洗濯設備



伝統を誇る  
電縫鋼管

瓦斯予熱管  
空気ボイラーチューブ  
ラジエーターチューブ  
其他艦船用鋼管

# 三機工業

本社 東京都千代田区有楽町（三信ビル）

電話 東京59局 (59) 代表5251~(10) 代表5261~(10) 代表5351~(10)

社長 山田 熊男

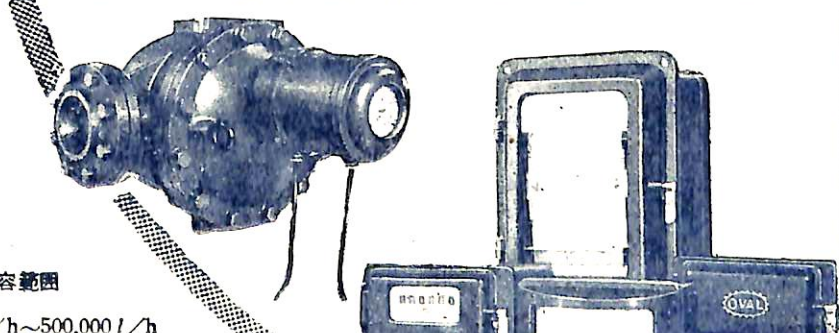
支店 大阪・名古屋・福岡・札幌・廣島  
工場 川崎・鶴見・中津

# OVAL オーバル流量計

流体の粘度・温度・圧力に關係なく器差0.5%以内の正確計量可能

### 種類

直読積算型  
電気式遠隔積算型  
瞬時流量指示型  
指示記録積算型



御申込に依り  
弊社発行の  
オーバルニュ  
ース御送付致  
します

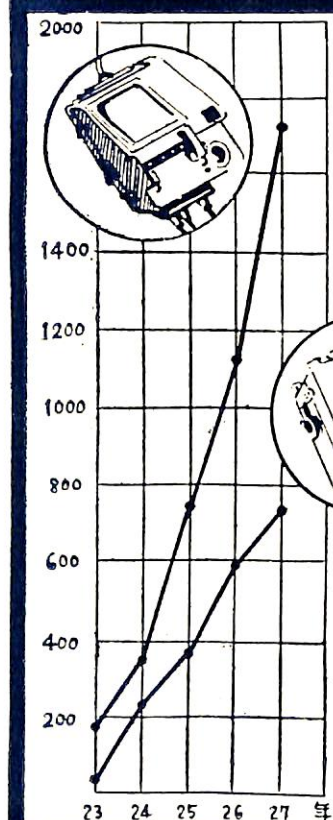
### 製作許容範囲

流量 0.5 l/h ~ 500,000 l/h  
温度 -50°C ~ +350°C  
圧力 500 kg/cm²迄  
粘度 500 POISE迄



# オーバル機器工業株式会社

東京都新宿区上落合2~638 電話落合 09 代表 5491~5



音響測深機

魚群探知機

方位測定機

超短波無線電話機

風向風速計

電氣水溫計

海上電機株式會社

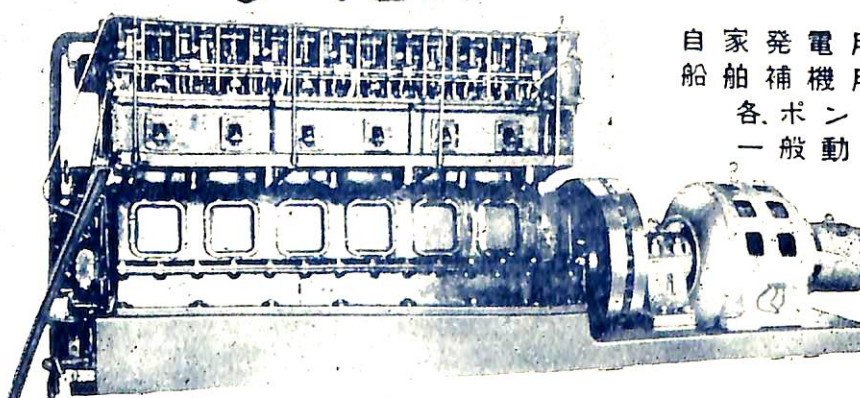
本社・東京 神田橋

(TEL 東京二九局 8181~5)



東洋1を誇る…設備・生産・性能

クボタディーゼル



自家発電用  
船舶補機用  
各ポンプ用  
一般動力用



久保田鉄工株式會社

営業所 大阪・東京・福岡・札幌・室蘭

耐圧性が強い

耐化学薬品性が強い

耐圧性が強い

ネオプレンの特性を應用すれば優秀な  
BUTTERFLY VALVE が出来ます

Courtesy:  
Keystone Tool Corp.  
P. O. Box 6716  
Houston 5, Texas

適當に配合された  
ネオプレンは下記  
の總てに耐抗性と  
なります

空気ガスの拡散性	彎曲	油類溶剤 大瓶の化学薬品	磨耗 切り歯むしれ抵抗
低温による 強直	太陽光線及 気候	熱	酸化

この新奇な Keystone butterfly valve は  
設計が簡単で低い限力又は真空に對し完全に  
遮断します。弁の完全な閉鎖作用をする秘訣  
は特殊装置の金環の内側に確かりと保持された  
強性ネオプレン座に因るもので、取附金具のフランジの面でこの金環を夾みボルトで  
締め付けられるようになつて居り、ネオプレン  
の内貼りを害ふことなくして内部検査或は  
修理をするとき弁を容易に解体し得る。  
弁が閉められた時はバクフライ圓盤に對して  
ネオプレン座は積極的に押壓して磨損分子  
(砂の如き)に因る傷跡をつけません。若し  
固体形の微塊が封座と圓盤の間に挟まつた  
ときはその部分の座が凹込んで閉鎖をつゞけ  
ます。これはネオプレンの壓縮性の少ないこ  
とがこの大切な機能を全うするに必要な強性を  
与えますからです。ネオプレンが耐油、耐  
化学薬品性である故この弁は多方面に使はれ  
ます。且又強力で耐磨耗性であることが弁の  
長寿命を保証します。ネオプレンの内貼りの  
處に研磨性の汚泥がつく場合でも亦然り、上  
記はデュポンネオプレンの性能につき、その  
働きと効率に對し感謝すべき設計の一例であ  
ります。

**DU PONT**  
REG. U. S. PAT. OFF

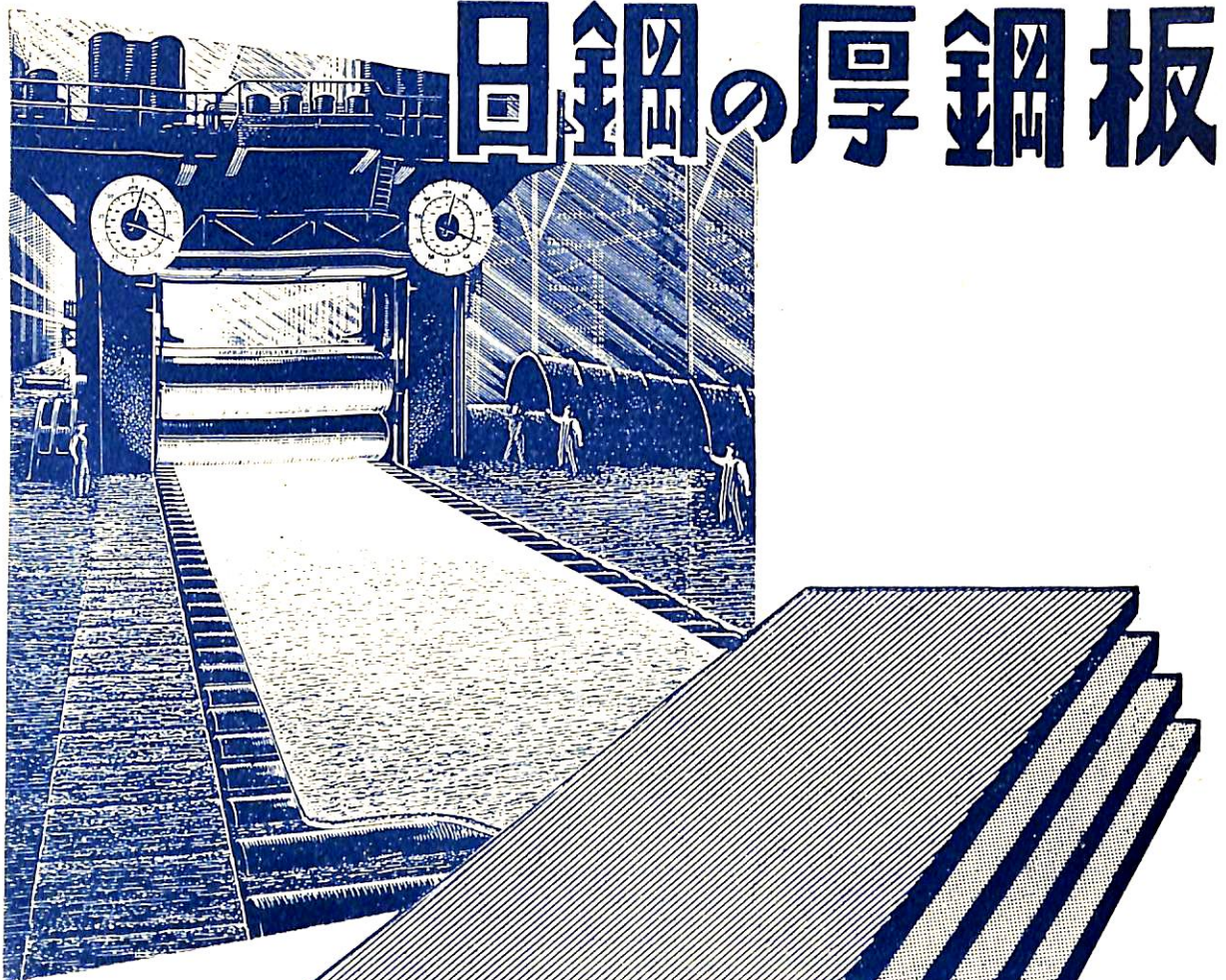
化学を通じ...より良き生活のため、より良き製品を

**NEOPRENE**  
The rubber made by Du Pont since 1932

贈呈！ THE NEOPRENE NOTEBOOK

ネオプレンの新しい利用方法及び新製品の紹介記事を満載した小冊御希望の方は知りたい事項を詳しく書いて下記に御申込み下さい。

デュポン日本總代理店  
アメリカン・トレイディング・カンパニー  
(ジャパン) リミテッド  
東京都港區芝公園7の1 SKFビル 電話(43) 5141~7  
大阪市南區安堂寺橋2の47 電話(25) 6593~5



# 日鋼の厚钢板

キルド鋼板・セミキルド鋼板・リムド鋼板  
巾・7呎～15呎 (2.5米～4.5米)  
厚さ・12耗～200耗 ( $\frac{1}{2}$ 吋～8吋)  
長さ・30呎～60呎 (9米～18米)

厚み12耗以下6耗まで如何ような寸法にても御求めに応じます。

 日本製鋼所

東京都中央区京橋1の5・大正海上ビル  
支社 大阪市北区堂島中1の18  
営業所 福岡市天神町・札幌市南一条

# スランミング(船首底衝撃)と船の運動

秋田好雄  
運輸技術研究所  
越智和夫  
運輸技術研究所

船が大洋の波浪中を航走するとき、船首底部に烈しい衝撃をうける現象をスランミングというが、このような烈しい衝撃を避けるためには自然速力の低下をはからねばならなくなる。従つて大洋を航走するときの船の速力は、馬力で決まるのでなく、船がどの位の速力まで烈しい波浪中の運動に耐えられるかで決まつてくるといつても過言ではないであろう。

スランミングは殊に比較的吃水が淺く、後部機関のようにトリムしているものに多くあらわれ、また海洋によつては決まつた長さの船に多く損傷が生じていることから考えても、波と船の兩者の間にある關係が成立するときが危険であることが推察せられる。

わが國でも、昭和の初期にディーゼル船が始めて太平洋航路に採用せられた頃に、スランミングによる船體の損傷が甚だ多く、このため内燃機調査委員會が設けられて詳しい報告書が提出されている。多少わき道になるが報告書に記載せられている多くの實例のなかから船の運動に關係があると思われる部分を抜き出してみると、

- 損傷船の長さは最大 137.5M、最小 121.9M である。
- 損傷船 32 隻のうち、24 隻はディーゼル船にして 8 隻はターピン船である。
- 損傷船のうち近海航路就航のもの僅かに 2 隻にして、他はすべて太平洋航路就航船である。
- 損傷船 32 隻の損傷延回数 82 回にして、冬季において殊に甚だしい。

5. 損傷発生當時の天候は風力 5~10 の荒天にして、速力は風力 5~6 のとき通常速力の 80~70%，風力 9~10 のときは通常速力の 50~23% 低減する。

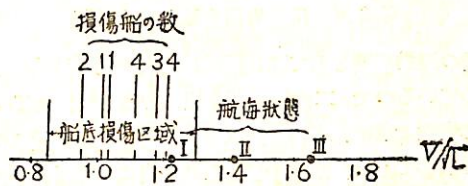
6. 損傷発生時の吃水は稀に満載吃水に近い場合もあつたが、一般には軽吃水の場合、多くは以下の載貨状態が多い。

7. 船首底部損傷の有無はその船と遭遇する波との相互關係に起因するところ大である。太平洋航路の船については、大體長さ 120~140M のものに多く、従つて就航航路が損傷原因の有力な一因子となると思われる。

8. 貨物船においては損傷を起す原因を速力の増大による説も大體認められるが、太平洋航路に就航の長さ 120~140M の損傷船舶中には試運轉速力 12K 内外に過ぎぬものもあつて、高速力のみが主要因子と認められ

ぬ點もある。

以上の事實から考えてみると、天候による原因はしばらく置くとしても、前述の通り船の速力とそれに伴う船の運動および遭遇する波との間に關係があつて、これが同調する點でスランミングが発生するに違いないことは明白のように思われる。



第1圖 Lehrmann 氏による船底損傷危険速度

他方、G. Lehrmann 氏が Germann Lloyd で集めたスランミングによる船體損傷の資料に基いて、大西洋における船底損傷危険速度區域は

$$F = V^K / \sqrt{L^M} = 0.85 \sim 1.3$$

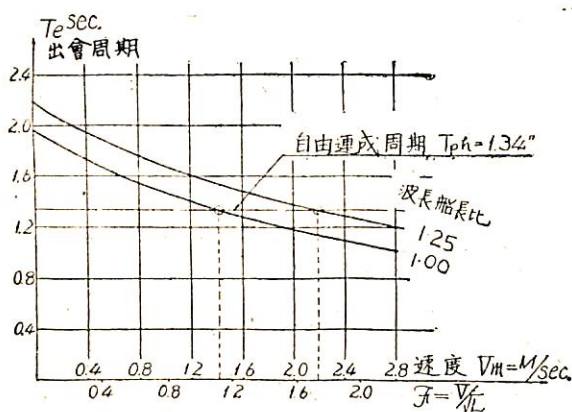
であると述べており、第1圖の如き興味ある實例をのべている。第1圖で航海狀態

- は悪天候のため船首底部の損傷大であつた。
- 機関を取り替えたため速力は前にくらべて 1.25 倍になつたが甚だしい損傷を起した。
- 上記の機関で船の前部の延長改造を行い、II) と同じ速力で航海したが損傷は起らなかつた。

このようなスランミングの問題について、著者等の手許で行つてゐる實驗のうち、特に船の運動とスランミングの発生に関する部分だけを以下に述べることにする。

實驗に使用した模型の船は、 $600 \times 80 \times 51\text{cm}$  真鍮製のもので、基本的な性質を求める意味で前後部對稱、船底平らな基本船型のもので、船體内部構造として縱強度部材はすべて出来る限り縮尺して採用してある。實驗には比較的輕吃水  $d = 20\text{cm}$  (満載吃水 34cm) を選び、波長は原則として船の長さにひとしく 600cm として、速度を種々かえて實驗を行つたものである。

まず波と船との出會周期と、船の運動周期についてのべる。波と船の出會周期  $T_e$  は、船の速度の増すにつれて次第に小さくなり、第2圖の如くなる。ここには波長船長比 1.00 と 1.25 の二つの場合を示してある。

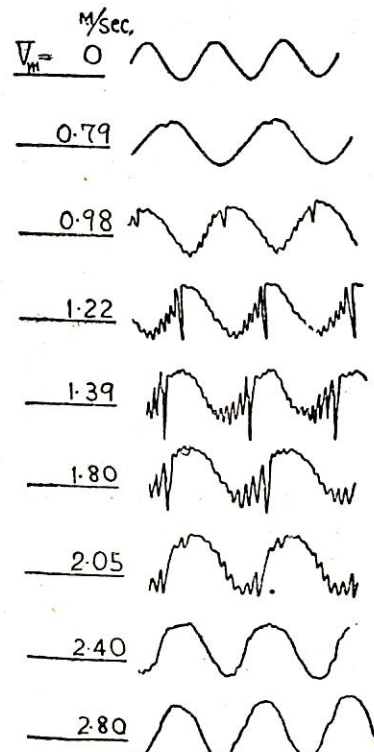


第2圖 出會周期曲線と連成周期

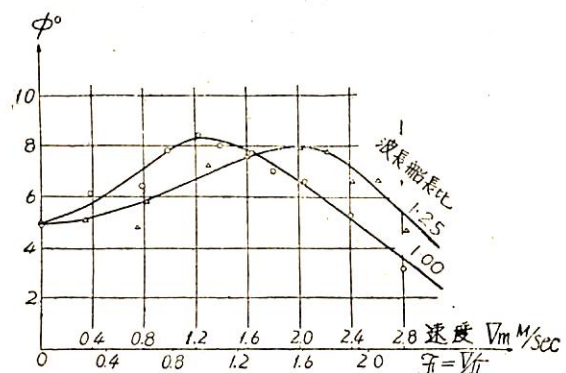
船の運動周期としては、縦揺れ、上下動の連成振動を行っているので、二つの周期は相ひとしくこれを  $T_{ph}$  として實験で求めたものを記入してある。 $T_{ph}$  を種々の速度で求めて、静水中で船をとめて自由に運動させたときの自由連成周期とほとんど變らないことが實験で分つてある。さて、この自由連成周期  $T_{ph}$  が  $T_e$  曲線を切るところ、すなわち波長船長比 1.00 で速度  $V_m = 1.4 \text{ M/sec}$  ( $F = V/\sqrt{L} = 1.1$ )、波長船長比 1.25 で速度  $2.18 \text{ M/sec}$  ( $F = 1.73$ ) が波と船の運動の同調點であつて、實験を行うとスランミングが丁度この速度で起つているのである。

スランミングが起つているかどうかの判別は、船底壓力、船體應力の波形に著るしい衝擊波形が見られることによつて分り、衝擊波の大きいほどスランミングの程度の烈しいことが分る。そして同調點で衝擊波の大きさが最大値を示すから、スランミングの中心と一致し、この事實からスランミングは波と船の出會周期と、船の自由連成周期が近付けば起り、離れば收まる現象であることが分る。すなわち、スランミングはある範囲の速度のみ起り、これより低速でも高速でも起らない現象である。實験例を示せば、第3圖は波長船長比 1.00 のとき種々の速度における甲板上の船體應力を示すもので、衝擊波形が速度  $V_m = 0.8 \text{ M/sec}$  ( $F = 0.64$ ) ~  $2.2 \text{ M/sec}$  ( $F = 1.65$ ) の間で見られ、 $V_m = 1.4 \text{ M/sec}$  ( $F = 1.1$ ) で最大になることが分るが、 $F = 1.1$  は第2圖で求めた同調速度である。上記のスランミングの基本性質を表度と一致しており、第4圖の通り、波長いづれについてもやはりしている。

スランミングを起す同調速度はこのようにして求められたが、この同調速度と船の運動状態との關係を求めてみよう。それには船の縦揺れ角を種々の速度で求めてみると第4圖の通り、二つの波長いづれについてもやは



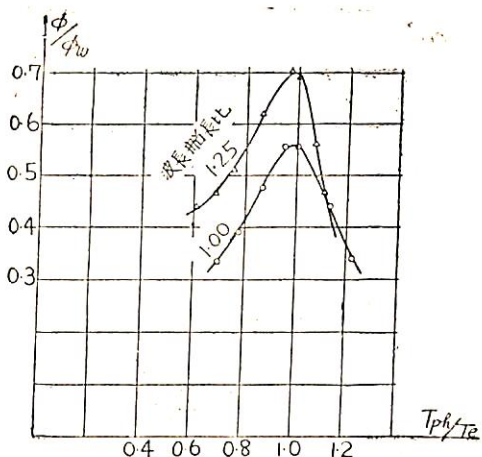
第3圖 船體應力に現われた衝擊波形



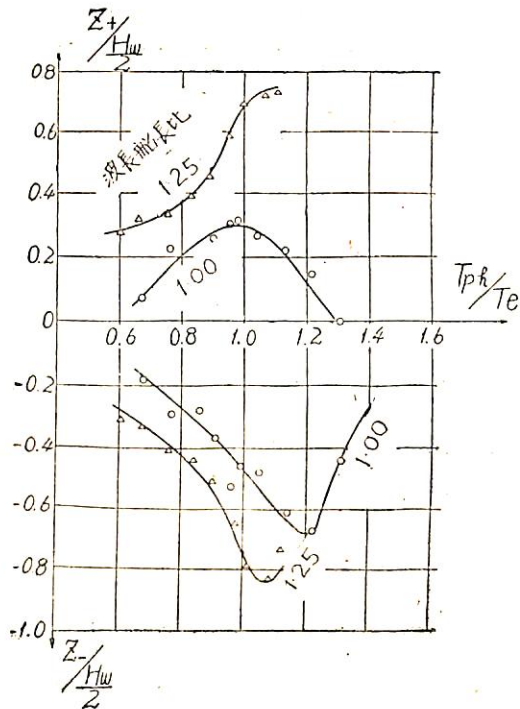
第4圖 縦 摆 角

りスランミングを起す速度範囲で縦揺れ角も大きく、その最大値は前述の同調速度（これをスランミング領域の中心と呼ぶが）とほぼ一致していることが分る。縦揺れ角とトロコイド波の最大傾斜角との比  $\phi/\phi_w$  を計算して、これを  $T_{ph}/T_e$  に對して求めると第5圖の通り、 $T_{ph}/T_e = 1$  のところで同調していることが分る。

これに反して上下動 Z を種々の速度で求め、同調しているかどうかを調べるために縦揆れの場合と同じく、上下動 Z と半波高の比を計算して  $T_{ph}/T_e$  に對し求めてみると、第6圖の通り、必ずしも  $T_{ph}/T_e = 1$  のとこ



第5圖 縦揺れ角の同調



第6圖 上下動の同調

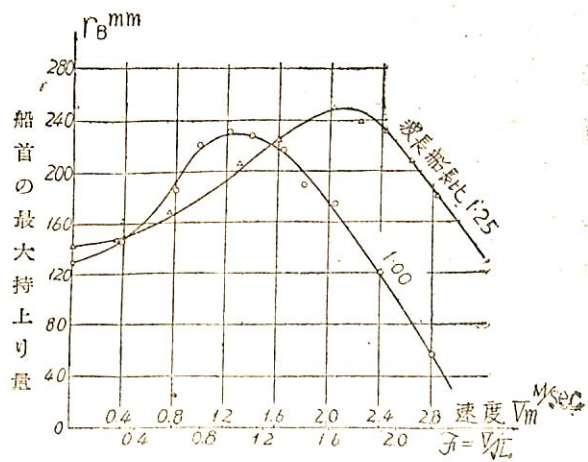
ろで同調していないことが分る。従つて縦揺れ角の大小はスランミングの発生と直接関係があるけれども、上下動の大小は関係ないことが分る。

スランミングの発生が縦揺れによるか上下動によるかという問題は、今までしばしば論議されて來たことで、例えは Lehrmann, Kempf, Hansen の諸氏は縦揺れであるというに反し、Kent 氏は縦揺れの周期、角度の大きさとともにスランミングの発生と関係なく、上下動の大小は極めて重要な因子であると述べている。渡邊教授の理論的研究によれば、スランミングは縦揺れでも上下

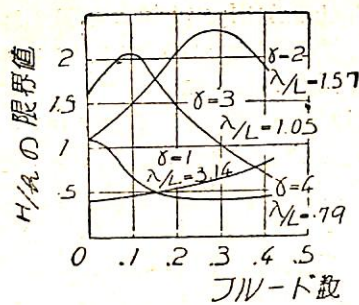
動でも起るが、上下動だけでは船體に損傷をあたえるほど大きな衝撃圧力を與えないから、スランミングによる損傷は縦揺れによつて引き起されると結論されている。最近 Szebehely 氏の實驗によれば、スランミングは船首部加速度の急激な変化によつて生じ、従つて縦揺れ、上下動ともに關係ありと論じている。著者等の實驗結果では、スランミングの発生は、速成周期と出會周期の同調といふ點から考えれば、縦揺れ、上下動ともに關係あるが、縦揺れが卓越しており、縦揺れ角の増加とともに起り減少とともに收まるが、上下動の大小には關係しないこと前述の通りである。なおスランミング発生の原因として、かような縦揺れ、上下動を含めた船と波との相對速度によると論ずるのに吉識教授、Szebehely 氏の説がある。

次に船首部の平均吃水面よりの最大持上り量を計算によつて求めてみる。船首部の最大持上り量とは、ある瞬間ににおける縦揺れによる船首の上りと、上下動による船首の上りの和の最大値で、縦揺れ、上下動兩曲線を用いて求められる。低速ではほぼ縦揺れ角が最大になつた瞬間が、船首部の持上り量も最大になるが、高速では上下動の量が大となるため必ずしも縦揺れ角が最大の瞬間とは限らない。船首部の持上り量もスランミングのきびしくなる速度附近で最大値を示すことは第7圖にみる通りである。

Szebehely 氏の研究によれば、スランミング発生の三要素として、1) 船首持上り (Bow emergence) 2) 船首部と波の相互運動の位相のずれ (Phase lag between bow motion and wave motion), 3) 相對速度の大きさ (Magnitude of the relative velocity) をあげているが、船首持上りとして第8圖のような興味ある圖が示



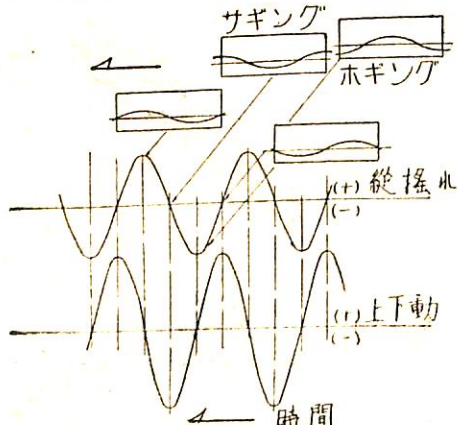
第7圖 船首の最大持上り量



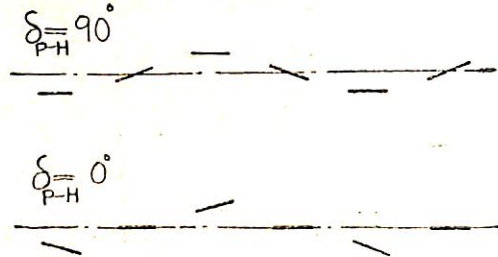
第8圖 Szebehely 氏による船首持上り量

されている。第8圖は吃水/波高の限界値をフルード數  $F = V/\sqrt{Lg}$  の函数として示すもので、いま長さ  $L = 400'$ 、吃水  $H = 25'$  の船が、波長  $\lambda = 630'$ 、波高  $h = 20'$  の波に速度  $20K$  で遭うとき、船首が水面から外に出るかどうかを求めてみると、このとき  $F = 0.3$  で波長パラメータ  $\pi L/\lambda = 2$  であるから本圖により  $H/h$  の限界値として 2.3 を得る。しかし實際には  $H/h = 1.25$  であるから、船首は外に出て從つてスランミングを起す可能性があることになる。そこで速度を  $7K$  におとし、( $F = 0.1$  となす) 吃水を増して  $30'$  より深くすれば、圖より  $H/h = 1.5$  となり、他方實際の  $H/h = 1.5$  であるから船首は水面から外に出ず、スランミングは起らぬと述べている。

縦揺れ、上下動の位相差、あるいは波と船の縦揺れ、上下動の位相差について、これとスランミングとの関係を求めてみる。それに先立つて、位相差と船の自由な運動との関係につき述べることにする。第9圖がその説明圖である。図で、縦揺れ、上下動の位相のずれを  $\delta_{P-H}$  とすれば、船は上下動が最大、最小値をとるとき縦揺れ角が  $0^\circ$  である。船がもつとも自由な状態で波形に隨伴して運ることは、船がもつとも自由な状態で波形に隨伴して運



第9圖 位相差説明圖

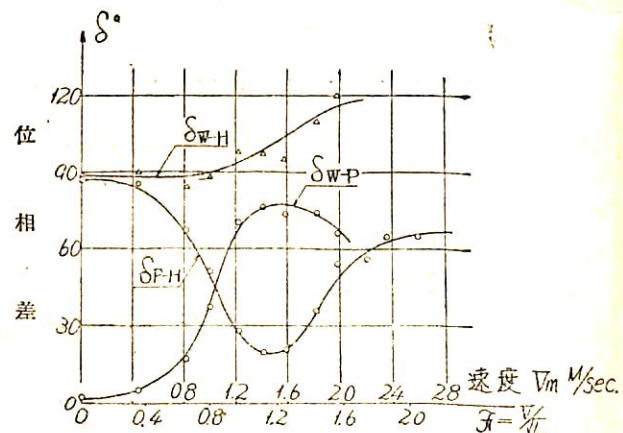


第10圖 隨伴運動と非隨伴運動

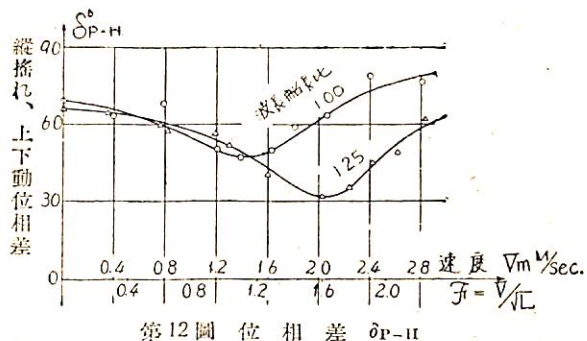
動していることを意味する。これを第10圖の縦揺れ、上下動兩曲線よりみれば、上下動が縦揺れより位相が  $90^\circ$  おくれていることを意味するから、 $\delta_{P-H} = 90^\circ$  で隨伴運動、 $90^\circ$  より離れるに従い非隨伴運動となり、 $\delta_{P-H} = 0^\circ$  で最も悪い状態で運動する非隨伴運動となる。これをもう少し分り易く圖示したのが第10圖である。スランミングのときに、船がこの二つのどちらに近い運動をしているかを實驗的に求めれば、位相差とスランミングの關係が求められる譯である。

同様な考え方で、波と船の縦揺れの場合には、ホギングおよびサギングのとき縦揺れ角  $\phi = 0^\circ$  であること、すなわち  $\delta_{W-P} = 0^\circ$  で隨伴運動、これより離れるに従い非隨伴運動となる。全く同様に波と船の上下動について  $\delta_{W-H} = 90^\circ$  で隨伴運動となる。

さて實際の場合について、いま波長船長比 1.00、波長波高比 40.0 のとき  $\delta_{P-H}$ 、 $\delta_{W-P}$ 、 $\delta_{W-H}$  を求めたものが第11圖である。この圖で見る通り 位相差  $\delta_{P-H}$ 、 $\delta_{W-P}$  は速度  $V_m = 0.8M/sec$  ( $F = 0.64$ ) 附近から、 $2.0M/sec$  ( $F = 1.6$ ) 附近まで、速度  $1.4M/sec$  ( $F = 1.1$ ) をほぼ中心として隨伴運動からはずれていることが分る。速度  $V_m = 0.8M/sec$  ( $F = 0.64$ ) より  $2.0M/sec$  ( $F = 1.6$ ) のこの領域は、船がスランミングを起しているのでこれを



第11圖 位相差  $\delta_{P-H}$ 、 $\delta_{W-P}$ 、 $\delta_{W-H}$



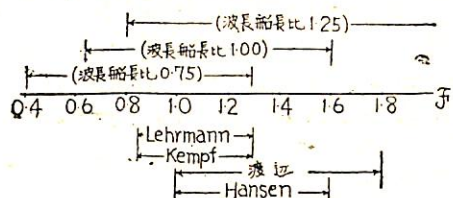
第12圖 位 相 差  $\delta P-H$

スランミング領域 (Slamming zone) と名付けることに対する。

他方  $\delta w_{-H}$  はこのような領域に關係せず次第に増加しており、この點から考えても上下動はスランミングと二次的の關係しかもたぬことが分る。位相差とスランミングとの關係はこのようにして求められたが、スランミング領域は波長、波高、吃水、船型などによつて、その範囲と中心位置が變つてくることは勿論である。たとえば波高を一定として波長船長比 1.00 と 1.25 の場合の  $r_{-H}$  は第 12 圖のようになる。

いま著者等の實驗範囲では、波長が船の長さにひとしきりときスランミング領域を  $F=0.64 \sim 1.6$  (中心位置 1.1) と求め得たが、前記の Lehrmann 氏が船底損傷危険速度領域として、大西洋の船舶については  $F=0.85 \sim 1.30$ 、Kempf 氏はスランミングは  $F=0.85 \sim 1.3$  で起といい、Hansen 氏は  $F=1.0 \sim 1.3$  で船底損傷は船首より  $L/10$  附近に起り、 $F=1.6$  では船首より  $2L/10$  附近に起ると

いつており、また渡邊教授の理論的研究によれば  $F=1.0 \sim 1.8$  (中心 1.4) で船底衝撃壓力の満載吃水に對する比が著しく大きくなることを述べておられるが、これらを綜合すると船のスランミングの起る速度領域が凡そ想像できるようである。上記のスランミング領域をまとめたものを第 13 圖に示して筆を描く。



第13圖 スランミング領域

#### 参考文献

- 1) G. Kempf; WRH (1926)
- 2) K.E. Hansen; Ship Build. Ship Record (1935)
- 3) G. Lehrmann; Schiffbau (1936)
- 4) J. L. Kent; N. E. Coast Inst. (1948 49)
- 5) 渡邊惠弘; 船首底衝撃の機構について, 造船協会論文集 (93號)
- 6) 吉識・山本・藤田; 船首船底に關する模型實驗, 造船協会講演會 (昭和29年)
- 7) 秋田・越智; 模型船による波浪中航走時の船體強度に關する研究 (第1報), 造船協会講演會 (昭29年)
- 8) V. G. Szebeley; 第7回國際流體力學會議前刷 (1954)

Suboid<sup>®</sup> ズボイド  
(亞酸化鉛粉基調)

名実共に世界の水準を抜く  
革命的防錆塗料

大日本塗料株式会社

本社 大阪市此花区西野下之町 38 番地  
支店 東京都中央区八重洲 3 丁目 5 の 1  
(横町ビル)

# 大洋波の特性と船の運動

元 良 誠 三  
東 京 大 學

## 1. 大洋波の生成

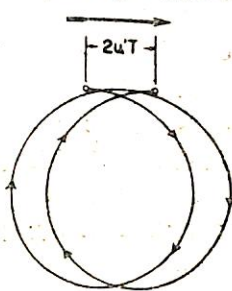
### 1) 波の發達の過程

大洋波は當然風によつて生成されるわけであるが、どのようにして風からエネルギーを受取るかといふと、それには二つの過程を考えられ、一つは法線力といふか波面に垂直な力で、波面の凹凸と風との相対運動による抵抗力とも考えられる。この風壓抵抗によつて波は進行方向に押さるために風からエネルギーを供給される。従つて風より速い波、即ち相対速度が大きいほどエネルギーが與えられる割合が大きく、段々波速が増して來ると割合は減じ、風速と波速とが等しくなると、エネルギーはもはや風から波へ與えられない。

このように波の速度と風速の比は波の發達の程度を示す一つの目安となり、これを波齢といふ、そしてこの波齢と波の粗しさ（波高と波長の比=屈度）との間には一義的な関係があることが Sverdrup および Munk [1] によつて指摘され、彼らの波浪予報整理論の基礎となつてゐる。この関係を第1圖に示す。

第1圖よりわかるように發生したての若い波は粗しく、發達するにつれてなだらかになつて來る。

前述の如く、波速と風速が等しくなると、波はもは



第1圖

や法線力によつてエネルギーを供給されず、波速が風速を超えると逆に波から風へエネルギーを與えることになる。にもかかわらず實際は風速より速い波が往々観測されるのであつて、その説明のためにも一つの切線力によるエネルギーの傳達といふことを考えなければならない。

切線力は波面に平行に働く一種の摩擦力であるが、もし波の粒子の圓運動が、正法波またはトロコイド波のように一回轉して完全に之の位置に戻ると考えると、切線力の爲す仕事は差引き 0 となつて、風からエネルギーは與えられない。所が有限波高のストークス波では波頂と波底で圓運動の速度が異なるために、一周後に波の粒子は完全には元に戻らず、少し波の進む方向にずれる（第2圖）。即ち實質の輸送が行はれるわけである。このような場合には風の爲す仕事は 0 とならず、波にエネルギーが與えられ、しかも波速に關係なく與えられるから、風速よりも速い波が發達し得るのである。

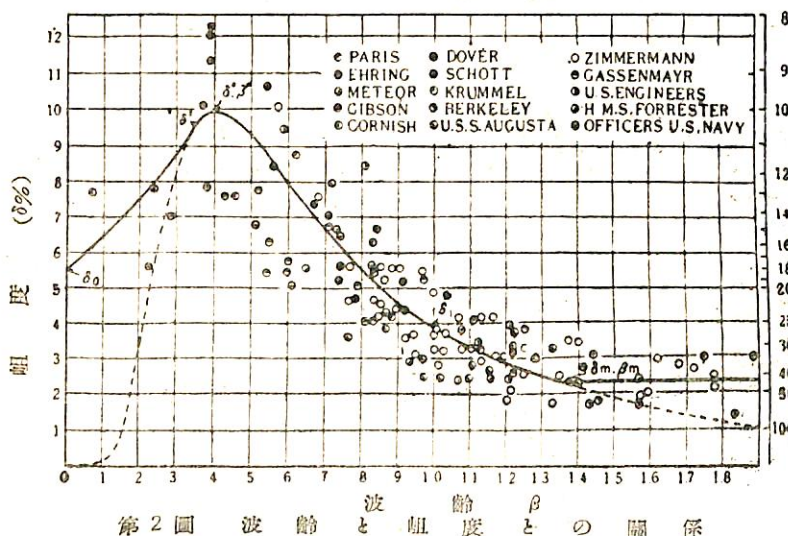
### 2) 風速と波の大いさの關係

上に述べたようにして、波は風からエネルギーを得て波長および波高をしつつ生長して行くわけであるが、その發達の度合は風速とその繼續時間によつて變る。即ち同じ風速でも時間が経つと波長および波高が増大するが粗しさは減つて來、同一時間経つた後では風速の大きな時ほど大きな波が出來る。

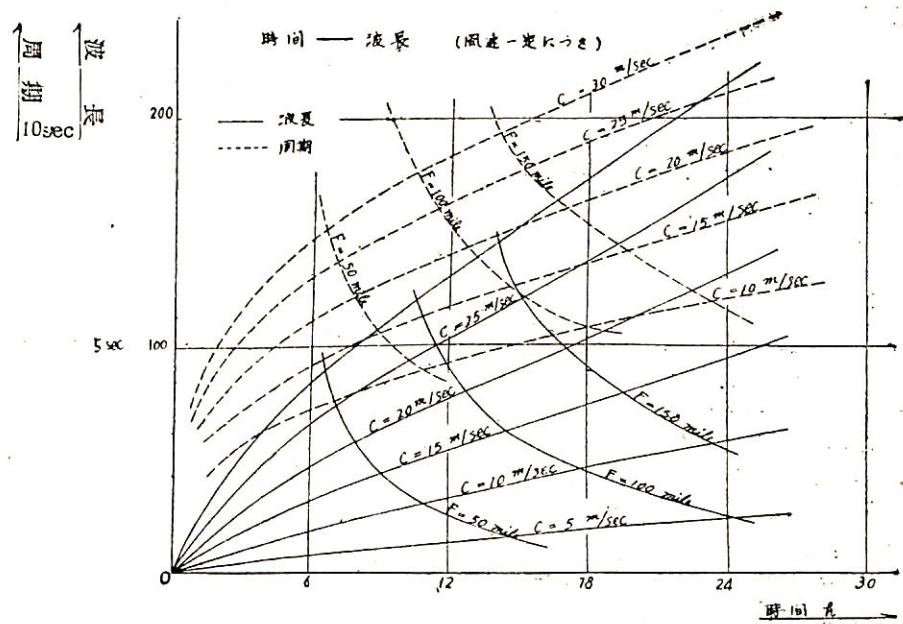
今無限に廣い海域に風が吹いたとすると風速およびその吹送時間と、出來る波との關係は [1] によれば第3圖

および第4圖に示す如くなる。

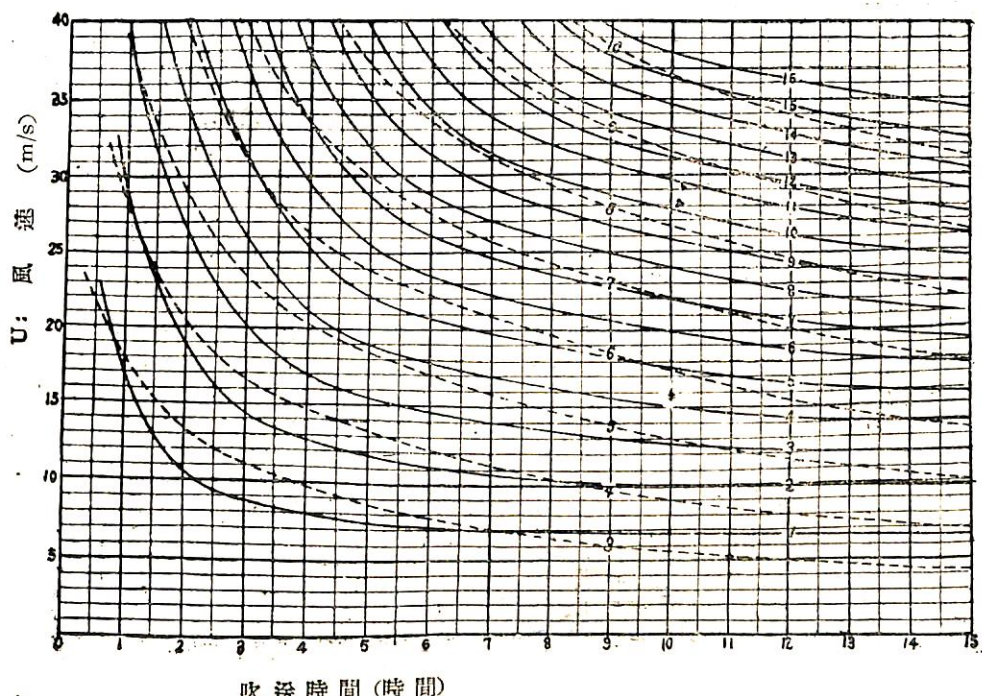
ここに示してある波高は、不規則な大洋波の平均の値を示すため最も妥當と思われる有義波高（Significant wave height）が採つてある。有義波高といふのはある時間観測した波高の高い方から何の數の平均を取つたもので、このような平均を取ることは、観測の時間の長さに割合無關係に一定値となること、および實際大洋波の波高は概して高い波に着目して観測し勝ちなることを考えると便利である。普通の算術平均と比べると約 1.56 倍となることが知られ



第2圖 波齢と屈度との關係



第 3 圖



第 4 圖 風波の発達、吹送時間および風速と波高および周期との関係  
(吹送時間が短い場合) —— 波高 (m), ..... 周期 (秒)

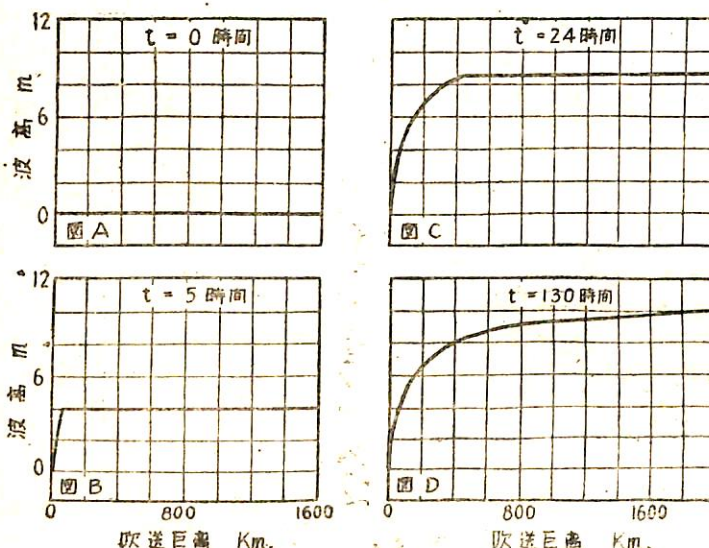
ている。

以上の結果は無限に廣い海面を風が吹いた場合であるが、有限な海面を風が吹く場合、または廣い海面のある限られた範囲を風が吹く場合には風上側の陸地から考えている地點までの距離、または風の吹き初めている地點より考えている地點までの距離（これを吹送距離といふ）によつて波の發達に限度がある、すなわち波は時間が経つにつれて無限に發達するわけではなくある時間経つとそれ以上には發達しない、いわゆる飽和の状態に達し、吹送距離が小さいほど早くその限度に達する。例えば小さな湖では幾ら強い風が長時間吹いても波はある程度以上大きくならないわけでしかも湖の長手の方向に風が吹く時の方が起る波は大きい。

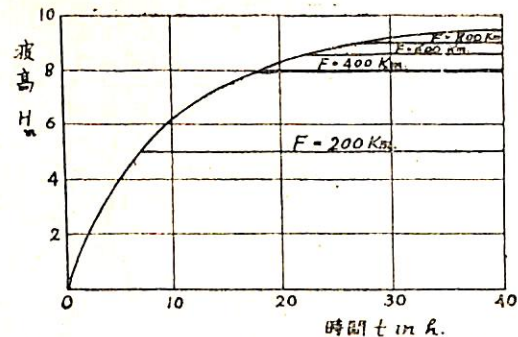
この関係を第5圖に示してある。

今  $20 \text{m/sec}$  の定常風が吹き始めたとすると時間0では全域に亘つて波高は0である。5時間経つと約50Kmの所までは發達の限度に達しそれより遠くでは波高一定でなお發達を續けつつある。24時間経つと、430Kmの地點まで飽和に達し、130時間経つと2,000Kmの全域に亘つて波の發達は止る。なおこの飽和に達する地點は波の群速度でもつて風下側に移動して行く。

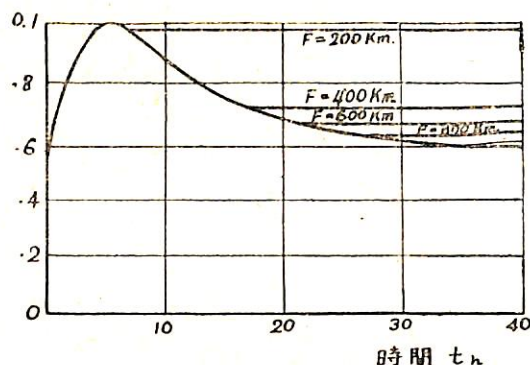
一方地點に着目すると第6圖の如く波高は時間とともに急激に増加して行くが、吹送距離の小さな地點ほど早く飽和に達して波高一定となる。また畠度は第7圖の如く時間とともに變化するが、發達初期の波ほど畠度が大きいから風の吹き初めに近い地點または風上側の陸地に近い所ほど畠度の高い波が存在するし、風下になるに従つて波はなだらかになる。



第5圖 吹送距離および吹送時間と波高の関係



第6圖 波高 H の時間的變化



第7圖 畠度  $\delta = H/L$  の時間的變化

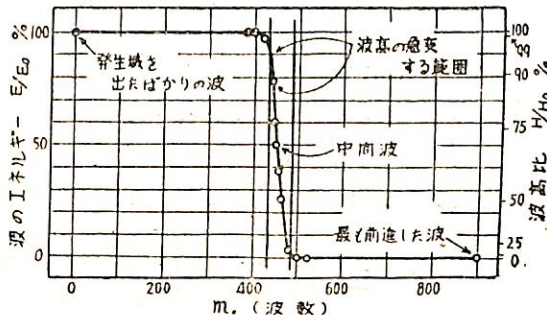
これらの圖表の利用の一例として次のような問題を考えてみよう。今航程12時間の航路に就航する船があるとする。この船が避難港より最も遠い地點すなわち兩港の中間に來た時突然  $15 \text{m/sec}$  の風が航路に直角に吹き始めたとする。船はどちらの避難港に逃げるにしても約6時間の間横波を受けつつ走らなければならない。そして約6時間後には第3圖、第4圖からわかるように波は波長  $32 \text{m}$  週期  $4.5 \text{sec}$  波高  $3 \text{m}$  に發達する。従つてもし船の固有週期が  $4.5 \text{sec}$  以下であれば同調横搖れを生ずる可能性が出て危険であるが船の固有週期が  $4.5 \text{sec}$  より長ければ同調するような波が發生する前に避難港に逃げ込むことが出来るわけである。

### 3) 波の減衰

強風が吹き、波が發達しつつある海域を發生域といい、風よりエネルギーを與えられて發達しつつある波を風波といふ。風波が發生域を離れて無風の海域に進入すると波は空氣抵抗によつてエネルギーを失つて、波高が減じ、波長は長く

なる。このように減衰しつつある波をうねりといい、無風の海域を静穏域という。

発生域を出た波はそのまま一様に波高を減ずるのでなく、静穏域に出た波の前から約半数は極めて波高が低く、中間のごく僅かの間で急激に波高を増し、それから後は殆んど同じ波高となる。そしてこの波高の急激に變化する點は個々の波の速度の半分、すなわち群速度で進行する。この關係を第8図に示してある。



第8図 静穏域に傳わる波のエネルギー分布  
M=900

今例を擧げて説明すると、発生域を離れる時 10m の波高を持つている波群を 400 Km 離れた所で観測すると、45時間で最初の波が到達するが波高は 27 cm 位であつて約 45 時間續き、初めより 90 時間後にエネルギー前線が到達して僅々 2 時間半位の間に波高は 27cm から 2.7m に變化し以後は同じ波高の波が續く。

ある地點のうねりの波長すなわち周期と波高は、発生域からの距離、最初の波高、周期に關連し、ある地點のうねりの周期と波高を観測することによつて発生域の暴風の規模を知ることも可能である。

## 2. 大洋波の不規則性

以上は有義波といふ一つの平均値に対する結果であつて、有義波高が例えれば 5m とすると最も高い波は 9.35m 位のものが存在する可能性があり、算術平均は 3.2m 程度である。このように平均の波高を問題とする時はよいが、船の安全とか飛行艇の着水といふような場合には最高の波が問題となるわけであり、また船の動搖を考える場合には波の不規則性が問題となる。Sverdrup-Munk の豫報理論ではこの點に關しては何も言及していない。

この問題を主として取扱つたのは Longuet-Higgins (2) であり、また New York 大學の Pierson その他による文献 (3) には平易な例を擧げつつこの問題が述べてある。

今この中から二、三の重要な結果を述べて見よう。波高の連續記録を取り、その時間軸をある任意の間隔に等

分しその位置の波高を次々に読み取つてこれを  $h$  とする。 $h$  の算術平均を取つて  $\bar{h}$  としそれぞれの  $h$  より引きその差の二乗平均を取つて  $E$  とする。すなわち

$$\frac{(h - \bar{h})^2}{h} = E$$

このようにして求めた  $E$  は波の平均エネルギーの如きものを表わすが、これと波高の觀測値および統計理論より得られた不規則性との間には次のような關係があることが Longuet-Higgins により明らかにされた。

### 1) 波高分布

普通の海洋波(風波)では一定時間ある地點で觀測した時の波高の分布は波速に無関係に大體似た形となる。これを表にして示すと第1表の如くなる。これは觀測された波高の總數を 10% 宛區切つた時の波高の範囲を示したものである。

第 1 表

波高	0.00	~0.64 √E	ft の波高の波	10%
	0.64 √E	~0.94 √E	" "	"
	0.94 √E	~1.20 √E	" "	"
	1.20 √E	~1.42 √E	" "	"
	1.42 √E	~1.66 √E	" "	"
	1.66 √E	~1.92 √E	" "	"
	1.92 √E	~2.20 √E	" "	"
	2.20 √E	~2.54 √E	" "	"
	2.54 √E	~3.04 √E	" "	"
	3.04 √E	以上	" "	"

### 2) 各種の平均値の比較

第 2 表

最も頻繁に来る波の波高	1.414 √E ft
波高の算術平均	1.77 √E ft
書義波高 (高い方から 1/3 の波の平均)	2.83 √E ft
高い方から 1/10 の波の平均	3.60 √E ft

これより有義波高が判れば大體波の様子が判るわけである。

### 3) 最大の波

幾つかの波が通過するとその中には必ず平均を超えて大きな波が存在するが、その大きな波の來る可能性は通過した波の數によつて變る。すなわちこの異常に大きな波は種々の波長波高を持つた波が合成されて出來たものであるが、多くの波數を取る程その組合せが偶然波高を大きくするようになる可能性が出て來るわけである。

今これを表にして示すと第3表のようになる。

このような異常に大きな波の存在することは重視すべ

第 3 表

20 の波が通過した中の最高波高	$3.74\sqrt{E}$ ft
50	" $4.24\sqrt{E}$ ft
100	" $4.56\sqrt{E}$ ft
500	" $5.20\sqrt{E}$ ft
1000	" $5.46\sqrt{E}$ ft

きことであつて、その説明として次のような例が述べてある。

今飛行艇が遭難した船を救助しに向うとする。天氣豫報および波浪豫報よりその海域では平均(有義)波高 3ft といふことが判つている。所がいざ飛行艇が着水しようとすると、着水までには 100 位の波に遭遇するから、第 3 表によつて、突然前方から  $3ft \times \frac{4.56}{3.83} = 4.8$  ft の波が現れる可能性があり、飛行艇はその波で顛覆して救助する筈だつた船に救い上げられないとも限らないといふのである。

### 3. 波の不規則性と船の運動との関係

波の不規則性は船の運動に種々の影響をもたらすが、概して規則的な波が船におよぼす影響よりもある程度減少すると考えられる。従つて水槽内の人工波中で行つた模型実験では波の影響は實際より大きく出過ぎるわけでこれをどの程度減じれば實際の大洋波中のものに相當するかという問題は、波浪中の船の運動および推進性能を論ずるに當つて極めて重要な意味を持つてゐる。以下二、三の問題について少しく検討をしてみる。

#### 1) 固有週期を有しない運動

固有週期を持たない運動に對しては、週期の不規則性はさして問題とならないから、波高の不規則性のみが問題となる。船の船首搖れ等はこれに相當し、また船の推進性能も、續搖や上下搖は固有週期は持つてゐるが非常に減衰が大きいためすぐ消滅して殆んど強制動搖しか現われないからやはり 大きつぱにはこの取扱いが出來よう。このような場合に波が船におよぼす影響はある時間の間の平均を取ると波高の算術平均に比例すると考えられる。すなわち個々の波の影響は波高に比例すると考えるのである。そらすると第 2 表より波高の算術平均は  $1.77\sqrt{E}$  であり有義波高は  $2.83\sqrt{E}$  であるから、ある船が大洋中で有義波高 5m の波に出会つたとするとそれと同じ状態の試験を水槽で行う場合には  $5m \times 1.77 / 2.83 = 3.13$  m の波高の規則波に置換えて試験を行えばよいということになる。すなわち約 6 割程度の規則波を探るわけで、これは乾助教授の提唱する大洋波の 2/3 の波高の人工波を以て相當規則波(Equivalent

Regular Wave) とするといふ考え方と一致する。

もし波高の二乗に比例するような現象の場合には  $(1.77 / 2.83)^2 = 0.393$  であるから、有義波の約 4 割の規則波を探らなければならない。波浪中の Slamming の問題等はあるいはこの種類に屬するものではなかろうか。

#### 2) 固有週期を有する運動

この代表的なものは横搖りであつて、固有週期による自由動搖が大部分であるから、單純に統計的に取扱うことは難かしい。文献(3)には船の横搖りに對しても第 1 表と同様な分布が成立つとして次のような例が擧げられている。今ある船の動搖角度を 100 回だけ測りその角度別の頻度を表にすると第 4 表の如くなつた。

第 4 表

動搖角度	頻度	動搖角度	頻度
1°	0	11°	6
2	3	12	1
3	7	13	5
4	12	14	4
5	10	15	2
6	9	16	2
7	12	17	0
8	9	18	2
9	7	19	0
10	8	20	1

第 4 表の平均動搖角度は  $8^\circ$  であり、第 2 表より

$$1.77\sqrt{E_s} = 8^\circ \quad \text{故}$$

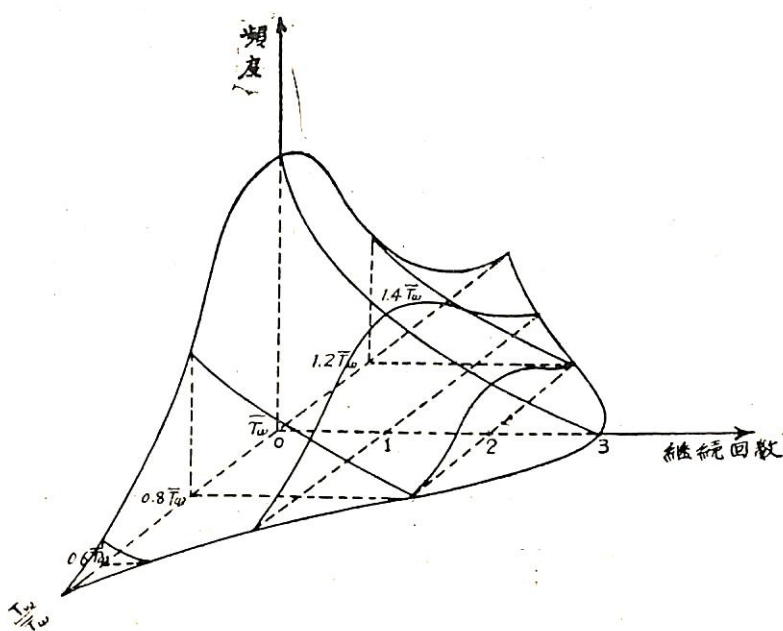
$$\sqrt{E_s} = 8^\circ / 1.77 = 4.62^\circ$$

この  $E_s$  は船の動搖の平均エネルギーに相當するものである。扱、第 1 表と第 4 表を比較してみると面白い結果が出て来る。

まず  $0^\circ \sim 3^\circ$  の間の搖數は 10 で全體の 10% であるが、これは第 1 表で  $0 \sim 0.64\sqrt{E_s}$  すなわち  $0^\circ \sim 2.95^\circ$  に相當する、といふようにこの動搖角度の分布は極めて第 1 表の波高分布によく一致している。また第 3 表より 100 の波の中の最高波高は  $4.56\sqrt{E_s}$  で、これは  $21^\circ$  になる。所が第 4 表を見ると 100 搖れの中の最大角度が  $20^\circ$  でこの點もよく一致している。

このようにこの例では極めてよく一致していて、もしこのようなことがどの場合にもいえるなら、横搖の場合にも有義波の 0.625 倍の規則波を相當波傾斜として探ることが出来る。

しかしながら横搖の場合は自由横搖が共存するから、當然週期の不規則性を考えなければならぬ。このような純統計的な取扱をするのは少しく大膽過ぎるようと思われるのと、もう一つは横搖の記録が取れれば、 $E_s$  は計算



第 9 圖

出来るが、ある船に E の不規則波が當つた場合に  $E_s$  はどうなるかということは容易に求められないし、また  $2\sqrt{E}$  の波高を持つ規則波による水槽実験の  $E_s$  をもつて有義波高  $2.83\sqrt{E}$  の波の中の横搖の  $E_s$  とするのも考えものであつて、もう少し理論的な取扱いが必要なようと思われる。

### 3) 不規則波中の横搖れ

純理論的な取扱いは加藤教授、渡邊教授等によつて行われ、限界動搖角度は理論的に求められているので、ここでは週期の不規則性による共振曲線の変化について少しく考えて見度い。

今一連の波の週期を次々に記録してその分布を求めてみる。第 9 圖はその一例であつて、次のようにして求め

られたものである。すなわち一つの波の週期が 5 秒だつたとする。次の波の週期が 5 秒だつたら継続回数 1 の所に頻度 1 と記入する。次の波がまた 5 秒ならば、5 秒の所で継続回数 2 の所に頻度 1 を加える、もし 5 秒でなければその波を基準として同じことを繰返すわけである。

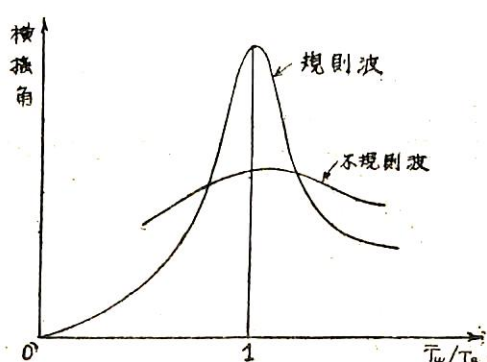
今固有週期  $T_s$  秒の船がこの波に相遇したとする。  $T_s = \bar{T}_w$  の場合を考えると、規則波では同調横搖となるが、このような不規則波では  $\bar{T}_w$  の週期の波はせいぜい 3 つ位しか續いて来ないから、同調横搖の過渡現象より搖數 3 の所を取れば大體この場合の最大横搖角度と見做せる。このことから不規則波中では、規則波中に較べて、

同調時の横搖角はかなり少なくなると考えられる。所が同調を外れた所を考えると規則波では急激に横搖角は減ずるが、不規則波では  $T_w \neq T_s$  の場合でも第 9 圖から判るように  $T_s$  の周期を持つた波が續いて来る可能性が充分あり、規則波の時よりも遙かに搖れるわけで、この傾向を大ざっぱに表すと第 10 圖の如くなる。

以上は近年順に發達した波浪の豫報理論の解説と、その船の運動に対する一般的な關係について簡単な考察を行つたものであるが、これらの發達した波の調査研究によつて、船の大西洋中の運動も解明の燭光を浴び初めたことは喜ばしいことである。

### 参考文献

- 1) Sverdrup H. V. and W. H. Munk, "Wind, sea and swell; theory of relations for forecasting," Hydrographic Office Pub. 601 1947
- 2) Longuet-Higgins M. S.; J. Mar. Res. 1952
- 3) Pierson W.J., Neumann Jr. G., James R.W. "Practical methods for observing and forecasting ocean waves by means of wave spectra and statistics." New York Univ. Dep. of Meteorology and Oceanography. Tech. Rep. No. 1. Contract No. N189s-86743



第 10 圖

# 船の方向変換運動

谷 初 藏  
商 船 大 學

## Reynolds の研究と方向変換の問題

長さ 5 呎程の單螺旋自航模型船の轉心附近に曳航點を置き、推進器が水面を切らないように十分吃水をもたせて曳航する、推進器を順轉させながら右に轉舵すると、模型は静かに右へ旋回を始める。突如推進器を逆轉させる、舵を右へ操つたままであるにかかわらず模型は旋回を止め、逆に左へ旋回を始めた。

今度は舵中央のまま、上と同じ要領で曳航し、突如推進器を逆轉させる。模型は僅かに左へ旋回したが、船尾を少しく昂り揚げて推進器が水面を切るようにしたら、左旋回の傾向が急に著しくなった。

この話は今から 80 年程昔の古い話であるが、有名な Osborne Reynolds が試みた興味ある實驗である。何故 Reynolds がこのような實驗をしたかといえば、當時海上で頻發した衝突事件のいくつかにみられた、甚だ氣紛れな船の運動の、隠された秘密を探り出すためであつた。たとえばこんな事件があつた。V 船と L 船とがこのままでは衝突を免れぬという危険な状態に接近した。L 船の船長は避航の當然の措置として急きよ轉舵を令したのは勿論であつたが、時既におそかつた。ところが後日審判庭で同船の士官達の證言から新たな事實が明らかにされ、當時船長が推進器の逆轉を令したことが分つた。これは Reynolds の實驗そのままである。

このような氣紛れな運動がどうして起るかはしばらく書き、通例旋回の 2 字で代表されている船の方向変換運動の内容はなかなか複雑であつて、その完全な研究といえば、最も簡単な舵だけによる旋回を考えてみても、船後のしかも推進器後流中に置かれた舵の性能から、曲線徑路上を非定常運動する船體の周りの非對稱な水の流れの研究まで含まれるといふ工合で、満足な解はそう容易くは得られそうもない。

まして操縦に當る船長が最も興味を持ち、日常最も頻繁に繰返される方向変換運動は、舵だけで目的を達することの困難な場合が多く、舵と推進器とを併用するのが常識になつているから、問題は更に困難である。

岸壁横橋への横付または離岸、港口水道での變針、拔錨または浮標解らん後のその場回頭、前述した衝突避航の緊急措置などはその例で、もしその上強風や潮流が存在するとか、水深が非常に浅いというような外的條件が加われば、船の運動を支配する因子はいよいよ複雑多岐となり、ために操縦には長年の経験とデリケートな勘が

要求されるようになる。

このような複雑な現象を支配する法則を見出すために、アカデミックな研究はまず、船の速度や運動管路の曲率が完全にユニフォームな状態に落着いた、いわゆる定常旋回運動に焦點を絞り、それによつて問題をごく簡単にすることから出發した。その結果旋回性能におよぼす船形狀、寸法、船型、慣性能率等の効果について、多くの極めて重要な結論が導かれたのであつたが、不幸にしてなお定性的な域を脱し得なかつた。

S. M. Davidson (米) が指摘したように、Taylor の Standard Series とまでは行かなくても、もう少し定量的な知識の集積と整理された骨組を渴仰しているのは、筆者一人ではないであろう。

## 船の個性と操縦

この船は「すわりが良い」、「舵効きがわるい」などといふ言葉をよく聞く。一定針路で航走している時でも、操舵員が時折舵輪をまわして抵て舵を操つているのが普通で、絶えずせわしげに操舵しなければ希望の針路を保てない船もあれば、比較的樂な落着いた船もある。

無論操舵員の技術もこれにはかなり關係があつて、試みに各人の操舵成績をチャイロコンパスの航跡自畫器に描かせてみると、かなり開きを見出すことがある。しかし船自體に今述べたような性質のあることも事實で、多くの模型試験結果がそれを物語ついている。

ごく僅かの抵て舵を、それもたまに操るだけで樂に保針できるような船が、いわゆる「すわり」の良い船である。しかしこの言葉には操舵という操作が含まれている。これを除いて考えるために、舵は中央に固定したまま操舵しないと假定すれば、宛かも固定鰭のような役割の舵その他の附加物を含む、水線下船體の形狀寸法等のみが保針の良否を決定するものとみることが出来る。

このように簡略化したときの保針性を普通方向安定性とかあるいは進路安定性と呼んでいる。

これはいわばその船の個性ともいふべきものであろう、いかなる船もこの個性は持つている。そしてそれに自ら強弱の差がある。

この個性が強いといふのは、いいかえれば方向安定性が非常に良いということである。

船長の操縦もまたこの個性に即應し、個性を十分のみこんだ操縦でなくてはならない。

Davidson は油送船、驅逐艦、巡洋艦、戦艦、掃海艇

等の方向安定性を調べたが、それによると掃海艇を除いた他の艦船は全部方向的に安定であつた。不安定というのは、定常直進中に突風、波浪の衝撃等外力のために一旦航路から逸れたら、以後螺旋的航路を描いて運動し、再び定常的直進運動には落着かない意味である。

ごく概略的といえど、常識的にもこれは推定できることであるが、dead wood その他これに類するものの面積が比較的大きい船は安定のようである。例えは上述の不安定な掃海艇に extra skeg をつけたところ安定に轉じたことを、Davidson が報告している。

この意味で操縦上船尾脚トリムを増すことは安定を強化するであろう。しかし保針を考えるあまり安定性の強化が過ぎると、舵を操った時の船の反応がどうしても鈍くなりがちであろう。今操舵に対する船の反応の敏感度といるべきものを「舵の効き」すなわち操縦性と定義すれば、方向安定性と操縦性は互に矛盾する性質である。設計の上からいつて、いずれか一方の犠牲において他を改良するという場合もある譯で、いかなるところに妥協點を見出すかは今後の課題である。

海員は長年の経験から、船の個性をいわゆる癖と稱して、デリケートな言葉で表現した。

またよく個性をのみこんでいない操舵員が操舵すると、船の運動がはなはだ氣紛れになることは上述した。こうした複雑微妙な事情を何とか法則化して、操舵能率を向上しようという試みが、いわゆる自動操舵である。

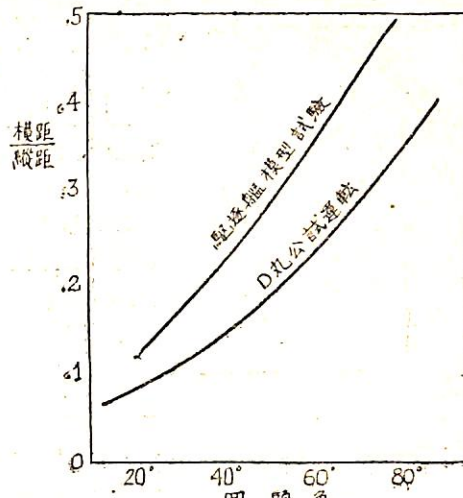
自動操舵は今日では、船の偏航運動の角変位と角速度とに感じて舵を操る方式が普通である。

人間が操舵する場合も、無論その操舵はある法則に従つていると考えられる。角変位、角速度だけでなく、角加速度、あるいはより高次の變量に感じているかも知れない。

しかしいずれにせよ、船の個性の合理的な表現と、これに對應する合理的な操舵法が、研究さるべきものと思う。

### 旋回進入と脱出

船の操縦性を定量的に表現する具體的な方法として、從來行われて来たのは、縦距および横距による方法である。船の大小の差を除くため普通これを船の長さで除し、船の長さの倍数で表す。英國流の定義によると、操舵してから船首が  $90^\circ$  回頭した時の縦距および横距を Advance および Transfer と呼び、我が國でも Seaman ship の書物などでこの定義を用いているが、ここではもつと一般に任意角度回頭した時の値を意味するものとしよう。



第1圖 操縦性(舵角  $35^\circ$ )

いずれにしてもこれらは船が操舵してから定常旋回へ進入または脱出するまでの間の運動性能を比較するのに便利なものであろう。

そして縦距は短い方がよく、縦距に比し横距は大きいのが望ましい。この意味では、縦距、横距の絶対値を用いるよりも、横距/縦距の比を用いた方がよい。

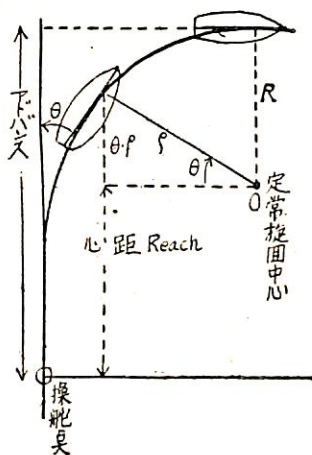
この比の値が大きい程操縦性が良いと判断する。またこの値は比較の際定める回頭角によつて異り、回頭角とともに増す。第1圖はその1例である。

渡邊恵弘博士は操縦性をここに述べたと同様に定義して研究されたが、それによれば、舷面積を増すと操縦性は初め向上するけれども、ある程度面積が増すとそれ以上ではむしろ低下する。つまり舷面積には、船型に對應して Critical value がある譯で、この邊にも前述した方向安定と操縦性の妥協點の問題がある。

Kempf は操縦性の簡便な実際的判定法を提案した。この Standard Maneuvering Test はドイツにおいてはよく行なわれているといふ。これは第2圖に1例を示したように、次の如き要領で記録してゆけばよい。

まず面舵  $10^\circ$  に轉舵し船が右轉を始めて、回頭角が  $10^\circ$  となつた時取舵  $10^\circ$  に轉舵する。

船が右最大回頭角に達し次いで左轉を始め、更に左回頭角  $10^\circ$  に達した時再び舵を面舵  $10^\circ$  に轉舵する。しかしして船首が原針路に復する時刻を読み、以下適宜これを繰返す。出来ればこの1週期の計測の間の航走距離を測定するとよい。Kempf は合計 133 隻の計測結果について、上の航走距離の頻度分布を作り、次のような興味ある結果を求めた。それによれば、操縦性の良い船のうち約 60% のものの航走距離は、船の長さの 6 倍ないし 10 倍

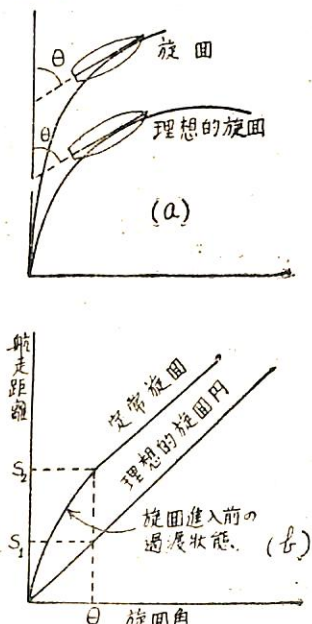


第 2 圖

上に測つた、定常旋回圓の中心までの距離であつて（第 2 圖）回頭角が餘り大きくなき範囲ならば、いわゆる Advance から旋回半径を減じたものに等しい。

旋回惰力係数は、轉舵と同時に定常旋回とならないために生ずる遅れの、曲線徑路上で測つた航走距離を船の長さで除した數である。

船首  $\theta$  がただ回頭した時定常旋回に入るものとすれば、操舵と同時に定常旋回に入ると假定した理想的な場合に比して、かなりの遅れがあり、それだけ餘分の距離を走らねばならない。第 3 圖 (b) から明らかのように、 $S_2 - S_1$  がその航走距離で從つて惰力係数は  $(S_2 - S_1)/L$  である。



第 3 圖

の範囲に含まれた。これによつて、その平均値の 8 船長を操縦性判定の實用的標準とすることが出来る。

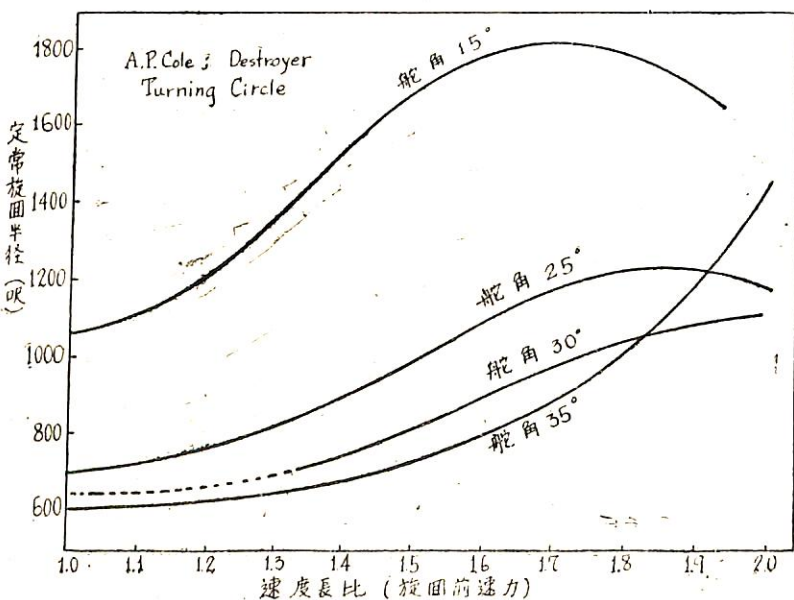
この他、操縦性を表現する方法としては、心距 (Reach) および旋回惰力係数 (Turning Lag) などがある。心距は、轉舵した瞬間の船の轉心位置から原進路

赤崎博士は回頭角が約 1 ラヂアンとなる頃から旋回が定常的になるといつておられる。それで 60° 回頭のとき定常旋回に入るとして惰力係数を計算してみると、赤崎博士の驅逐艦模型で、速長比 0.81、舵角 30° の時、約 1.12、また前掲の D 丸で、舵角 35° の時約 2.1 となる。一般商船は大體 2 度程のものであろう。惰力係数の意義は、この値を  $V/L$  ( $V$ : 船の速力、 $L$ : 船の長さ) で除すれば、定常旋回に入るまでの遅れの時間、すなわち舵に對する船の反應の時間的ずれが與えられるから、舵の効きの比較が時間的に把握出来ることである。

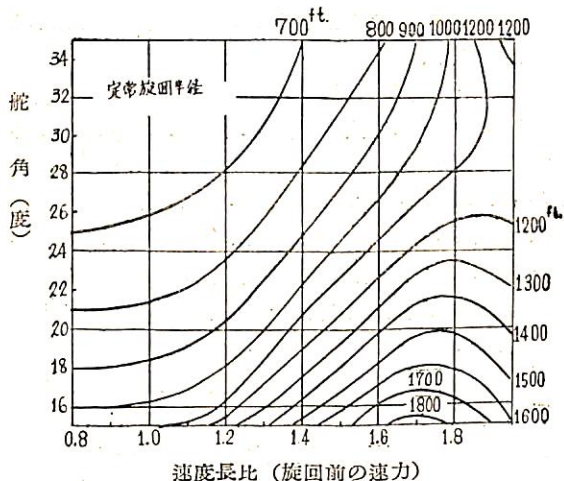
#### 定常旋回と速力

從來方向變換の性能は、前述したように定常旋回の解析から出發したので、旋回直徑の大きさ（普通は船の長さの倍数で表わす）で比較するのも習慣になつてゐる。上に述べた横距/縱距、心距、惰力係数は、いずれも舵角の大小には殆ど無關係であるが、旋回直徑は、周知の如く一般に舵角に逆比例する。

舵角とともに、考慮すべき因子は速力である。尤も造波現象に著しい變化の起きない範囲、すなわち速度長比が 1 ないし 1.2 以下の時は、操縦性も旋回直徑も實用上殆ど速力に無關係といつてよいが、これ以上の高速になると速力の影響が現われる。例えは驅逐艦が舵角 20° で旋回する時、速度長比それぞれ 0.81, 1.02, 1.23, 1.38 に對應する旋回惰力係数は 1.12, 1.18, 1.57, 1.97 のように増す。A.P. Cole は驅逐艦で速力最高約 35 節までの廣範囲で旋回の實船試験を行つたが、それによれば一般に



第 4 圖 駆逐艦の旋回圓半徑



第5圖 軍逐艦の旋回半径

速力の増加とともに旋回半径はかなり著しく増している。

尤もその増し方は舵角により大分違ひ、大舵角では單調に増すだけであるが、舵角を小さくするにしたがい、ある速力までは増すがそれ以上では逆に減少する。(第4圖)、第5圖は旋回半径をパラメーターとして、舵角対速度長比の関係を描いてみたものである。

この圖で、例えば  $V/\sqrt{L} = 1.6$  で旋回半径 1500 呪の旋回をする場合を考えるに、その所要舵角は約 18.5 度とすればよい。ここで速度長比が 1.7 となるまで增速し、なお 1500 呪の旋回を維持するには、舵角を約 1 度増さなければならない。ところが更に增速して例えば  $V/\sqrt{L} = 1.9$  としたとすれば、同じ旋回を保つためには舵角を再び減少する必要がある。

增速したため同じ旋回半径を維持するのに舵角を増さなければならぬ性質を、under-steering (「足らず舵」と邦譯する人もある) といひ、これに反し舵角を減らす必要のあるものを over-steering (「餘り舵」と邦譯する人もある) という。上に例説したように、under-steering から over-steering に變る場合またはその逆の場合を特に reverse-steering といひ、餘り高速でない範囲では under-steering が一般のようである。

しかし以上のような現象は高速艦艇を除けば一般商船では全く問題とならないし、加うるにこういう高速の範囲の研究資料は殆どないから詳しいことは分らない。

### 環境の變化

今まで述べて來たところは、水面が完全に無風平靜かつ廣闊であり、水深は十分に深いことを前提としての話であつた。實際に船の行動する水面は、風あり波あり、

特に慌しい操縦を必要とする水面は淺くて狭いのを普通とするから、船型研究の上からは兎も角、操縦の點からは、外的條件の制約を受けている状態での方向變換の問題がかなり重要になつてくる。しかしこの方面的研究は概して少なく、今後の研究に俟たねばならぬのが多い。

船は一般に風を受けて走ると船首が風上に切上る性質を持つてゐる。尤も船の速力に比べて風速が甚しく大きい場合は別で、この時は船首が風下に落される。

風上に切上る性質は向風性 (Luvgierigkeit) で、風下に落ちる性質は離風性 (Leegierigkeit) である。これらの性質は水線下船體に働く流體力學的横向力の作用點が、水線上船體および上部構造物に働く横向力の作用點と一致しないために起るので、風が在る限りどうしても避け難い性質であるとともに、船型によつてかなりの相異がある。同一の船に對しても、船の速力と相對風速との關係によつて、向風性から離風性へ、また離風性から向風性へ移り變る境界線がある。

無論實際には、それぞれの性質に應じて適宜の抵て舵を操り針路を保つのである。

操舵した場合には、この向風性と離風性の境界線は變化する。そして當時の速力と風速の關係によつて、いかに舵を以つても向風性を消すことの出來ぬ範囲、離風性を抑えることの出來ない範囲、および舵によつて希望の方向變換の可能な範囲などを生ずる。

先年鐵道連絡船および鮪漁船について詳細に研究されたところからみると、一般に横風に對する方向變換は少しく風が強まると困難に陥り易い、そして船首脚トリムは不利で、船尾脚トリムがよいようである。

1934年英國 Portsmouth 港を出港していた戰艦 Nelson が、港口の狭い水道を航行中に、取舵を操つたにもかかわらず船首が右轉して坐礁した事件があつた。その後これに對して詳しい模型試験が行われ坐礁の原因が探究された。

その結果明らかにされたところによれば、當時 Nelson は風力 4 の風を殆ど右舷正横近くに受けて比較的低速であり、かつ左舷側に伸びる淺瀬に接近してこれにほぼ並航していた。

このために、前述した風壓の影響と、淺瀬から受けた流體力學的な影響の兩者が重複したのが、坐礁の原因だと推定された。

この例からも知れるように、淺水の影響、側壁の影響などが、操縦性におよぼす効果は場合により非常に大きくなる。

G. S. Baker は、スエズ運河を航行する多くの商船に

便乗し、この制限水路が航行にどう影響するかを實地に調べた。

また佛蘭西でも Capt. Prard が模型試験によつて研究したものがあり、有益な成果が報告されている。これらの研究結果によれば、船の方向安定性は水深の浅くなるにつれて強化される傾向があるが、一方何かの原因で針路から逸れると、舵だけでは原針路に戻すことが困難なくらいの強い旋回モーメントを受ける。更に水道や運河のように水幅の制限が加わると、船首が近い方の壁から反発されて水路の中央に向こうとする。もとよりこうした効果は決して単純ではなく、船の吃水と水深との關係、水路の幅と船の幅との關係、水路の断面の形その他、影響する點が甚だ多い。戦艦 Nelson の模型試験を報告している Gawn によれば、一様に水深が浅くなつてもその影響は餘り大きいものでなく、浅くなつた水底の傾斜や凹凸がすこぶる大きな効果を持つものであるとさえいつている。

### 推進器の併用

スエズ運河では、水先人が双螺旋船の各船主機を適宜操作して操舵による方向変換を助けているといふ話である。この推進器の併用は非常に有効で、これによる旋回モーメントは制限水路では舵の効果を優に抹殺し得るという。スエズ運河で偏向防止のために採られる方法は、次の2法である。

(865頁よりつづく)

げしく、芯がつかれるといつておきました。

5) 現地の造船業、船用機関製造業は凡て支那人がやつており、タイ人のものは見受けられず、ここにも支那人の勤勉さがうかがえました。造船の方は専ら木造船許りで、それも精々 150 吨位まで、木材は相當に硬いものを使用していますが、そのためか構造は日本式より簡単であります。このことは日本の機関を輸出する場合知つておかねばならぬことと思われます。

6) 日本製エンジンの評判は、外觀の悪いこと（錆肌のままペンキを塗つたものもある由）、潤滑油消費が多いこと、振動が多いこと等があげられましたが、これは事前に充分打合せをなし、取扱注意を充分に與えること等によつて比較的容易に解決出来ると思われます。

7) バンコックへは從來磨玉機関が多く輸入されたようですが、漸次デーゼルに關心が向けられつつあるようです。一方現地人の好みの變動がはげしく、またいよいよタキシー・ボートの使い方が多いので故障したら修理をして使わず、揚げて新換して了うのが多いよ

a) 船が回頭しようとする側の推進器を增速しながら舵を操る方法。

b) 上と反対側の推進器を減速しつつ、舵を操る方法。

しかし (a) の方法は、增速のための旋回モーメントが非常に大きいために、偏向を止めるのみでなく反対側に偏向せしめがちで、主機使用の回数が増し餘り良い方法ではない。これに對し (b) 法は、減速による旋回モーメントは舵の効果とほぼ同程度なので、舵による調節の餘地があり好ましい方法であると、G. S. Baker は述べている。

推進器使用のコツをのみこむことは、操船上手といわれる1要素であるが、これについては拙文の冒頭に觸れた。殊に推進器逆轉の操作が方向變換の上で見逃せぬ事實であることを述べたが、最後に Reynolds が實驗の結果導いた結論の主なものを附記して卒筆を擱きたい。

1) 船體の行脚が前進であると後進であるにかかわらず、

a) 推進器が順轉の時は、舵と同じ方向に回頭する。

b) 推進器が逆轉の時は、上に反する。

c) これらの傾向は、船體の行脚が大きい時弱い。

2) 推進器は、それが水面を切らない限り、または空氣吸込みの現象のない限り、それ自身船を回頭させようとする傾向を持たない。

(完)

うです。

8) サイゴンの場合と同じく、サービス・ステーションを設置するとか、サービス・エンジニアの駐在が要望され、カタログにも現地語のものが必要なようです。

### 結 言

以上くどくと述べましたが、この度の旅行での感想をまとめて

1) 日本というものが案外知られていないこと、特に日本の技術、工業において然りであります。従つて凡ゆる手段によつて日本の技術紹介につとめるべきと考えられます。

2) 日本の輸出増進のためいろいろの方策がとられているようですが、それはあくまで實質的なものたるべく、机上の輸出振興策であつてはならないことは當然であります。また「顧客先の國情、民情から如何なるものであるべきか」ということから出發して、納入後の技術サービスを完全に行うことまで實施しなければならぬと考えられます。

# 自動操舵について

野本謙作  
大阪大學講師

舵を真中にして走つても船はともすればその進路から逸れるものである。波や風は不規則に變動する力を船に加えてあるいは右にあるいは左にその方向を變える。第1圖は直進中急に $1^{\circ}$ だけ方向を變えて放した時の船の運動であるが實際の航走状態ではこのような運動が次々に起つていると考えてよい。

A船は進路不安定ないわゆる“舵の振り”的大變悪い船であつて最初に與えた $1^{\circ}$ の振れがどんどん増加して止まるところがない。——舵を真中にした儘ゆきつり旋回しているのである。B船では最初に與えた振れが幾分増加するけれどもだんだん落着いて結局以前の進路と $5^{\circ}$ ばかり逸れた新しい進路を直進するようになる。普通の船はこのB船に似た運動をするものが多く比較的Aに近い船は“舵の振り”が悪いといわれるわけである。

以上は全然舵をとらない話であるがA船は無論のこと舵の振りのよいB船でも舵をとらずに走ると進路はだんだん變化して来る。B船の場合成程A船のように進路から全く逸れてしまうことはないけれども、一旦與えられた進路の振れば決してなくなりはしないから少しつきい波に船首を叩かれたり風が一吹き吹き付けたりする度に進路は幾らか変化するであろう。これは必ずしも荒天ではなくても、例えば潮でもそよ風でもほんの少しは進路を振るはずである。一方長い航海をする船にとって進路の誤差は數度でもはや致命的なものであることを

考えると、いかに舵の振りのよい船でも全く舵をとらずに航走することは不可能である。羅針盤によつて進路の誤差を見出しそれが餘り大きくならないうちに舵をとつて進路を確保しなければならない。舵の振りの悪い船はなおのこと頻繁に舵をあてて進路から逸れるのを防がねばならない。

ところでこの羅針盤を見つめながら舵を細かく取つたり戻したりする仕事は長い航海中にはとりわけ單調なそのくせ疲労

も小さくない仕事であるらしい。この種類の仕事はできることなら機械か動物に任せたくなるのは人情であつてオート・パイロットの起源は遠く帆船時代に遡る。帆綱と舵柄を運動させて風に對して一定の進路で走らせる工夫は今も何隻かのクルージング・ヨットに生きている。

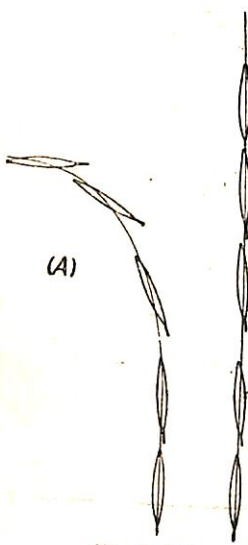
しかし本格的なオート・パイロットはジャイロ・コンパスの完成を俟つて現れた。最近では磁氣コンパスによるオート・パイロットも作られるようになつたが當時は指北力の弱い磁氣羅針儀の読みを外部に傳える方法がなかつたので指北力の遙かに強いジャイロ・コンパスに俟たねばならなかつたのである。この最初のパイロットがスペリーのジャイロ・パイロットである。

## スペリーのジャイロ・パイロット

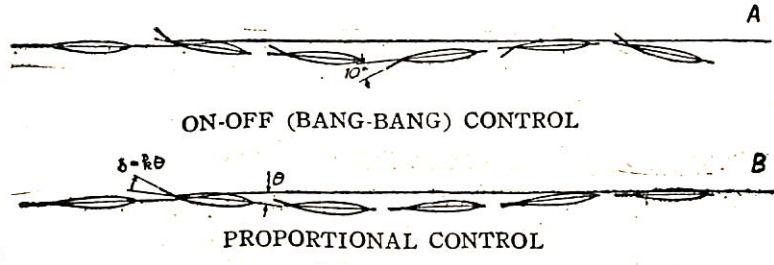
ジャイロ・コンパスでも磁氣コンパスでも船が旋回すればそれに應じてコンパス・カード（目盛盤）が回轉する。すなわちコンパス・カードの回轉角がその儘進路の振れを示す。ところで磁氣コンパスのカードに歯車などをつけてこの回轉を外部へ取出すことは實際問題として不可能であろうが、ジャイロ・コンパスはいわば小さい電動機でカードを廻しているのだから普通の歯車でこの回轉を取出すことができる。少々の荷重があつてもそれに打勝つて北を指すだけの力があるわけである。

このようにして進路の振れを外部へ取出すことができた目から操舵手の代りを勤める自動機械、オート・パイロットの夢は具體的なものになつた。回轉角の形で取出した進路の振れに應じて電氣スイッチなり油壓の弁なりを開閉してその振れを消すように舵取機械を動かせばよいのである。

オート・パイロットを作るに當つてまず問題になるのはコンパスから取出した進路の振れとそれを修正するための舵角との關係である。一つの簡単な方法は振れの大きさに關せずその向きだけによつてそれを打消す方向に一小量の舵角を與えることである（2-A圖）。この方式では進路から右に逸れるや否や左 $10^{\circ}$ なら $10^{\circ}$ の舵角をとり進路が戻つて來て左へ行き過ぎ始めるときに右 $10^{\circ}$ の舵角に切換えるという有様でこの方式を十分効果的に行おうとすれば船は相當の速さで左右に振動している位でなければならない。さもないと大きい航行を惹起することは想像するに難くない。従つてこのやり方は船には適當でない。



第1圖



第 2 圖

次に考えられるのは振れの量に比例した舵角を與える方法で比例制御と呼ばれる。例えば右に  $1^{\circ}$  振れれば左舵  $2^{\circ}$  をとりその結果振れが減つて来ればそれに應じて舵角も減り進路復歸とともに舵も中央になる。しかし船は惰性によつてなお左旋回を續け今度は振れが左に出て来るから舵はそれに應するだけ右にとられこの右舵は次の進路復歸まで續く、このようにして船は減衰振動のような形で平均の進路を維持するのである。

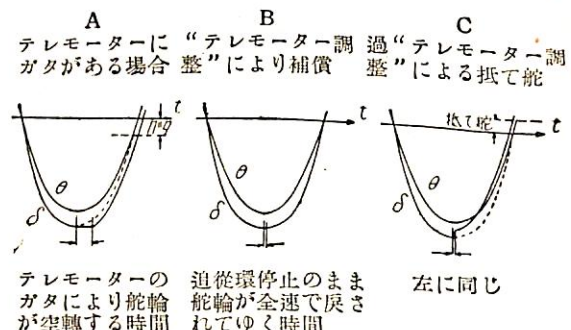
スペリーのジャイロ・パイロットはこの比例制御によるものでその機構の概略は第3圖の如きものである。差動歯車は歯車の組合せで左から入る回轉角と下から入る回轉角の差を右へ傳える機構である。小舵輪で與えた進路と實際の進路に差があればその差だけコンタクト・メーカーを廻しこれと追従環にある電氣接點が閉じて舵輪回轉用電動機を廻し舵がとられる。一方この電動機は追従環をも同時に廻してコンタクト・メーカーを追従させ、追着くと接點が開いて電動機は止り舵も止まる。つまりコンタクト・メーカーの回轉角は進路の振れに比例しており追従環の回轉角は舵角に比例しているから、コンタクト・メーカーと追従環の回轉角が等しくなるまで電動機が廻るのなら常に進路の振れに比例した舵角がとられようとしているわけである。電動機の回轉を適當に選んでおけば追従環は進路の振れに殆んど遅れなく追従し舵角は常に進路の振れに比例することになる。

天候調整は荒天になつて波の一つ一つが周期的に進路を振るようになつたとき、いちいちパイロットが動作することを防ぐもので差動歯車の軸とコンタクト・メーカーの軸の間にガタを與えそのガタの範囲内の進路振れの

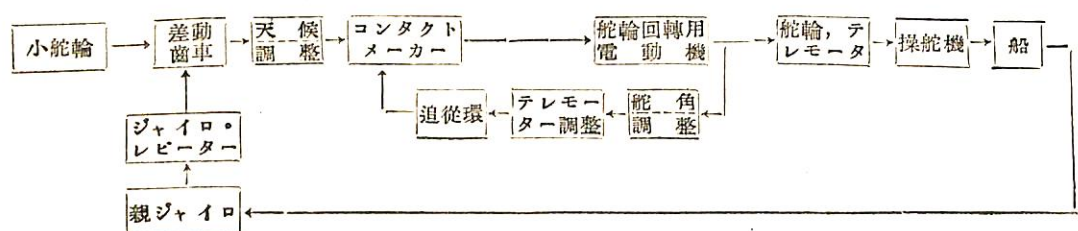
信號はここで切つてしまふものである。荒天中では周期的な船首搖は見送つてその平均値を所定の進路に向けるよう操舵すれば船の運動も柔かになり舵にも無理を與えないことが古くから船乗の間で認められているから、この點ではこのやり方でその目的を達しているのであるが一方ではこのガタのため進路の振れからかなり遅れて舵をとることになり十分に進路保持の目的を達しない場合がある。これは先年元良氏が日聖丸において指摘された所であるが氏によれば天候調整のための不安定船首搖は最大  $10^{\circ}$  に近く、最大舵角は  $20^{\circ}$  を超える結果、相當量の馬力損失を招いていることが明らかにされている。

テレモーター調整は本來テレモーターの遊びを逃げるためのものであるが調整を十分に効かせれば船首搖の減衰にも大いに効果がある、機構としては舵輪回轉用電動機と追従環の間にガタを設けてある。

遊びのあるテレモーターでは舵を戻す時その遊びに應ずるだけ餘分に戻してやらねばならない。テレモーター調整はこれを行うものであるがその効果を更に強調してテレモーターの遊び以上に戻してやるようにすると右舵あるいは左舵から戻し始める時、舵角はその分だけ餘計に減少して(4-C)圖のようになる、こうしておくと



第 4 圖



第 3 圖

同じ振れの角度に對しても進路へ戻つて來る時には遡れて行く時よりも小さい舵角を與え、進路に近づいて來るに從つて逆の舵角をさえ與えるから船が進路に戻つたのち更に行過ぎるのを妨げる効果がある。この抵て舵効果のない時は船首搖に對する減衰は旋回運動に對する船の抵抗モーメントだけであつて多くの場合減衰力として不十分である。

進路へ戻す力だけでなく進路の左右の船首搖を減衰させる力をも與えるように舵をとることはオート・パイロットの性能を大いに改善する。特にさきに示した A 船のようにいわゆる舵の据りの悪い船では船體自身の減衰は全然期待できないわけであるから十分な減衰を舵から與えることが必要になる。

オート・パイロット設計の問題がここまで進んで來ると自動操舵されている船の運動を力學的に解析することが望まれる。それによつて進路の振れに對する舵角の割合とか抵て舵の適當量などが判るであろう。このような研究は Minorsky によつて始められその仕事は自動制御の古典に數えられている。彼はまたその研究に基いて種々の型の自動操舵を試作し成果を収めた。

#### 自動操舵の力学

自動操舵されながら航走する船の運動は第 2 圖の如く船體の横方向のずれ（蛇行）と進路の振れ（船首搖）の組合せである。Minorsky はこのうち蛇行は自動操舵に関する限り重要ではないと考えて船首搖の方程式を作つた（第 6 圖参照）。

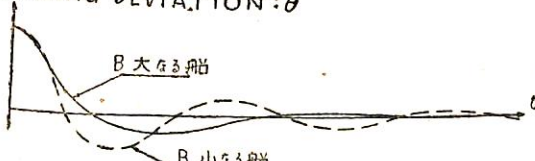
$$A\ddot{\theta} + B\dot{\theta} - C \cdot \delta = 0$$

$\theta$ : 進路からの振れ、A: 船體の重心の回りの慣性モーメント、 $B\dot{\theta}$ : 船首搖角速度  $\dot{\theta}$  に比例する抵抗モーメント、 $C \cdot \delta$ : 舵角  $\delta$  によるモーメントである。スペリーのパイロットでは舵角を進路の振れに比例させるから  $\delta = -k\theta$  で方程式は

$$A\ddot{\theta} + B\dot{\theta} + Ck \cdot \theta = 0$$

この船が波にでもたたかれて進路を逸らされたのちの運動は第 5 圖のような減衰振動である。旋回に對する抵抗の小さい船は破線のようになかなか船首搖が收らないから次々に外力が船首を振る就航状態では絶えず船首搖

HEADING DEVIATION:  $\theta$



第 5 圖

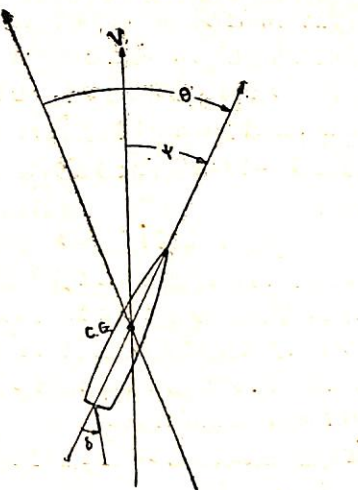
していることになる。これを防ぐには B 係数を大きければよいが、この旋回抵抗は船型によつて決つているから如何ともなし難い。そこで Minorsky は B 係数を増加したのと同じ意味をもつ舵のとり方、すなわち angular velocity control を提唱した。これは  $\delta = -k\theta$  の代りに  $\delta = -k\theta - k'\dot{\theta}$  になるように舵をとるもので方程式は

$$A\ddot{\theta} + (B + Ck')\dot{\theta} + Ck\theta = 0$$

となり旋回に對する抵抗を増して船首搖を減衰させることになる。Minorsky はこのような考え方から更に多くの舵のとり方、例えば  $\theta$  の積分値に比例する舵角とか、 $\theta$  に比例した速さで舵をとることなどの効果を研究し新しいパイロットの試作を行つた。

さて、船首搖に伴う船の蛇行を無視した Minorsky の假定は正しいであろうか。船が横方向に運動すれば船につき當る水流の方向は斜前からになるが、これが大きい旋回モーメントを船に與えはしないであろうか。もしそれが舵のモーメントや  $B \cdot \dot{\theta}$  の減衰モーメントに比べて無視できるものならばそれでよいのである。現在船首搖や旋回を研究している人達はこの點では恐らく Minarsky に賛成し兼ねるであろう。船首搖の運動方程式は殆んど皆、船首搖の式と船體の横方向運動の式の聯立になつてゐるし、數値的にも最も明確な資料を提供している Davidson の研究を少しく検討してみると横方向運動によるモーメントは舵によるモーメントや旋回抵抗と全く同じオーダーであることが分る。しかしこの誤にもかかわらず進路の振れに比例する舵角は進路を保持し、振れの角速度に比例する舵は船首搖を減衰し、振れの積分値に比例する舵は船を大きく蛇行させる嫌はあるけれども定常的な外力に對しては最も有効であるというような定性的な結論は全く正しいのであつて Minarsky の研究の意味はここにあるといつてよい。しかし一方ではオート・パイロットの設計や調整に際して進路の振れに對する適當な舵角とか抵て舵の必要量などを計算するためには、やはり船の横滑り運動も併せ考えねばかなり見當違ひに終るおそれがある。

船の横滑り運動を併せえた運動方程式は變數の選び方などで幾分違つた表現があるがここではさきの Davidson のものを擧げる（第 6 圖）。この例では船首搖の速度  $V$  は變らないと考え、船の運動方向と船體中心線のなす角度を  $\psi$  としているから船の横滑りの速さは  $V \cdot \dot{\psi}$  である。 $m_1, m_2$  は船の前後方向および横方向の見掛質量で  $(m_2\dot{\psi} - m_1\dot{\theta}) \times V$  が船の横方向の運動量の變化（慣性力）に當る。 $C_{\psi}\dot{\psi}$  は横滑りに對する抵抗、 $C_{\theta}\dot{\theta}$  は旋回によつて起る側壓、 $C_{\lambda}\delta$  は舵による側



第 6 圖

壓である。 $n$  は見掛けの慣性モーメント,  $\bar{C}_k \cdot \dot{\theta}$  は旋回抵抗モーメント,  $\bar{C}_m \psi$  は横滑りによるモーメント,  $\bar{C}_\mu \cdot \delta$  は舵によるモーメントである。方程式は

$$\left. \begin{aligned} m_2 \ddot{\psi} + \bar{C}_l \psi - (m_1 - C_f) \dot{\theta} &= \bar{C}_\lambda \delta \\ n \ddot{\theta} + \bar{C}_k \dot{\theta} - \bar{C}_m \psi &= \bar{C}_\mu \delta \end{aligned} \right\}$$

これから  $\psi$  を消去すれば Minorsky の方程式に當る  $\theta$  と  $\delta$  の方程式が得られる。

$$\begin{aligned} a_3 \ddot{\theta} + a_2 \dot{\theta} + a_1 \theta &= b_1 \dot{\theta} + b_0 \delta \\ a_3 = m_2 n & \quad b_1 = m_2 \bar{C}_\mu \\ a_2 = \bar{C}_l n + \bar{C}_k m_2 & \quad b_0 = \bar{C}_m \bar{C}_\lambda + \bar{C}_l \bar{C}_\mu \end{aligned}$$

$$a_1 = C_k \bar{C}_k - \bar{C}_m (m_1 - C_f)$$

これに舵のとり方、例えば  $\delta = -k\theta$  を加えれば Minorsky と同様に自動操舵による船首搖の方程式が得られ、船の運動を解析することができる。

しかし實際問題としてこの方程式の係數を決めるのは困難なことであつて、船の寸法とか船型などによつてこれらの係數がどのような値になるかといふ資料は極めて乏しいのである。この點、旋回水槽における模型試験や旋回する船に働く力の流體力學的な研究などに大いに期待しなければならないが、今一つ、特に自動操舵に關聯して興味深い方法が考えられる。今舵を適當な周期で左右に一定角度だけ繰返しとつてみよう。當然船は同じ周期である角度だけ左右に船首搖するであらう。これを力學的にいえば“正弦波形外力による強制振動”であつてその振幅や外力に對する位相差は簡単に計算できる。この計算を最も簡単に行つ技巧は外力として正弦波の代りに  $e^{i\omega t} = \cos \omega t + i \sin \omega t$  を加えてやり、結果の虚數部が  $\sin \omega t$  に對するもの、實數部が  $\cos \omega t$  に對するも

のというやり方であろう。この外力による船首搖を  $\theta = Y e^{i\omega t}$  とおいて方程式に代入し計算すると

$$Y e^{i\omega t} = \frac{b_1(i\omega) + b_0}{a_3(i\omega)^3 + a_2(i\omega^2) + a_1(i\omega)} e^{i\omega t}$$

$Y(i\omega) \cdot e^{i\omega t}$  の虚數部が  $\delta = \sin \omega t$  に對する船首搖であつて、その振幅は複素數  $Y(i\omega)$  の大きさ、 $\sin \omega t$  に對する位相差は  $Y(i\omega)$  の偏角になる。なお  $Y(i\omega)$  は計算しなくても方程式から直接作れることはその形を見れば明らかである。

ここまで數學的な計算の問題であるが、ここで立場を變えて實際に舵を繰返し左右に取つてみよう。その舵角は舵角指示器から、船首搖はコンパスから読み取ることができるし、位相差は舵角最大から船首搖最大になるまでの時間と船首搖の周期を測れば簡単に求められる。これでその周期に對する  $Y(i\omega)$  は實測されたのである。すなわち船首搖を  $\theta_1$ 、舵角を  $\delta_1$ 、位相差を  $\phi$  ラディアンとすれば

$$Y(i\omega_1) = \frac{\theta_1}{\delta_1} e^{i\phi_1} \quad \text{である。}$$

操舵の周期を幾つか變えて同様なことを行えば方程式の係數は全く分らないでも  $Y(i\omega)$  が數値的にはつきり求められる。 $Y(i\omega)$  の大きさは  $\omega$  の増加とともに急に減少するから、舵角としては高調波を含んだ波形、例えは三角形波や梯形波でも餘り極端にならぬ限り大きな誤差は與えない。従つてこの實測は普通の操舵系統を用いてごく手軽に行つうことができる。この  $Y(i\omega)$  は自動制御の方面では Frequency Response Function と呼ばれているもので制御系の各要素について  $(Y_i)$  が計算からにせよ、實測からにせよ求められたならば各要素の詳細な構成は分らないでも制御系全體の設計は十分進め得るものである。

すなわちオート・パイロットの  $Y(i\omega)$ 、操舵機の  $Y(i\omega)$  等各要素の frequency response が方程式を立てるなり實測するなりして得られたならば、それらを次々に連ねた全體の frequency response は各要素の  $Y(i\omega)$  の積で表されることは上述の  $Y(i\omega)$  の意味から明らかである。従つて第7圖に示すように船首搖角  $\theta$  に全體の



第 7 圖

パイロットは  $\theta$  を減する方向に  $\delta^*$  を發令するから  $Y_A$  の値は負である。 $Y(i\omega)$  は絶対値をとることにするから  $\theta = -Y_A \cdot Y_R \cdot Y_S \theta = -Y_0(i\omega)^{\theta}$  となる。

frequency response  $Y_0(i\omega)$  を乗じたものが再び  $\theta$  になつてゐるわけであるから、この系の運動方程式に當るものは  $\theta = -Y_0(i\omega) \cdot \theta$  である。このことは運動方程式から  $Y_0(i\omega)$  を作るには運動方程式の  $d/dt$  を  $(i\omega)$  におきかえ  $(i\omega)$  を普通の數字として代數計算すればよいことを考えれば直ちに理解されるであろう。上の方程式  $(1+Y_0(i\omega))\theta = 0$  は運動方程式を記號的に書いたものといつてもよいのである。

さてこの系が安定であるためには運動方程式の解が時間とともに減衰する形になればよいので、それには  $(i\omega)$  についての代數方程式  $1 + Y_0(i\omega) = 0$  の根の實數部が負であればよい。それには  $p$  を複素數として複素函數  $1 + Y_0(p)$  の零點が  $p$  平面の右半分になければよいということから問題を複素平面の上の幾何學的な問題に移し、いくつかの  $\omega$  に對して  $Y_0(i\omega)$  を複素平面の上にプロットし——これは  $Y_0(i\omega)$  の大きさと偏角が分つているから直ちに出來る——その曲線の形から系の安定度を判別することができる。自動制御設計のプラクティスによれば  $Y_0(i\omega)$  の大きさが 1 になつた時、その偏角が  $135^\circ$ — $140^\circ$  位になるようにすると最も適當な安定度が得られることになつてゐる。

さきに述べたように各要素の  $Y(i\omega)$  を實測するにはその要素の入口に（船なら舵、操舵機なら舵輪）に周期的な入力（船なら舵角、操舵機なら舵輪の回轉）を与えてそれによる運動の振幅と位相を測ればよいのであるから、それだけで自動操舵の合理的な設計ができるこの方法は確かに實際的である。

なお實測された船體の  $Y(i\omega)$  から直ちに運動方程式の係數を求めることはできないが、係數のうちどれか一つが分れば後は次々に決めることができる。この方法による係數の決定は旋回水槽が要らないこと、實船の資料がとれることでなかなか魅力的である。

#### 最近のオート・パイロット

スペリーのジャイロ・パイロットは進路の振れに比例するいわゆる“戻し舵”を主としそれにさきに述べた特殊な減衰効果を附加したものであつたが、最近に至つて船首搖を減衰させるための舵角“抵て舵”を明確に有するオート・パイロットが作られるようになつた。船首搖角速度に比例する舵角をもつことの効果は既に詳しく述べたところであるが、この改良により船首搖の減衰は著しく速かになり、また從來困難であつたオート・パイロットによる大角度の變針も行われるようになつた。

最初に實用に供されたものは恐らく北辰電機製作所のパイロットでありやや遅れてスペリーでも Rate-Gyro-Pilot を實用化している。これらの新しいパイロットに

ついては昨年 8 月號の本誌に北辰電機の小林氏 東京計器の山田氏が説明されている。北辰電機のパイロットは進路の振れ  $\theta$  と舵角  $\delta$  の差に比例した速度で回轉する電動機で  $\theta$  を追従させるように  $\delta$  を動かすという巧な工夫で角速度制御を入れ、なおオート・パイロット内部のハンティングを防ぐための subsidiary loop が附加されている。角度の検出はすべて Selsyn モーターを使ひ、スペリーのレイト・パイロットはいわゆる servomechanism の典型と思われる方式で、ジャイロからの進路の振れをボテンショ・メーター（摺動抵抗器）で取出しやはりボテンショ・メーターで取出した舵角との差を error signal とする。一方ジャイロの回転を回轉計発電機で取出し error signal とともに磁氣增幅器に送り加算するとともに増幅し、舵角を發令する power unit に傳えている。

これらのパイロットは進路の振れに對する舵角の割合、振れの速度に對する抵て舵の割合を相當廣範囲に變化できるよう設計し實船の試運轉に際し適當に調整しているが、力學的な觀點から船の運動や操舵機の特性を解析することにより最適の調整が合理的にできるであろう。

また天候調整は今後恐らく最も重要な問題であるが新しいパイロットもこの點に關しては從來のものと同じく進路の振れがある量に達するまではパイロットが作動しないようになつてゐる。これはさきに述べた如く荒天における頻繁な操舵をさける一方、進路の振れからかなり遅れて操舵するため不安定になるおそれを持つてゐるわけで角速度制御により著しく改善されているものとは見られるものの、もつと詳しく調べてみる必要があるようと思われる。荒天における新しいパイロットの動作狀態を知りたいものである。

#### 参考文獻

- 1) Turning & Course-Keeping Qualities  
K. Davidson & L. Schiff TSNAME 1946
- 2) オート・パイロット取扱説明書  
北辰電機製作所 東京計器製造所.
- 3) 荒天中の自動操舵と Yawing について。  
元良誠三 造船協會會報, 29 年, 94 號.
- 4) Directional Stability of Automatically Steered Bodies  
N. Minorsky, Jorunal of ASNE 1922.
- 5) Automatic Steering of Ships by Proportional Control  
L. Schiff & M. Gimprich TSNAME, 1949.

# 波浪中における水槽試験の二、 三の問題

伊藤 達郎  
運輸技術研究所・船舶推進部

## 緒 言

先に行われた日聖丸についての實船試験に関しては既に本誌に紹介された。その後本船の模型船について種々の試験が行われた。ここでは運輸技術研究所船舶推進部第一水槽において行われた試験のうち二三の結果を紹介すると共に波浪中の試験の問題點について少しく述べてみたいと思う。

本水槽においては主として4mの木製模型船について抵抗試験と自航試験が行われ、同時に動搖、波形等の計測が行われた。これらの試験用として、波の位相によつて變動する抵抗、推進器推力およびトルクを測定するために Gravity type 抵抗動力計および自航試験用動力計を新しく製作し、また動搖計・波高測定装置等の諸計器を準備した。日聖丸の主要目は次表の如くである。

## 日聖丸 主要目

全長	138.19m
垂線間長	128.00m
型幅	17.50m
型深	10.40m
計畫夏季吃水(型)	8.25m
排水量(上記吃水における)	13,870t
C <sub>b</sub> (%)	0.728
C <sub>d</sub> (%)	0.984
L <sub>cb</sub> (%)	0.42m(船首へ)

試験を行つた状態は航海状態のうち輕荷と満載の代表として實船試験の Condition I および IV が選ばれこれらについて行われた。この状態の排水量および吃水は第3圖および第4圖に示した。

本水槽において波浪中の抵抗試験は從來も行われてきただが、自航試験は最初の試みであり未だ試験装置も充分ではなく今後改善の餘地はあるが、最初の試みとしては一應の成功を納めた。

## 抵抗試験結果

第1圖および第2圖にそれぞれ輕荷状態および満載状態の抵抗試験結果を波長を横軸として示した。この兩圖では  $T_{po}$  は縦搖固有周期、  $P$  は縦搖角度、  $H$  は上下搖量(いすれも single amplitude を示す)  $h$  は波高(波頂から波底までの高さ)、  $V_m$  は模型船の速度である。本文においてはいすれも模型船の進行方向に對し真正面か

ら波が進行して来る場合の試験結果である。この兩圖で縦搖角は波長が長くなるにつれて波の傾斜に近づき、上下搖の量も一定の値(例えは満載状態では全上下搖量と波高の比が 0.5~0.6)に近づく。

波長が 4m 附近の波で抵抗値に大きな hump があらわれる、またこの附近で縦搖角にも明瞭な hump があらわれる。第2圖に縦搖固有周期の異なる場合の曲線も示したが、同じ波長でも固有周期の相異により hump の位置がずれることは勿論であるが、抵抗値および縦搖角に相當大きい差が見られる。この問題については後に詳述する。

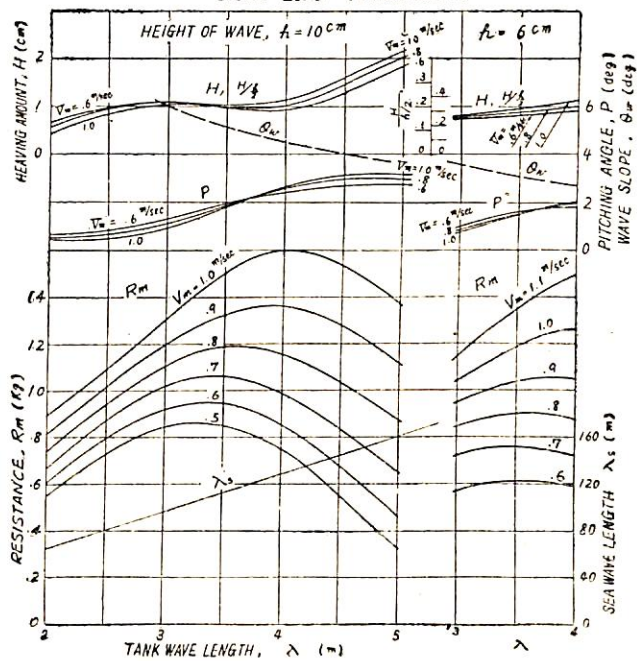
第3圖および第4圖には模型試験結果を實船の有効馬力に換算したものおよびそれと平水時の有効馬力との比を示した。この換算の摩擦抵抗値はフルードの係数を用い平水時の場合と等しいと假定して、波浪中における剩餘抵抗の平水時のそれに對する比が實船と模型船で相等しいものとして通常の計算法で換算した。この兩圖では波長が船長に等しい 128m の波で有効馬力の増加が著しいことが明瞭である。

## 自航試験結果

第5圖および第6圖に自航試験結果として實船の D H P と R P M および静水時の D H P に對する波浪中の D H P の比を示した。抵抗試験の場合と同じ傾向の結果が得られ、低速において増加率の大きいことが顯著である。第3~6圖の結果から波浪中における推進係数は平水中における値に比しかなり小さい。平水中の推進器の單獨試験結果を使用した豫備的解析の結果によると、當然豫想されるように、このような推進係数の低下は主として推進器荷重が平水中の場合より船體抵抗増加のために大きくなることによる單獨推進器効率の低下によるものであつて、波の圓運動と船の前後搖による推進器前進速度變動の影響や縦搖および上下搖等のために起る斜流による効率低下はそれ程重要ではないようである。この點に關しては將來波浪中の推進器單獨試験を行うことにより、本試験結果を解析して明確な結論を出し度いと思う。

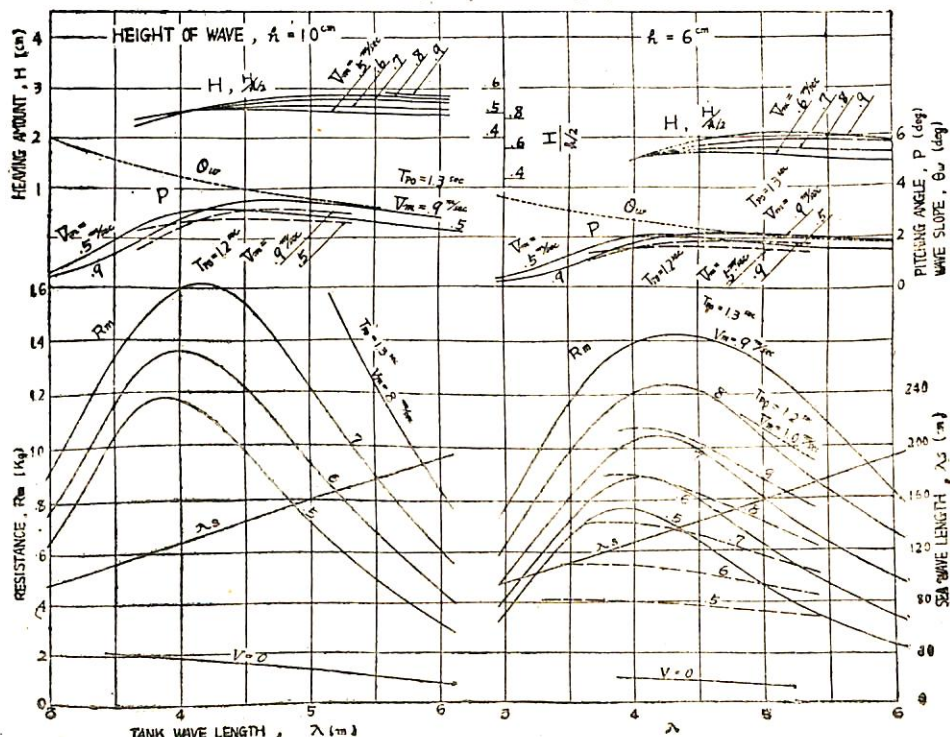
更に考えなければならぬことは、平水中の自航試験の場合と異り模型船の原動機と實船のそれの性能の相異である。航行中週期的に原動機に加わる荷重が變動する場合に、原動機の特性の差異が試験結果にあらわされること

LIGHT LOAD (CONDITION I)

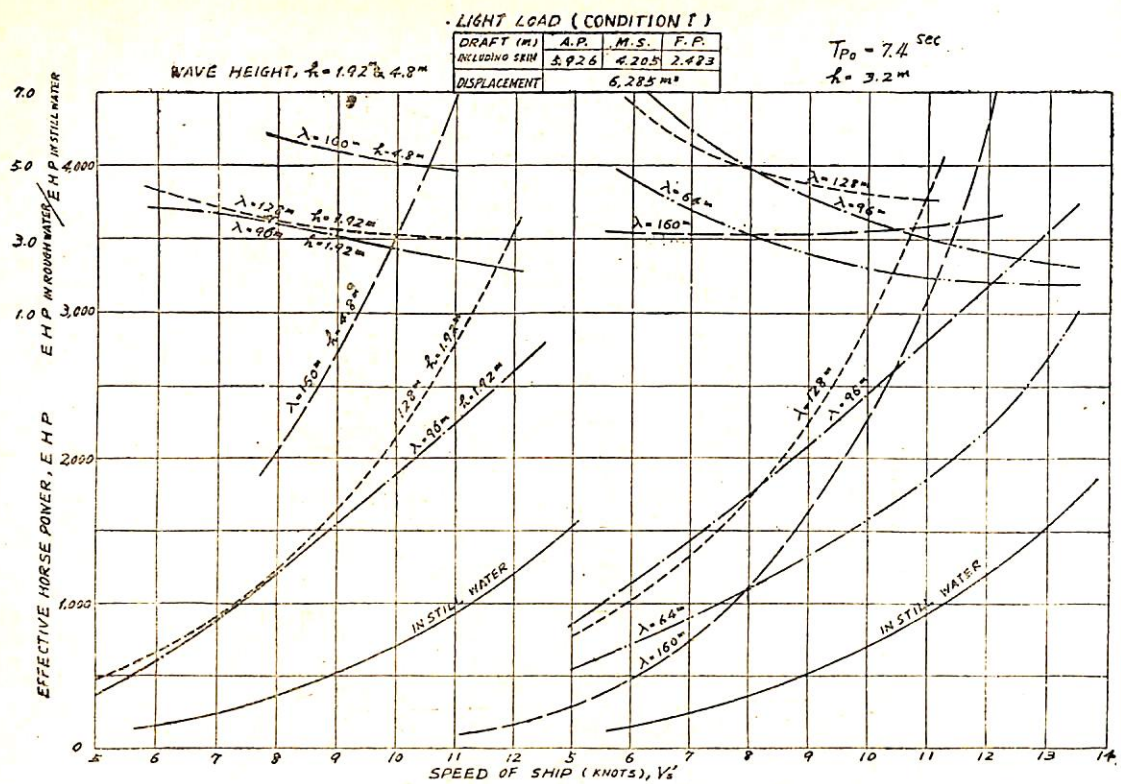


第 1 圖

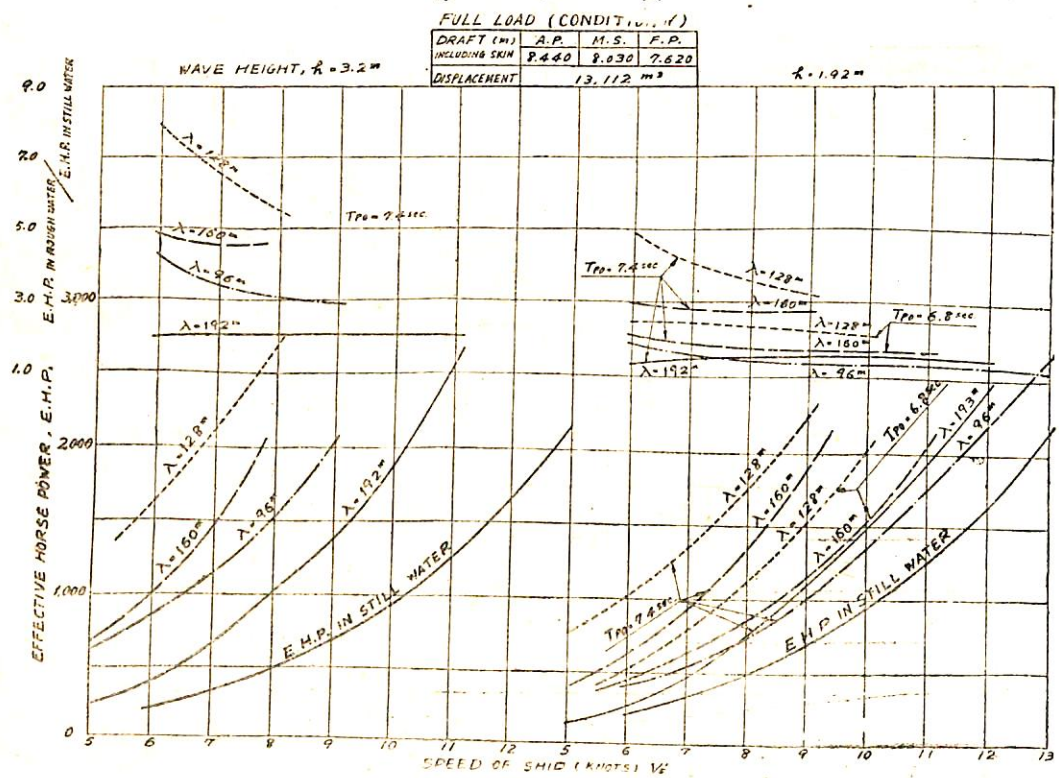
FULL LOAD (CONDITION IV)



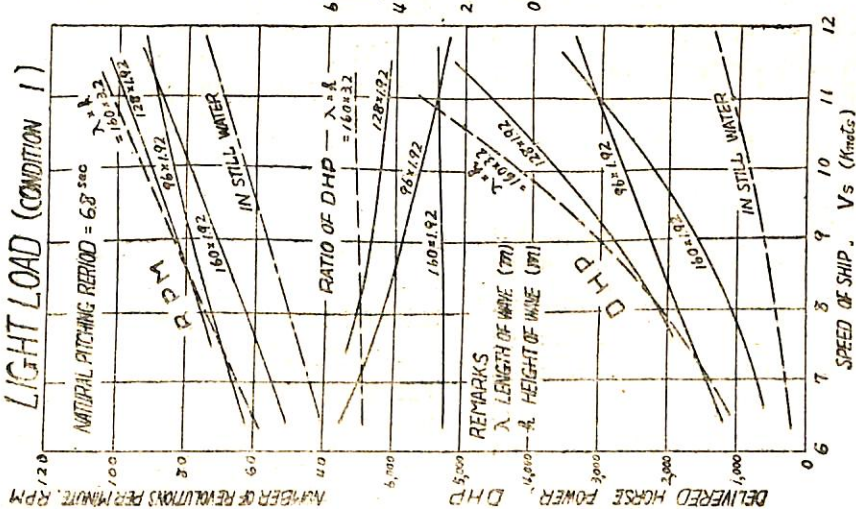
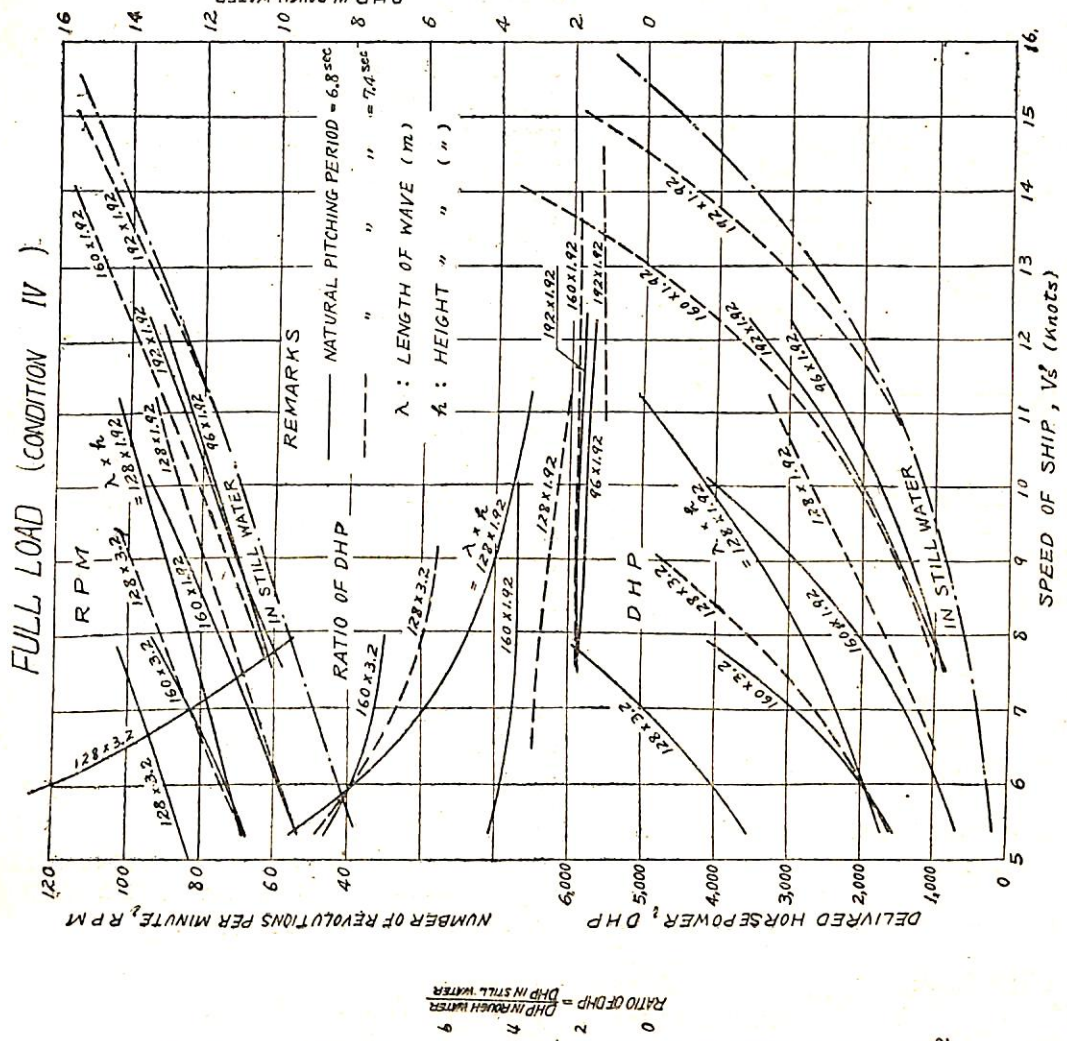
第 2 圖

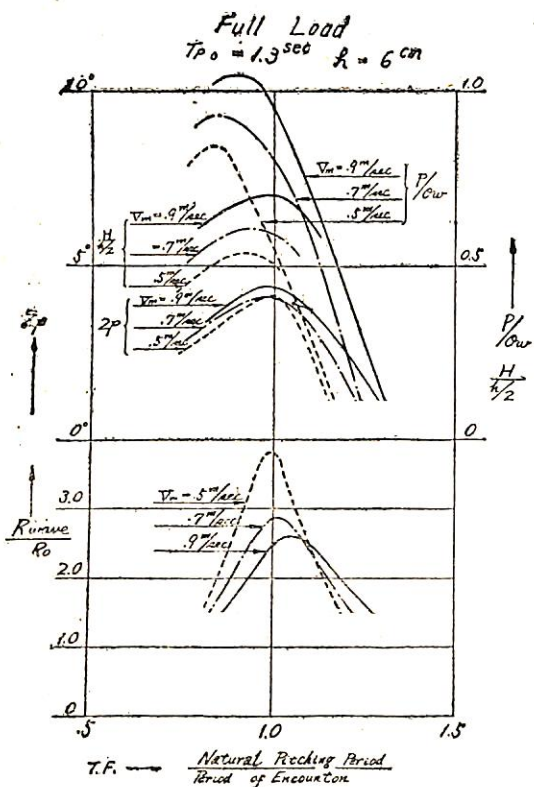


第 3 圖



第 4 圖





第 7 圖

は當然である。この點に關しても將來研究を要する。

#### 固有周期その他について

第1~6圖の結果を調べる参考として固有周期について考えてみる。波浪中の試験の場合に動搖の状況が問題でありその固有周期は大きい意味を持つ。すなわち船と波の出會う周期が船の固有周期と一致すれば同調を起しその動搖ははげしくなる。今回の試験は真正面から波が進行して来る場合についてのみ行われたので横搖は起らないが、縦搖と上下搖は起る。圖では省略したが前後搖も波の位相に従つて起るがこれは固有周期を持たず、その振幅は出會周期の2乗に比例する。

第7圖に同調の様子を知るために一例として満載の場合について横軸に縦搖固有周期と出會周期の比(tuning factor, T.F.)をとり上から縦搖角と波傾斜の比、全上下搖量と波高の比、縦搖角および波浪中の抵抗値と平水中の抵抗値の比を速度毎のクロス曲線で示した。この場合の縦搖と上下搖の固有周期は約1.3秒である。この値は平水中に模型船を浮かべて静止時に搖らせて測定した値である。第7圖で判ることは縦搖角の曲線の hump すなわち縦搖の同調點で抵抗比も hump を示し、縦搖

角と波傾斜の比の曲線の hump は抵抗比の hump より T.F. が少し小さい方向にづれている。上下搖の曲線の hump は大體抵抗比の hump と一致している。また同調點が速度の増加につれて T.F. の大きい方に移動している。すなわち固有周期が速度とともに変化することが分る。なお同調點より小さい T.F. の範囲すなわち波長の長い波では縦搖角および上下搖量は船速の増加につれて増加しているが抵抗比は逆に減少している。すなわち低速船は波浪の影響を受け易く荒海には適當でないことを意味する。

第7圖の場合は縦搖と上下搖の固有周期が一致しているが、一般には必ずしも一致せずそれぞれの同調が別の出會周期で起る。縦搖と上下搖のいづれが抵抗増加により大きい影響をおよぼすかはこの實験では明らかでないが、いづれにせよ船は一般に前後對稱な型ではないから縦搖、および上下搖は單獨には起り得ず、一方が起れば必ず他方が惹起され聯成動搖をしているわけである。波の位相に對して縦搖および上下搖の位相はそれぞの波長または出會周期により異つている。

上記では主として固有周期と出會周期について考えたが、同一出會周期でも波長と船長の關係もまた重要な問題である。一般的にいつて波長が船長より短い波では動搖も少く、抵抗増加も少い。また波長が船長より長い波では前に述べた如く縦搖角は波傾斜に近づき、全上下搖量は波高の0.5~0.6倍に達し、抵抗の増加量も急激に少くなる。船の長さに近い長さの波では動搖も大きく抵抗増加もまた大きい。このような波で同調するような船速であれば更にこれらの値は大きくなる。

#### 實船の航海状態との比較

模型試験の結果と實船試験の結果を比較するに際し、まず海洋波と水槽の人工波の相異を考えねばならぬ。水槽の人工波は規則正しい波であるが、海洋波は種々の波長および波高の波の合成された不規則波である。従つて動搖を考えた場合に、規則的な波に遭遇する時は同調點で明瞭な peak または hump があらわれるが不規則波ではその平均の周期を考えた同調點で peak または hump の大きさは前者の場合より小さく、逆に同調點をずれた處では規則波より大きい。このような相異が抵抗値にもあらわれる。従つて水槽試験の結果から實船の値を推定する場合には修正係数を考えるかまたは試験に際し不規則な海洋波に相應する equivalent wave height といつたものを考える必要がある。これらの點に關しても今後海洋波の不規則性の實體を把握するとともに組織的な實船試験と併行して水槽試験方法を検討しこの研究を推進したいと思う。

# 船 の 運 動 と 波 の 力

丸 尾 孟  
横濱國立大學助教授

船がある一つの地點から他の地點へ旅客あるいは貨物を輸送するには、これら二つの地點を結ぶ直線上を一定速度で直進運動しさえすればそれで事足りる。従つてそれ以外の運動はいわば餘計なものであり、これを出来る限り少くすることが船の任務を能率良く遂行させる所以である。風も波もない鏡のような海面を航海する際には、もし途中に何か航路の妨げとなるような障害物がなければ、上に述べたような最も能率の良い状態が容易に実現されるけれども、現實にはそのようなことはごく稀れで、船はその任務遂行上なんら必要のないような運動を餘儀なくされるのが普通である。船にこのような運動を起させるそもそもの原因としては、自然現象によつて船に加えられる外力がその殆どすべてであるが、そのうちでも海洋波の作用が最も主要なるものである。従つてわれわれが船の運動を研究してこれら不必要的運動を最も少くし、船を能率の最も良い状態におかせるためには、まずその出発點として波の船體におよぼす作用に関する十分なる知識を持つていることが、不可缺の條件であると言つて差し支えないであろう。

船體に加わる波の力に関する最初に組織的な研究を発表したのは「造船學の父」William Froudeその人であった。彼は1861年3月1日英國造船協會第2回大會において、「船の横揺れについて」と題する長大な論文を發表して斯界の注目を集めめたのである。(文献1) 彼はその論文中で船の横揺れを論ずるに先立ち、海洋波の中に浮んでいる物體が静水中に浮んでいる物體と如何なる點において相違しているかを詳細に検討した。水が静止していると、水面上にある水の粒子の持つ作用は重力のみであり、之は鉛直下向きであるから、之に對する反作用として周圍の水が上述の粒子におよぼす力は之と逆向きで鉛直上方に向つて、所が水が運動していると水面の粒子は重力の他に慣性力を生ずるから、その方向は鉛直に對してある傾きを有し、その反作用として周囲の水によつてこの粒子に加えられる力は之と逆向きであつてやはり鉛直に對して同じだけの傾きを持つてゐる。このように水面の粒子に働く合力を考えると、水面上では壓力が一定であることからその作用線は水面に直角であることが容易に結論出来る。以上の事柄は次のような事實によつても理解することが出来よう。たとえば小球を平たい板に載せ、之を横方向に動かした時に小球が板の上で轉がらないようにするためには、板をある角度傾け

てやらなければならぬ。また一杯に水の入つた茶碗を水をこぼさずに横方向に動かすには、茶碗の縁を適當に傾斜させてやらなければならぬ。この茶碗の中の水を波の表面にある水の一部分と考えることも出来るから、これらの實驗は實際の波の面においても行うことが出来るはずである。事實浮きに載せた小球が静水面で平衡状態を保つて静止していれば、どんなに波の傾斜が急になつてもその表面上に浮かんだこのような浮きに載せた小球は移動しないのである。この實驗を行うことは中々難かしいのであるが、Froude 自身は次のような方法で同様のことを確かめた。彼は直径 4 时程の救命浮輪に似たコルク製の浮きの縁に檣を斜に立て、その頂點が丁度浮きの中央の真上に来るようにしてここから小さな鉛錘を吊しその中心が丁度浮きの浮心に一致するようにした。静水面にこの浮きを浮かべると、鉛錘は丁度浮輪の中央に來た。之を造波装置のある水槽に浮かべて波を當てると、浮きは波に従つて傾斜するが鉛錘は依然として中央にあり、之をみている眼からは水面が波で亂されているを信ぜられない程であつたということである。しかし水槽の縁をみれば波の傾斜が 15 度から 20 度位もあるのがわかるので、重錘を吊した縁がこれだけ鉛直から傾いたことになる。同様の實驗を彼は海面でも試みたが、岸邊に近い巻き返つた波の上向きに凹んだ面においてさえも鉛錘はやはり中央にあり、従つて鉛錘がその懸垂點よりも上へ來るのを觀察することが出來た。以上の事實から水面における水の粒子の代りに水面に浮んだ小物體においても前に述べたような力の平衡が成立するということがわかる。Froude は更に船體に比してあまり波長の大きくない場合に對しても考察を進め次のような結論を導いた。静止した水中では水平の層をなした水の部分においては壓力が一定であり、この部分に屬する水の粒子は鉛直上向きの力を受ける。他方波動している水中では壓力一定の層が曲線状をなし、之に屬する水の粒子に加わる力はこの曲線に直角な方向を向いている。そしてこの壓力一定の層は水面に平行であろうとえた。船のように水中に浮んだ物體をその排除した水の塊に置き換えて考えれば、それを構成する一つ一つの粒子は上に述べたように等壓面に直角方向の力を受けるのであるから、もしこの等壓面が水面に平行ならば物體に加わる力の方向は水面に直角であろう。かくて静水中において鉛直が平衡の位置であるとすれば、波の中では鉛直に對して波

面の傾斜に等しいだけ傾いた方向が平衡の位置となり、波浪中の復原力はこの傾いた方向を基準にとる時は、静水中において鉛直方向を基準とした場合と全く同様に論ずることが出来るというのである。水面下の等面が表面に平行であるという點に關しては反対意見があつたので、Froude は翌年之に對する補足を加え、波長 100 呪 波高 10 呪 のトロコイド波に對して計算を行つて幅 40 呪 吃水 15 呪 の船あるいは幅 30 呪 吃水 20 呪 の船が之に浮んでいる時は、之に加わる力の傾きが波の傾斜を 30% 程減じたものに相當するという結果を得た。(文献 2) 之がいわゆる有効波傾斜 (effective wave slope) の概念であつて、今日に至るまで波の中における船の運動を論ずる際の根本假定をなしているものである。

Froude に遅れること 35 年程して、當時聖ペテルスブルグ海軍大學の教授であつた Kriloff は、船の波浪中における縦搖に關する新しい理論を立て 1896 年の英國造船協會の席上で發表した。(文献 3) この理論の中で彼は船體に働く波の力を求めるのに Froude のやつたような直觀的方法によらずして全く數學的な方法を用いたのである。この方法では船體が存在しているにもかかわらず海洋波の運動が亂されることがないという假定の下に、亂されない海洋波の中の壓力を船體表面上に積分して船體に働く力が計算されるものとしたのである。ここに設けられた假定は根本的には Froude のものと同一であり、船の横方向から波の當る場合のように波の大きさに比較して船體が小さい時には、Kriloff の方法で計算した値は Froude の求めたものに一致するのである。以上のような Froude および Kriloff の假定は現在もなおそのまま受け入れられており、船の運動に關する研究において今日なお波の力が以上のようない根本假定の下に計算されているのである。一例を擧げれば 1951 年發表された Weinblum の海洋における船の運動に關する總合的な研究の中で、波の力を求めるのに Kriloff の理論がそのまま採用されているのをみることが出来る。(文献 4)

1924 年末廣博士は造波裝置を有する試験水槽中で小型模型船の横搖實驗を行い、模型船に働く横方向の力の時間的平均が零とならず一定の漂流力を生じている事実を測定した。(文献 5) この力は一般には小さいものであるが同調動搖を起すような時には著しい大きさになるものである。末廣博士はこのよろうな力の原因として舷側における波の反射を考えた、このような波の反射に關して興味ある論文が 1939 年 Kreitner 博士によつて發表された。(文献 6) 彼は從來の理論においては船體表面で波が反射されることより舷側に沿つた波の形が變形する

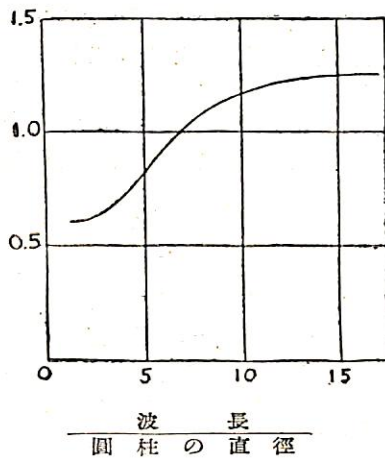
といふ點が見逃されていることを指摘し、この波の變形が船の運動に大きな影響を持つてゐると主張した。例えれば船首を波に向て静止している船を考慮すると、波は船首において左右に分けられ船尾において再び合一する。そのため波の高さが船體前部では増加し後部では減少するのである、このことは静止している物體に波が當る場合にこの物體によつて新たに波が發生し、之がもとの海洋波に合成されるといふ點から説明され、島や大きな船の後方にいわば波の影ともいふべき静かな水面が出来る現象等はその一例である。Kreitner は船首と船尾の入射角および長さと幅の比が一般の船の平均値であるような場合、船首における波の高さは之に當る海洋波の高さの約 4/3 であり、また船首においては之が 2/3 になると結論した。しかしながら以上のような Kreitner の結論はあまり正確な理論的根據に基づくものではないようと思われる。事實末廣博士の測定した横方向の漂流力は波の反射を考えなくとも Kriloff の理論から計算した周期的な力によつても船體の運動を考慮する時は出て来るものであることが、渡邊博士によつて明かにされたのである。(文献 7)

波の反射に關する嚴密な理論を立てたのは英國の物理學者にして船の造波抵抗で有名な Havelock 教授である。1940 年王立科學協會誌の紙上に發表した論文において、彼はまず長さ 16 呪 幅 1.5 呪 の簡単な模型に關しその舷側に沿つた波高を近似的に計算した。(文献 8) 之に當る波の長さが模型の全長に等しい場合に、船首船尾における波高の增加あるいは減少は最高 10% 程度となつた。彼は次いで無限に長い直立した圓柱および拋物線の水線を持つ直立した壁に當る波の運動に對し嚴密な理論を立てた。物體に働く力に關して彼はまず無限に廣い直立した平板に波が當る時、この板の表面に加わる力を求めたのである。高さ  $H$  なる波が  $\alpha$  なる角度で板に當る場合、之に加わる力の時間的平均値は單位幅當り  $1/8 gH^2 \sin \alpha$  となつた。彼は更に前述の直立圓柱に對する同様の値を求めたが、波長が圓柱の直徑に比べて小さければ力の時間的平均値はほぼ  $1/6 gH^2 \alpha$  となることを見出した。但し  $\alpha$  は圓柱の半徑である。この値は圓柱表面の各部分を無限に廣い平板の一部と見做してこれら部分部分に前記の平板に對する値を用い、之を圓柱の前面に亘つて積分して得られる値に等しくなる。この興味ある事實がもし任意の水平斷面を有する柱に對して當てはまるものとすれば、船體表面において波が反射したため生ずる力の上限を求めることが出來よう。Havelock はこの論文において主として力の時間的平均値に對する考察をしており、力の周期的な部分に關しては餘

り深く考へてはいないようである。そのためか彼がその後発表した論文においては船體に働く周期的な力に對して古い Kriloff の計算法を採用している。(文献9) しかしながらわれわれがもし Havelock の直立圓柱に関する結果を仔細に検討する時は、波長が直徑に比して遙に長い場合之に働く周期的な力が亂されない波の中の壓力から計算した値の約2倍にも達することを見出すであろう。

Froude の考え方では波の中に浮んでいる船體が波を構成する水の粒子の集まりで置き換えられるものと假定されており、Kriloff の理論においても全く同様の假定が爲されている。もし船體が全く波のまゝに揺れ動き水の運動が之によつて少しも妨げられないとしたならば、以上の假定は成立するものとみて差支えないであろう。しかしながら船體自身はある大きさを持つており之に相當するだけの水の部分を考えると、之は波の運動とともに絶えず變形するから、船體がこのような水の部分で置き換え得るといふことは今までなく嚴密なものではないのである。加之われわれが船の運動を論じようとする場合に、船の運動が波を構成する水の運動と一致するのは極めて特殊な場合であり、一般には船が波に對して相對運動をするものと考えるのが自然であろう。そうなると波の運動は船體によつて多かれ少かれ亂される譯であつて、水の壓力も亂されない波の中におけるのとは當然異つて来る。船體が波の運動に逆らつて動けば、水の運動が攪亂される反作用として船體の運動を阻止する方向に力が働くので、從來この作用はしばしば能動抵抗 (active resistance) と呼ばれて來た。しかしながらこのような名稱は適當ではないようと思われる。今水中に固定された物體に波が當る場合を考えよう。この物體は當然自由な波の運動に對する障害物となり、物體周囲の水に加速度の變化を生ぜしめる。この加速度の變化に對應して壓力の變化を生じ、そのため物體に働く力は亂されない波の中の力とは異り一般に物體を動かそうとする力が増加するのである。從つてこのような波の運動を亂すために生ずる力は必ずしも船の運動に對する抵抗として働くものではなく、かえつて波の力を増す方向、すなわち物體の運動を更に一段と促進せしめる方向に働くのである。物體が水の運動とともに揺れ動く場合、物體と水との間に相對運動がないから之に働く力は乱されない波の壓力から出て來るものに等しく、それは物體の排除した水の、あるいは物體が水に浮んでいれば物體自身の慣性力、すなわち物體の排除した水あるいは物體自身の質量に物體に當る流れの加速度を乗じたものと釣り合つていることは、既に Froude によつて指摘され

た通りである。所が物體が固定されて静止していると水には更に新たなる加速度が生ずる。それがどのようなものであるかを調べるために、静止した流體中をある加速度で運動する同様の物體を考えよう。物體に働く力にはまず第一に物體自身の慣性に釣り合う部分がある。もし真空中に物體がある場合には、このような力を加えるだけで物體は所要の運動を行うのである。次に物体が流體中で運動するためには周囲の流體に加速度を生ぜしめ、この反作用によつて流體から物體に加えられる力がある。從つて流體中で物體に所要の運動を行わせるためにはさきに述べた物體の慣性に釣り合う力の他にこのような力だけ餘分に加えてやらなければならないのである。このような力は物體の加速度に比例するから、あたかも流體中においては物體の慣性質量が真空中に比して増加したような結果を生ずる。この現象は一般に見掛けの質量効果と呼ばれしており、その増加率は慣性係数と呼ばれるものである。再び波の中に固定された物體を考えれば、もし物體に比べて波の規模が遙かに大きいときは、波による物體のまわりの流速は大體一樣と見做し得るから、物體の近くの流體運動は一様な流れの中に物體が置かれた場合に近くなるであろう。從つて物體によつてこの流れが亂される模様は静止した流體中を物體が同様の速度で運動する場合と同等になる。かくて物體の存在によつて周囲の水に生ずる加速度は静水中を物體が運動する場合のそれと等しくなり、物體に働く力もやはりそれら兩者において同等となる。之をいい換えれば、波の中に固定された物體に働く力が波とともに自由に揺れ動く物體に働く力に比して増加する割合は、波によつて物體の位置に生ずる速度に大きさ等しく方向反対の速度でその物體が静水中を運動する際の慣性係数に等しいということになる。先に述べたように Havelock の直立圓柱に関する結果で波長が十分大きくなると之に働く周期的な力が亂されない波の壓力から計算した値の2倍になるが、之は丁度圓柱の慣性係数1に一致している。筆者は水中に没した軸を水平にした圓柱、球および回轉滑圓體に波が當る際、これらに働く力を計算して、もしも物體の攪亂作用によつて生ずる流體運動におよぼす水面の二次的な影響を考慮しないときは、波長の如何にかかわらず固定された物體に働く力が、亂されない波の中の壓力から計算した値に比して、丁度慣性係数の割合だけ増加するという結果を得た。(文献10) 所が水面の二次的な影響を入れて考えるとその増加率は變化して来る。一例として軸の深度が直徑に等しい水中の没水圓柱に横から波の當る場合に關して計算した結果を圖示したが、ここにみられるように波長によつてかなり變化している。水面に浮



んだ船體のように物體の一部が水面上に現れている場合にはこの影響が一層大きくなるものと考えられるので、上に述べた結論をそのまま當てはめることは出來ないであらう。一部を水面に出して浮んでいる物體に波が當る場合、之に働く力を求めるることは數學上の著しい困難を伴い、このような問題に對する解法が今までに試みられなかつた譯ではないが、具體的な數値例を出し得るまでは至つていよいよ思われる。(文献 11) ただ筆者が沒水體に関する理論に出て来る式を仔細に検討した結果、波長が物體の大きさに比べて十分に大きければ、水面の二次的な影響を考慮に入れても波の力の増加率をそのような波によつて起される強制動搖における慣性係數に等しいと置くことが近似的に許し得るのではないかと考へるのである。この場合の慣性係數は勿論水面の影響を考慮に入れた値であるから、無限に擴がる流體中で普通に定義されたものとは異り、運動の週期によつて變化するものである。

波の力の増加に關して以上述べた他に、物體が一樣な前進速度を持つ影響が Havelock によつて調べられた。(文献 12) 彼は沒水回轉椭圓體について波の運動に一樣な流れを重ね合せ、水面の二次的影響は之を無視して計算を行つたが、進行方向の力は前進速度によつて變化しないが上下および左右方向の力および偶力は前進速度によつて大きな影響を受けるといふ興味ある結果が得られた。

今まで主として波の中に固定されて静止した物體に働く力について調べて來た。しかばん物體が波の力によつて自由に運動する場合はどうなるであらうか。そもそも運動する流體中の壓力變化はその流體部分の加速度に比例するものである。今波の中で物體が運動する時に起る流體の運動を考えるに、この運動は静止している物體に

波が當る時の運動と、静止している流體中で物體が運動している時の運動との合成されたものと見做すことが出来る。従つてこの際に生ずる壓力變化は上記二つの運動における壓力變化を單に加え合せたものに等しいと考えることが出來よう。静水中で周期運動をする物體に働く力は、運動に對する減衰力を考へなければその物體の加速度に比例し、一般にその物體の排除した水の持つ慣性力との比、すなわち前にも述べた慣性係數であらわされる、水中に浮んでいる物體ではその質量が排除した水の質量に等しいから、水に浮んだ質量  $m$  なる物體が  $v$  なる速度で動いている時に水から受ける力は  $-kmv$  と書くことが出来る。ここで  $k$  は慣性係數であり、 $v$  の上の點は時間で一回微分することを示す。一方静止している物體に波が當る場合にその物體の受ける力は、亂されない波の中の壓力から計算した値  $F_0$  よりも大きいことは既に述べた所であるから、之を  $(1+k')F_0$  と書こう。そうすると波の中で物體が運動している際に水から受ける力は  $(1+k')F_0 - kmv$  となる。もしも物體に働く外力が波によるものだけであるとすれば、この物體の運動方程式として次のような式が得られる。

$$m\ddot{r} = (1+k')F_0 - km\dot{r}$$

但し  $r$  は物體の位置をあらわし  $\dot{r} = \dot{r}$  である。この式を書き直して

$$(1+k)m\ddot{r} = (1+k')F_0$$

とすることが出来るが、前に述べたように波の力の増加率が慣性係數に等しいとすれば兩邊を  $1+k$  で割ることが出來て

$$m\ddot{r} = F_0$$

すなわち見掛けの質量および波の増加を考慮しない場合に等しくなり、Froude あるいは Kriloff 理論と一致する。所が運動に對する減衰力あるいは水の静壓に基づく復原力を考慮するときは、運動方程式が

$$m\ddot{r} = (1+k')F_0 - km\ddot{r} - N\dot{r} - Kr$$

となり、 $k = k'$  と假定すれば

$$m\ddot{r} + N\dot{r} / (1+k) + Kr / (1+k) = F_0$$

のよう書き得る。ここで  $N\dot{r}$  は減衰力、 $Kr$  は復原力であるが、上の式ではこれらが見掛け上  $1/(1+k)$  の割合で減少したのと同様の効果を生じている。

William Froude の研究が最初に發表されてから一世紀近くも經過した今日、なお彼の立てた波の力に關する根本假定は波の中の船の動搖を研究する上の基礎となつてゐる。彼の假定は確かに多くの面で合理的であり、その應用の簡便さとあいまつて今までの研究ではそれで十分に事が足りたのであつた。しかしながら實際の航海状態における船の性能の研究が益々重要視されて來た現

在、波浪中の船の運動に関する理論をもう一步前進させるためには、どちらかといえば直觀に基づいた Froude の理論がそろそろ根本的に検討し直される段階に來ているのではないかろうかと筆者は考えるのである。之までいろいろと述べて來た所以もまたこのようない所にあるのである。

#### 参考文献

- 1) W. Froude, On the rolling of ships. T. I. N. A. 1861
- 2) W. Froude, On the rolling of ship. T. I. N. A. 1862
- 3) A. Kriloff, A new theory of the pitching motion of ships on waves, and of the stresses produced by this motion. T. I. N. A. 1896
- 4) G. Weinblum and M. St. Denis, On the motion of ships at sea. T. S. N. A. M. E. 1950
- 5) 末廣恭二, The drift of ships caused by rolling among waves. T. I. N. A. 1924
- 6) J. Kreitner, Heave, pitch and resistance of ships in a seaway. T. I. N. A. 1939
- 7) 渡邊恵弘, Some contributions to the theory of rolling. T. I. N. A. 1938
- 8) T. H. Havelock, The pressure of water waves upon a fixed obstacle. Proceedings of the Royal Society. 1940
- 9) T. H. Havelock, Notes on the theory of heaving and pitching. T. I. N. A. 1945
- 10) 丸尾孟, Force of water waves on an obstacle. 造船協会論文集 第95號
- 11) F. Ursell, On the rolling motion of cylinders in the surface of a fluid. Quart. Journ. of Mech. and Appl. Mech. 1949
- 12) T. H. Havelock, The forces on a submerged body moving under waves. T. I. N. A. 1954

天然社・新刊

上野喜一郎著

#### 船の歴史（第二巻）

A5判 上製 300頁 定價 420圓（送50圓）

#### 内 容

- 1 船の材料
    - 1 木船 2 木鐵交造船 3 鐵船 4 被覆船
    - 5 鋼船 8 コンクリート船 7 輕金属船
  - 2 船の構造
    - 1 船體構造の變遷 2 木船構造の改良 3 鐵銅船構造の發達 4 二重底および水槽 5 船體の構造方式 6 材料の接合 7 特殊構造 8 船體の強さ
  - 3 船の形態
    - 1 船體 2 船首尾 3 上部構造 4 船の形態の變遷
  - 4 船の安全
    - 1 船體の構造 2 満載吃水線 3 水密區畫 4 防火區畫
  - 5 船の大きさ
    - 1 船の大きさ 2 船の積量 3 船の大きさの推移 4 船復の推移
- 附錄 汽船の發達史上有名な船の要目 (1)

**陸上用自動空気圧縮機**

压力・30kg/cm<sup>2</sup> 重量特許366723  
容量・464cm<sup>3</sup> 行程 出願番号393049  
用途・ガゼル機器始動用其の他

**燃玉機関始動用補機**

压力・10kg/cm<sup>2</sup>  
容量・930cm<sup>3</sup> 行程

其他 食堂用重油バーナー補機=最適  
用途

**喜庄業機械株式會社**

本社・工場 埼玉縣川口市本町2-57  
第二工場 埼玉縣川口市並木町1-261  
電話 川口 3400番

# 超大型鮪漁船第二十一黒潮丸の 概要

三菱造船株式會社

本船は最近の鮪漁場遠隔化に伴う漁業能率の低下、漁獲物の鮮度の悪化、乗組員の疲労の増大を防止する爲に日魯漁業株式會社が從來の經驗に鑑み雄大なる構想のもとに計画されたもので、下記要目の示す通りその大きさ並びに設備においてまさに驚異的な鮪漁船である。

本船は今後その卓越した性能をもつて鮪漁業界の新生面を開拓するものと期待されている。

船主 日魯漁業株式會社

建造所 三造船株式會社下關造船所

起工 昭和29年1月16日

進水 ハ 4月23日

竣工 ハ 6月19日

## 1. 船體主要項目

船質 鋼

甲板層數 2

漁業種類 鮪漁船（第二種）または冷蔵運搬船（第三種）

長さ（漁船法） 74.00米

ハ（垂線間） 72.00メートル

幅 (型)	12.50メートル
深さ (ハ)	7.50メートル
満載吃水 (ハ)	5.00メートル
總噸 噸 數	1,858.27噸
公試速力	14.20節
魚船正味容積	1,756.32メートル <sup>3</sup>
燃料油船容積	564.20メートル
清水船容積	178.51メートル
乗組員	132名

## 2. 主機械

臺數 1

型式 2サイクル單動ディーゼル機関

氣筒數 6

氣筒徑×行程 520耗×700耗

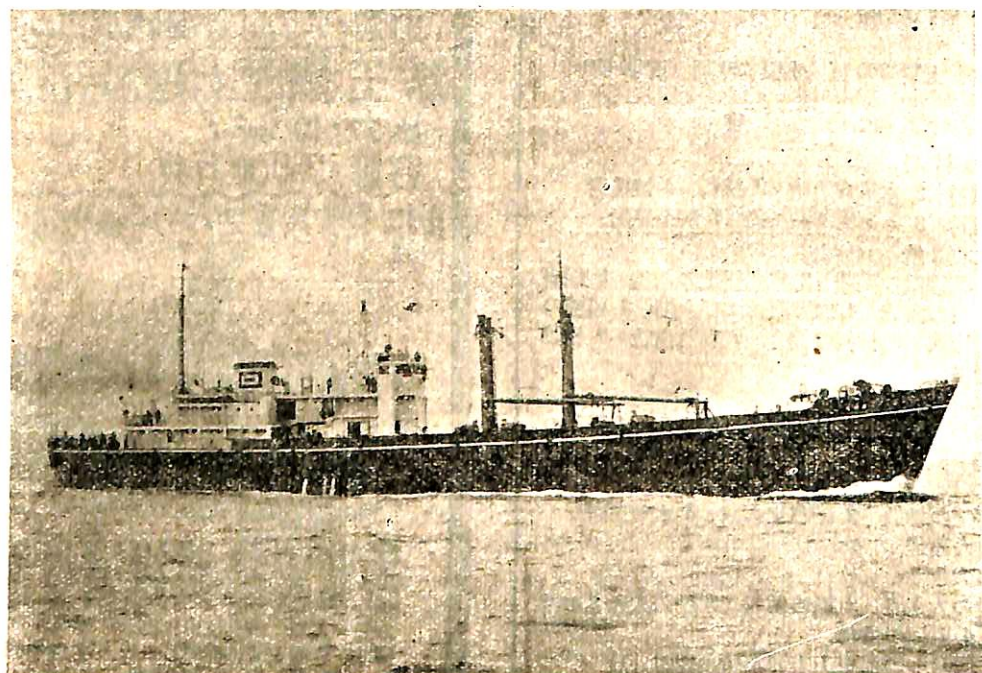
回轉數（每分） 200

定格出力 2,100 B.H.P.

製造所 三菱日本重工横濱造船所

## 3. 発電機械

臺數 3



第二十一黒潮丸

## 原動機

型式 4サイクル單動ディーゼル機関

氣筒數 6

氣筒徑×行程 320 毫×330 毫

回轉數(每分) 500

定格出力 225 B.H.P

製造所 三菱日本重工横濱造船所

## 發電機

型式 半防滴型直流發電機

出力 150 KW

電壓×電流 230 V × 652 A

製造所 神鋼電機

## 4. 甲板機械

揚錨機 40 H.P 電動式

繫船機 20 H.P //

操舵機 10 H.P ジャンネー型電動油壓式

揚貨機(5噸巻) 57 H.P 電動式 3臺

// (3 //) 28 H.P // 1 //

ラインホーラー 10 H.P //

碎氷機 10 H.P // 40 噸/時 1臺

## 5. 漁艇

隻數 6

主要寸法 13.07 米 × 3.40 米 × 1.29 米

主機械 43 B.H.P ディーゼル機関

## 6. 冷藏冷凍設備

アンモニア压缩機

臺數 3

型式 高速多氣筒式

冷却能力 74 冷凍噸

原動機 90 B.H.P 電動機

製造所 三菱電機

魚船冷却方式 鹽カルブライイン冷却

魚船保冷温度 -18°C (海水温度 -30°C)

急速凍結装置

A. フラットタンク式

臺數 4

型式 アメリカ式 8段セント(油壓式)

昇降装置付

## B. 凍結槽

冷媒 食鹽水

凍結槽全容積 74.76 米<sup>3</sup> (6區畫)

## 7. 諸裝置

### 通信裝置

船內電話 磁石式 富士通信  
エンジンテレグラフ セルシン式 東京計器

### 擴聲裝置

計測裝置 50W 日本無線

音響測深儀 1,800米測深 日本電機

風向風測計 コンシンペーン式 光進電機

自記電氣水溫計 抵抗式 理化電機

魚船用溫度計 //

主機回轉計 主機用電氣溫度計 橫河電機

熱電式 //

セルシン式 東京計器

1.5 H.P //

### 航海計器裝置

レーダー レピーター組込式 12時25哩 デッカー

ロラン スペリー式 東京計器

ジャイロコンパス 須式 //

自動操舵機 //

コースレコーダー //

電氣式測程儀 布谷計器

無線方位測定機 可視可聽プラウン管式 大洋無線

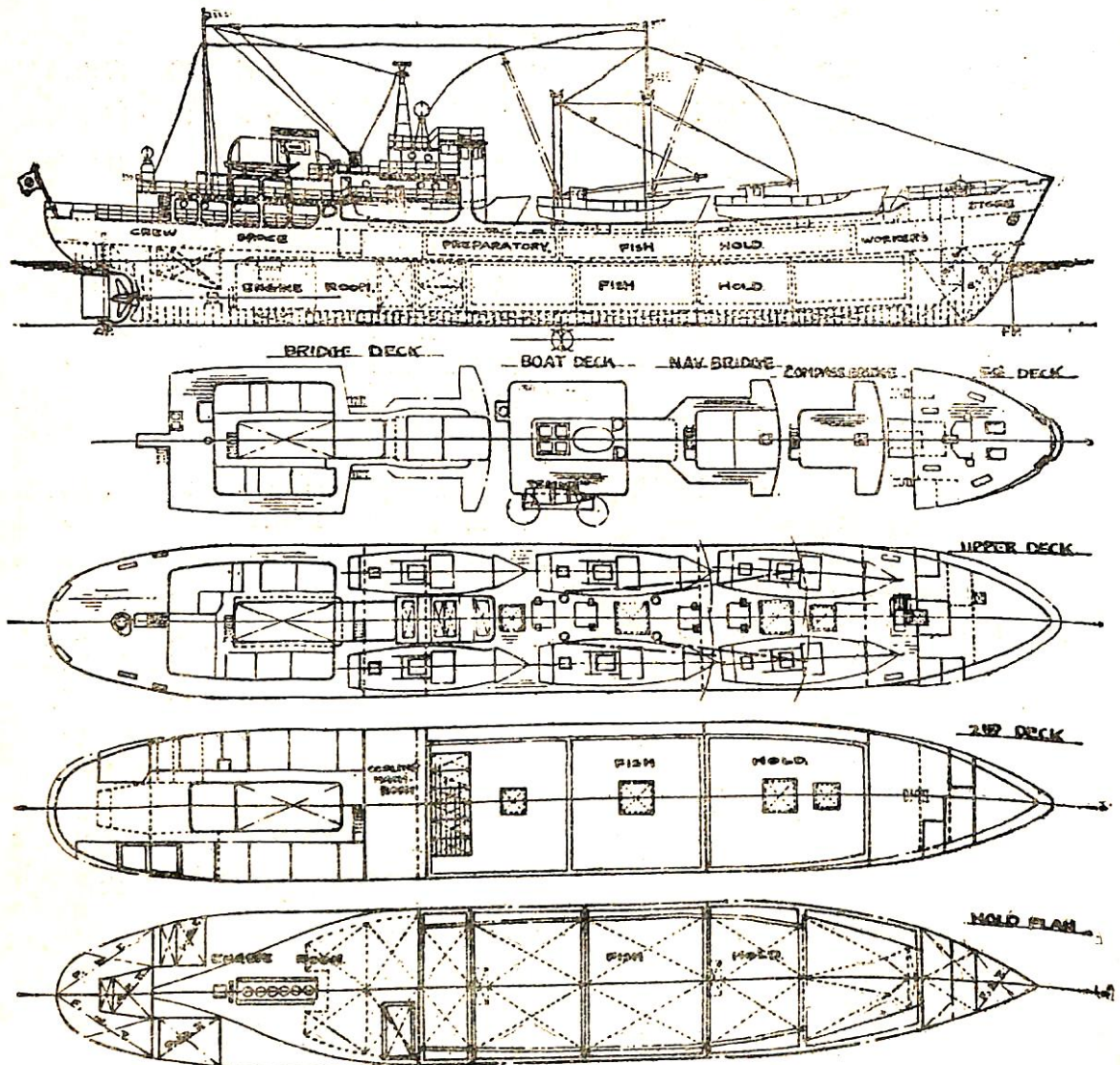
### 無線電信裝置

送信裝置 500W, 250W, 50W 日本無線

受信裝置 長中波, 短波, 全波 //

## 8. 復原性能

輕荷狀態	出漁時(鮪漁業)
排水量(噸)	1,885.83 3,167.33
平均吃水(米)	3.18 4.88
K G(//)	5.19 4.29
G M(//)	0.86 1.17
最大GZ(//)	0.65 0.98
復原範圍(度)	72.7 95.7



第二十一 黒潮丸一般配置圖

## 舶用ヒューズについて(上)

刀禰館正巳  
日本海事協會

## 1. 緒 言

ヒューズは電氣機器並びに電路を過負荷、短絡および接地等による事故より保護するために使用するもつとも簡単な保護装置であるが、簡単なだけに種々の使用状況に對応する完全なものを得ることは極めて困難である。從來わが國で使用されてきたヒューズの性能には、保安上甚だ遺憾な點が多くつたので、日本海事協會では船用として、保證することのできるヒューズを得ることを目的とし、各國のヒューズ規格について研究を初め製造者および使用者側とも、度々協議を重ねた結果昭和26年度に新しい規定を作つて、これを製造に移し、關係者の並々ならぬ苦心を経て漸く本會の認定品として、推奨することのできるものを得られるに至つた。

以下ヒューズに関する一般的な説明、各國規格によるヒューズの特色およびNK新規定のでき上るまでの経過並びに内容について、説明を加えることとする。

## 2. ピニーズの種類

ヒューズの種類を外形並びに使用方法によつて區別するところ次のようになる。

## 1. 外形による種別

これをその外形にて區別すると次の3種になる。

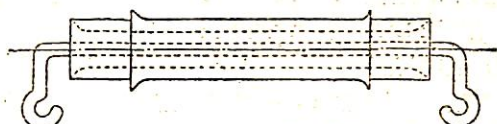
### 1) 開放形

一般に糸ヒューズまたは爪付ヒューズと稱するものがこれに屬し、エレメントが抜け出してなんらの包裝をもたないものである。糸ヒューズはヒューズ線のみより成り、爪付ヒューズは、線または板状のエレメントの両端に接続端子をつけたものである。この種のヒューズはわが國では、陸上で支回路保護に相當使用されておるもので、取付が簡便でかつ安價な得點はあるが、容易に定格の異なるものと取換えられるにおそれあり、かつ溶断の場合融融金属が周邊に飛散し取扱上危険が多いので、外國では殆んど使用されていないようである。

## 2) 半閉形

半閉形ヒューズとは、エレメントがむき出しになつておらずまた容器中に閉ざされてもいい種類のもので、その形態にはいろいろ考えられるが、實用されておる一例を學れば、次圖に示すように中空の籠器製筒の内部にヒューズ線を通したものがある。歐洲方面では古くから船にも相當使用されており、ガスが抜け易いため比較的遮断特性的よいものを得ることができるが、この形も容

易に定格の異なるエレメントと取付けられる缺點あり  
かつ裸ヒューズ程ではないが、遮断に當つて火焰、溶融  
金属または熱いガスを外部に出し、取扱上の危険が少く  
ないのでNK規則では採用しないことにした。LRでは  
今なおこの種類のものの使用を認めておるようである  
が、これは舊くからの慣例によるもので、現行 LR 規  
則のヒューズ構造規定には適合しないように考えられ  
る。



第1圖 半閉筒形ヒューズ

### 3) 全閉形

全閉形とは、全閉容器内にエレメントまたはエレメント保持器が納められておる形式のものである。これには完全密閉のものもあるが、内部に直接貫通しなければ少しばかりのガス抜孔や溶断標示用の孔をもつ程度は差しつかえないとされておる。その代表的な形式として全閉筒形と全閉栓形の2種類がある。全閉筒形とは両端に金属製のキャップをもつた、絶縁物の筒とその内部にエレメントまたは、エレメント保持器を納めた形式のものである。また全閉栓形とはエレメント保持器を内蔵するボジ込式の栓と、これと組合される栓受とより成り帶電部のほかは、一般に磁器が使用されておる。いずれも溶断に際して外部に火を吹きまたは熱いガスを出す等の危険がない、船用としてAB規則ではアンダーライター規格(UW)の全閉筒形を指定しており、歐洲方面では獨逸規格(VDE)の栓形のものが多く使用されておる。わが國では筒形および栓形とも船用として古くから、使用されておりそれぞれの特徴もあるのでNK規則では、この兩者とも標準として採用することにした。

(備考) ここにいうエレメント保持器とはエレメントを単獨で使用する場合よりも、その遮断能力を増大せしめる目的でエレメントを一つの容器内に納めそれ自身を1個のエレメントとして取扱うものである。

### 3. 使用方法による種別

ヒューズを使用方法によつて區別すると次の2種にならる。

### 1) 再用形

重用形とは、エレメントが消滅した場合エレメントま

たはエレメント保持器を取換えることにより、筒または栓を何回も使用できる形式のもので、誠に経済的ではあるが一般に筒形のものでは、異なる定格のエレメントを取り付けたり、または使い古した不完全な筒を使用し、回路保護に支障を來す場合がないとは云えない。AB規則で船に再用形の使用を禁じておるのもこのためである。栓形のものは一般にゲージリングを用いて異なる定格のエレメントを使用することができないようになつておるから、上記の心配は生じない。またJIS新規格案では、栓形ヒューズを非再用形として取扱つておるが、筒形の場合にも栓形と同じ性質をもつエレメント保持器を使用した、再用形のものがあるのでNK規則ではこれを再用形として取扱うこととした。

## 2) 非再用形

非再用形は、筒形ヒューズに多く用いられる形式で、筒とキャップとがセメント、またはリベットで結合されておりエレメントが遮断すると筒もろともに廢品となる種類である、従つて再用形に比べると不経済なわけであるが、その利點とする所は再用形のようにエレメントを誤用される恐れなく、つねに機器および回路を完全に保護しうることにある。AB規則で非再用筒形種類に限定しておるものこのためで、船の安全と取扱の簡便上からみれば、これに越したことはないが、わが國のように資源に乏しく経済上の困難の多い國ではこれを強制できないので、NK規則では再用、非再用の兩形式とも認め重要な回路には、非再用筒形または栓形を用いることを推奨し、その他の回路には安價な再用筒形を使用して差しつかえないことにした。なお、LR規則では再用、非再用の區別はないがタンカー用に限り、内部につめものを使用した全閉形のものを要求しておる。

## 3. ヒューズの定格

各國で使用されておる主なヒューズ規格により、その定格電圧、筒または栓の定格電流、エレメントの定格電流、および遮断電流定格を一覧表として示せば第1表のようになる。この表により各國の規格とNK規則によるヒューズの定格を比較しNKが規則の制定に當つてとつた方針について説明を加えることとする。

### 1) 定格電圧

UWおよびVDEでは、定格電圧に交直の別を設けず、すべて直流にて試験を行い、交流回路にも使用を認めておる。またBSでは直流用には直流電源を用い、交流用には交流電源を用いて試験し、それぞれ別個に取扱い混用してはならないと規定しておる。NKでは交流で試験したものは直流用としては認めないが、直流で試

験したものは同電圧の交流に使用することを認めておる。UWおよびVDEのように交直の別をなくすることが望ましいのであるが、なかには交流専用としてよい特性をもつものがあるので、交直両用のほかに交流専用のものも認めることとした。またBSにだけ100V級のものがあるが、できるだけ品種を減らす目的で115Vおよび230V回路に250V定格のものを用い、450V回路に500V定格のものを用いることとした。

### 2) 筒または栓の電流定格

BSでは、容器の電流定格については規定されていないが、UWおよびVDEでは規定されておりUWで30Aとなつておるもの、VDEでは25Aとなつておるほかは一致しておる。NKでは、UWの規定しておる數値すなわち30, 60, 100および200Aの4通を採用することにした。この数値はまたJIS C 8314およびJIS新規格案とも一致しておる。

### 3) エレメントの電流定格

種々な回路状態に對してこれを完全に保護するためには、エレメントの電流定格の段階は多いに越したことはないが、一方取扱が煩雑になり豫備品も多く要することになるから、できるだけその段階を整理してその缺陷は、適用上の別の面で補うことが望ましい。この段階の數および電流値は各國規格により差異しておるがNKでは、使用上の便を計りUWと同様に3Aから200Aまでを15段階とした。これらの數値はJIS C 8314並びにJIS新規格案とも、ほぼ一致したものである。NKでは負荷の種類により回路導體の大きさを變えることと、電動機の種類によりエレメントの適用を變えることによりすべての場合に回路保護の目的を全くするよう取計つておる。その内容については拙稿「NK規則による船内の回路保護装置について」を參照せられたい。またNKでは前記15種類のほかに計器、標示燈、制御回路等の小電流を通ずる回路保護用として1Aのものも使用を認めておる。

### 4) 遮断電流定格

ヒューズは、これで保護しておる回路に短絡を生じた場合に、安全に回路を遮断する必要がある。この短絡電流の大きさは回路のもつ抵抗およびレアクタンスの大きさによつて異なり、短絡がヒューズの給電側の端子にて生じたものが最大であるからこの場合における推定短絡電流以上の遮断電流定格をもつたヒューズを使用する必要がある。UWでは遮断電流定格を1000A一種類としBSおよびVDEでは數種のものを規定しておる。遮断電流定格の種別もできるだけ少しくUWのように一種に限ることは、使用上望ましいことであるが、遮断電

第1表 各規格におけるヒューズの定格

規格名	定格電圧 (V)	容器の 定格電流 (A)	エレメントの定格電流 (A)	遮断電流定格
B S	D C 115		5, 15, 30, 60	1000
	〃 230			4000
	〃 460			
	A C 250		5, 15, 30, 60, 100, 150, 200	
	〃 440			16000
V D E	500	25	6, 10, 15, 20, 25	
		60	35, 60	5500
		100	80, 100	10000
		200	125, 160, 200	
U W	250	30	(1) 3, 6, 10, 15, 20, 25, 30	
		60	35, 40, 45, 50, 60	
		100	70, 80, 90, 100	10000
		200	110, 125, 150, 175, 200	
N K	AC 250	30	(1) 3, 5, 10, 15, 20, 30	
		60	40, 50, 60	2500
		100	75, 100	5000
		200	125, 150, 175, 200	10000
J I S 新規格 案	D C 125	30	3, 5, 10, 15, 20, 30	1000
		60	50, 60	2500
	A C 125	100	75, 100	5000
		200	125, 150, 200	10000
				20000
J I S C 4314	AC 250	30	3, 5, 10, 15, 20, 30	5000
		60	40, 50, 60	
		100	75, 100	
		200	150, 200	10000

(備考) 1. 各規格とも電流定格は 200A 以下のものについて示すことにした。  
 2. 括弧内の電流定格は計器用ヒューズを示す。

流定格の大きいものをうることは、製作上相當困難を伴い現在のわが國情では高価になるを免れないからこれを數種に分け、それぞれ必要とする、回路に使用するのが當を得た方法である。B S には遮断電流定格 16000A をまた J I S 新規格案では、20000A のような高いものもあるが、船でヒューズを使用する回路には、このような推定短絡電流をもつ場合が殆んどないから N K では、技術上、經濟上の面より考え 2500, 5000 および 10000A の三種に規定した。現行の J I S C 8314 では 60A 以

下のものを 5000A, 60A を超えるものを 10000A と規定しておるが、市販されておるものはこの規定よりは遠かに低く、遮断容量 1000A にも達しないものが多い現状である。

#### 4. ヒューズの寸法

N K 規則による筒形ヒューズの寸法は、A B 規則が採用しておる U W の寸法に近い適當な寸法を選びできるだけ互換性を保たしめることとした。その対照表を示せ

は第2表の通りである。しかしUWによるものはインチ単位(表では対照的便宜上 mmで表わした)であり、NK規則によるものはmm単位であるため完全な互換性を保たしめることはできなかつたが、この二つの異なる規格によるものを豫備品として使用する必要を生ずることは、殆んどなく稀にその必要を生じた場合にも、この程度の相違ならば受金の方に一寸手を加えることにより、使用可能な範囲内にある。なお、このNK標準寸法はJIS新規格案による寸法とも完全な互換性をもつものである。また60A以下のヒューズに對しても双形接觸のものを希望される向もあるが、歐米各國とも60A以下には筒形接觸のものが用いられており、わが國で筒形接觸のものが接觸不良になり易いといふのは構造や材料の不良によるが主な原因は熔断特性の不良による過熱から來るものでNK規則によるものを使用すればその心配は無用と考える。

## 5. ヒューズの材料

### 1. 筒、栓または栓受の材料

筒形ヒューズの筒および栓形ヒューズの栓、栓受等の材料には主として次に示すものが使用されておる。

#### 1) ファイバー

ファイバーは、難燃性をもち安價でかつ入手しやすい關係上、わが國および米國では、ヒューズ筒の材料としても最も廣く使用されておる。そのうち赤ファイバーは、機械的強度やネジ切り加工に不充分な點があるので、遮断容量の低いものまたは内部につめたものを施した非再用形に多く用いられ、再用形に對しては、一般につめたものを用いないため遮断に際して生ずる内壓に耐えうるよう、機械的強度の大きいホーンファイバーが選ばれておる。

#### 2) 磁 器

歐洲方面では、ヒューズの筒、栓および栓受に磁器が使用されておる場合が多い、これは船級規則で不燃性、

第2表 筒形ヒューズの寸法

形番	定格電流 (A)	ヒューズの寸法 (mm)						
		A	B	C	D	E	F	G
1 形	30	50±1.0 (50.8±0.8)	13 (13.5)	13 (12.7)	15±0.2 (14.3±0.15)			
	60	75±1.0 (76.2±0.8)	19 (19.8)	16 (15.9)	20±0.2 (20.6±0.2)			
	100	150±1.5 (149.2±1.6)		25 (25.4)		3.2±0.08 (3.2±0.08)	20±0.5 (19±0.9)	15 (15.1)
	200	180±1.5 (181±1.6)		35 (35)		4.5±0.08 (4.8±0.08)	30±0.5 (28.6±0.9)	21 (21.4)
2 形	30	127±1.0 (127.8±0.8)	19 (19.8)	13 (12.7)	20±0.2 (20.6±0.2)			
	60	140±1.0 (134.7±0.8)	26 (26.2)	16 (15.9)	27±0.2 (27±0.2)			
	100	200±1.5 (200±1.6)		25 (25.4)		3.2±0.08 (3.2±0.08)	20±0.5 (19±0.9)	18 (18.3)
	200	245±1.5 (244.5±1.6)		35 (35)		4.5±0.08 (4.8±0.08)	30±0.5 (28.6±0.9)	25 (25)

(備考) 括弧内寸法はUW規格のものを示す。

非吸湿性の材料を強要されておる關係でファイバーの使用は認められていない。磁器は上記の特性のほか耐熱性にも優れておるが、變形並びに破損しやすい缺點があるので、遮断の場合の内壓および衝撃に耐えうるよう、硬質でかつ肉厚のものを選ばなければならない。また磁器のように熱の吸収率が高く、傳導率の悪いものはファイバー等の場合に比し、高温度となるを免れない關係上、一般に許容温度上昇が高くとられておるから取扱上注意を必要とする。

### 3) ガラス

ガラスも不燃性材料の一種でヒューズの筒に用いられることがあるが、この場合にも磁器の場合と同様遮断の内壓および衝撃に耐えるよう、硬質の特殊ガラスを使用する必要がある。ガラスは透明体であるため、溶断表示には便利な點はあるが、エレメントを適當に遮蔽しないと遮断の際強烈な閃光を發するおそれあり、また磁器に比して耐熱性が弱い缺點がある。

### 4) ベイクライト

わが國ではベイクライト製のものも市場品にあり、外観はよいが可燃性材料であるから事故の生じた場合に危険で、船用としては推奨できない。

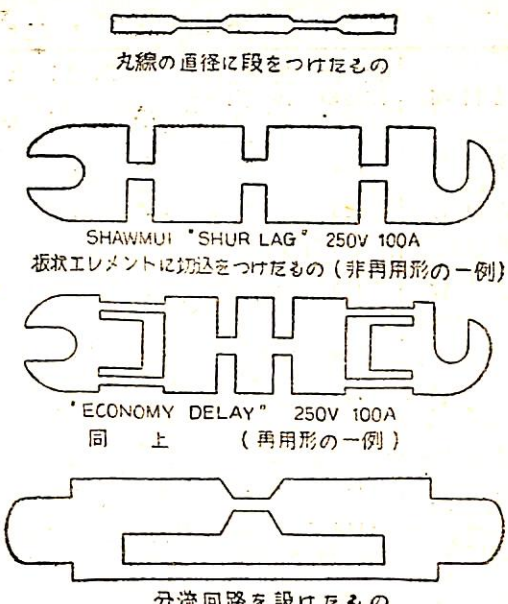
### 2. エレメントの材料

エレメントの材料としては、錫、鉛、亜鉛、アルミニウム、銀、銅、またはその合金が使用されておる、これらの金屬のもつ主要な特性を示すと第3表の通りである。

上記の材料のうちいづれがエレメントの材料としてもつとも優れておるかを決めることは、種々の條件が入り亂れておつて、簡単に決めることはできないがエレメントの材料として望ましいことは溶融點が低いこと、ガスの発生量が少いこと、酸化等品質の劣化が少いこと、丈夫で傷がつきにくいこと、および材料の入手が容易でかつ價格が低廉なこと、導電率のよいことなどである。

### 3. エレメントの形状

一般に使用されておるエレメントの形状は丸線または



第2圖 エレメントの形狀の例

帶狀の板より成り第2圖に示すようなものがある。

### 4. つめもの

ヒューズの遮断容量を増加するため、エレメントの周囲につめものを使用することが多い。つめ物はエレメントの材料によつて適當なものを選ぶことが必要である。今實用されておる二、三の品種を示すと次のようなものがある。

珪砂——このものは主としてヒューズが遮断する場合の消火の作用をするもので、高温度に耐えるから銀や銅等の溶融温度の高いエレメントに使用するのに適當である。珪砂の中には種々不純物を含むものが多く加熱されたとき有害なガスを出す恐れもあるから品質のよいものを選ぶことが必要で、石英は使用中化學的變化を殆んどけないのでつとも適當しておる。

その他に炭酸石灰、硫酸バリウム、硫酸カルシウム等が用いられ、あるものは高熱にて消火性のガスを發生

第3表 エレメントの材 料 の 性 質

金 屬 名	溶 融 點 (°C)	溶 融 熱 量 (g-cal/g)	沸 膜 點 (°C)	蒸 發 熱 量 (g-cal/g)	導 電 率 銅 = 100	モ ー 一 硬 度
錫	232	13.4	2260	655	14.8	1.8
鉛	327	5.6	1620	221	8.1	1.5
亜 鉛	419	25.5	907	363	27.7	2.5
アルミニウム	657	87.0	1800	2000	64.3	2.9
銀	961	25.9	1950	552	104.2	2.7
銅	1084	41.6	2300	1750	100	3.0

第4表 ヒューズの温度上昇限度

規格名	電流定格の%	周温(°C)	温度上昇限度(°C)						備考
			端子	接觸部	キャップ	刃	筒	栓、栓受	
B S	100	25	46	55	—	—	55+a	—	端子は栓形に適用する
V D E	100	35	—	85	—	—	—	—	
U W	110	18/32	—	—	50	100A迄 50 200Aは 60	50	70	
N K	110	10/32	50	—	50	60	不燃性 60 その他 50	70	端子は栓形に適用する
J I S 新規格案	110	10/30	60	—	—	70	65	70	
J I S C 8314	115	—	最高温度上昇 70°C 以下						

し、あるものはエレメントの溶断にて発生するガスを吸収化合し、その内圧を減ずる役目をする。

つめものは一般に粒状のものが使用されその粒子の大きさは短絡電流に對しては、比較的影響が少いが過電流に對しては著しい影響があり、大きすぎても小さすぎてもよくないようで、それぞれの場合に應じて實驗的に定める外はない。

### 6. ヒューズの温度上昇

ヒューズ各部の温度上昇限度を各國規格について比較すると第4表のようになる。

本表で UW, NK J I S 新規格案で試験電流を 110% にとつたことは使用中の電源電圧の變動および低率の過負荷等を考慮したためであつて、特に UW および NK では次節に述べる通り連續通電電流を 110% にとつておるので温度試験と同時に連續通電試験も行は便宜が含まれておる、また筒栓および栓受材料として磁器等の不燃性材料を使用するときは、ファイバー等の場合に比し、熱の吸収性が大きいので若干温度上昇限度を大きくとる必要を生ずるのである。

### 7. ヒューズの溶断特性

ヒューズに連續通電しても溶断しない電流および過電流を通じた場合ある時間内に溶断する特性について、各國規格を比較すると次のようになる。

#### 1. BS 規格による溶断特性

L R 規則が採用しておる B S 規格ではヒューズの溶断率を次の3種に區別し、5表に示す時間内に溶断しなければならないことになつておる。この試験には温度試

第5表

種別	溶断率 = $\frac{\text{最小溶断電流}}{\text{電流定格電流}}$	ヒューズの電流定格(A)	最小溶断電流の通電時間(時)
P種	$1.25 = \frac{125}{100}$	5	1.5
		15	2.0
		30	2.5
		60	3.0
		100, 150	4.0
Q種	$1.75 = \frac{175}{100}$	200	4.5
		5	0.75
R種	$2.00 = \frac{200}{100}$	15	1.0
		30	1.25
		60	1.5
半閉	$2.00 = \frac{200}{100}$	100, 150	2.0
		200	2.5

験の場合における温度測定方法に関する條件以外の各條件が適用される。またこれらの種別の用途は次の通りである。

(P種) 比較的僅少の過電流の持続に對しても、回路を保護する必要的ある場合に使用する。例えは電燈、電熱回路等

(Q種) 比較的僅少の過電流に對しては、回路保護の必要はないが、それより大きい過電流に對しては保護の必要ある場合に使用する。例えは電動機回路

(R種) 上記以外の特殊用途に使用するもの

なお、この規格では連續通電しうる電流値に對しては數値を示さず製造所が連續通電してもヒューズに劣化を生ずることのないことを保證できる最小溶断電流以下の數値を指定することになつておる。

この規格の溶断特性によれば負荷の種類によつて、そ

第 6 表

ヒューズの定格電流(A)	試験時間(時)	定格電流の倍数	
		試験時間内に溶断しなければならない	試験時間内に溶断してはならない
6未満	1	2.1	1.5
6—10	〃	1.9	〃
15—25	〃	1.75	1.4
35—60	〃	1.6	1.3
80—200	2	〃	〃

それぞれ異つた特性をもつヒューズを使用せねばならず、また連續通電できる電流容量も製造所によつて差異しておるので、適用が甚だしく煩雑になるを免れない。

## 2. VDE 規格による溶断特性

VDE 規格によるとその溶断特性には第6表に示すような規定がある。

またヒューズに定格電流の2.5倍、3倍および4倍を通じた場合第7表に示す時間内に溶断しなければならないことになつておる。なおこの試験には、次の條件が適用される。

(1) 直流電源を使用し定格電圧の1.1倍を加えて行うこと。

(2) 試験は、ヒューズを常温の状態より初めること。

この規定は、栓形ヒューズに適用されるものであるがNK規則による栓形ヒューズの溶断特性は筒形ヒューズの特性と一致させておるので、ここに示す規格値とは著しく相違するものである。

## 3. UW 規格、NK 規則および JIS および新規格案による溶断特性

UW、NK および JIS 新規格案による溶断特性は互に似通つた點があるので、比較の便宜上第8表に一括して示すこととした。

また連續通電しうる電流について UW および NK が定格電流の110%と規定しておるのに對して JIS 新規格案では125%をとつておる。なおこの表に見るよろ UW、NK で溶断試験電流135%となつておる所を JIS 新規格案では150%に規定しておる。JIS 新規格案の審議には NK も参加し、なるべく船用と陸用の規格統一につとめたにかかわらず、上記のような相違を見るに到つた理由は、現行の JISC 8314 に規定する特性が次項に示すように NK 規定との間に著しい相違があり、これをもとに作られた現行の配電關係の法規並びに工事規定に急激な變化を加えることは、困難な事情があるので已むを得ず中間的數値を採用するに到つたのである。一方 NK 規定を JIS 新規格案に近づけることは AB 協會との關係および NK 規則のケーブルの安全電流を始め、配電關係規定に著しい影響を生じ船の艤装上不安全、かつ不利となるのでこれまた實現不可能であつた。

## 4. JISC 8314 の溶断特性

JISC 8314 すなわち、わが國で陸用として現在使用されておる、ヒューズの溶断特性は次の通りである。

- (1) 定格電流の140%を通電しても溶断しないこと。
- (2) 次の電流を急に通じたとき溶断すること。

第 7 表

ヒューズの定格電流(A)	遮断に要する時間の限界(秒)						
	定格電流の2.5倍		定格電流の3倍		定格電流の4倍		
	最 小	最 大	最 小	最 大	最 小	最 大	
6	0.2	7	0.08	1.6	0.02	0.3	
10	0.3	8.5	0.12	2.2	0.04	0.55	
15	0.35	9	0.14	2.5	0.05	0.55	
20	0.35	10	0.15	2.8	0.07	0.8	
25	0.6	12	0.25	3.5	0.1	1.1	
35	1.0	16	0.4	5.6	0.13	1.4	
46	1.2	19.5	0.49	6.6	0.16	1.7	
60	1.5	24	0.6	8	0.2	2.0	
80	2.5	34	—	—	0.25	2.5	
100	3.0	40	—	—	0.30	3.0	
125	4.0	46	—	—	0.40	4.0	
160	5.0	55	—	—	0.50	4.5	
200	6.5	65	—	—	0.55	5.0	

(857 頁へつづく)

# 第7回國際船舶流體力學會議の議題について

## — 3 —

### 議題3—推進器の比較空洞試験（つづき）

#### 附錄第5號

##### 模型推進器の單獨試験

Dr. R. W. L. Gawn

1. 1951年會議の第1(b)項において採擇されたすべての模型推進器についての船型水槽における單獨試験が完成した。この目的は一般に空洞水槽壁影響修正を含む空洞水槽試験の結果との比較に對する資料を求めるためである。

2. 各模型は直徑に等しい推進器中心までの深度で試験された。

第1系の4模型、すなわちそれぞれ直徑が9時、12時、15時および18時のものが Haslar の第2船型水槽で試験された。

第2系の4模型、すなわちそれぞれ直徑が8時、12時、16時および18時のものが Carderock において試験された。

直徑が12時の第3系模型が Gothenburg において試験された。

なお第1系の3大型模型および第3系の模型が Wageningen において試験されることになつてゐる。この結果は本報告書を作成するときにはまだ利用することができるにいたつていないが、試験が完了次第提示されることになつてゐる。

3. この試験結果は添附の9圖（いすれも省略）において普通の係数形式で置點されている。

4. 一般に推進諸係数は各試験速度における各模型に對し同一である。わずかのばらつきはあるが、これは著しくなく、恐く試験の精度の範囲内にあると思われる。第2系の8時模型に對する諸係数はこれより大きい模型に對するものに比べて小さい。試験のレイノルツ數は比較的大きく、かつ廣い範囲、すなわち  $34 \times 10^6 \sim 3 \times 10^7$  によんでいる。船型水槽における試験は、レイノルツ數の變化の影響が比較的わずかであるという空洞水槽試験からの推論を裏書きするらしい。

5. 空洞水槽壁干渉および水速修正についての試験結果は附錄第7號において討議されている。

#### 試験結果の総合

模 型	前 進 係 数			$J=0.80$	前 進 係 数			$J=1.05$
	推 力 係 数 $K_T$	回 転 力 率 係 数 $K_Q$	効 率 %		推 力 係 数 $K_T$	回 転 力 率 係 数 $K_Q$	効 率 %	
第1系 Haslar								
9 時	0.301	0.0641	0.598	0.170	0.0403	0.705		
12 時	0.305	0.0637	0.610	0.1705	0.0397	0.717		
15 時	0.3015	0.0663	0.580	0.1725	0.04115	0.700		
18 時	0.305	0.0650	0.598	0.1775	0.0415	0.714		
第2系 Carderock								
8 時	0.175	0.0331	0.673	0.069	0.0169	0.682		
12 時	0.183	0.0342	0.681	0.078	0.0179	0.728		
16 時	0.189	0.0353	0.682	0.079	0.01835	0.719		
18 時	0.188	0.0354	0.676	0.0805	0.0186	0.724		
第3系 Gothenburg								
12 時	0.007	0.0051	0.175	—	—	—		

## 附錄第6號

### 模型推進器の容差および表面仕上

Mr. K. G. Evans

本附錄の第1部は9箇の模型推進器の詳細な測定結果を、また第2部は直徑12吋の3箇の模型の表面仕上の記録を示すものである（第1および2部とも省略）。

一般にこれらの結果は高水準の容差および滑度を示している。

測定結果は大多數の推進器に對しつぎの容差の範囲内にあつた。但し最小模型、すなわち直徑8吋のものは満足すべきものでなかつた。

平均螺距  $\pm \frac{1}{4}\%$

局部螺距  $\pm \frac{1}{2}\%$

厚さ 内方半径において  $\pm 10/1000$  吋  
外方半径において  $\pm 5/1000$  吋

表面の波状の最大2重振幅は1箇の推進器に對し  $240 \times 10^{-6}$  吋であつたが、他の2箇の推進器に對してはこのないしらべであつた。各推進器のすべての翼についての測定が終つてないが、表面仕上容差は不出来の推進器が  $50 \times 10^{-6}$  吋で、他の2箇の推進器は精度がさらにずっと高い。

## 附錄第7號

### 試験結果の表現法

Prof. L. C. Burrill

現在まで各空洞水槽における測定結果の比較は  $J$  の一定値において行われている。空洞水槽壁干渉もしくは測定誤差に基く速度誤差によつて  $K_T$  および  $K_Q$  の比較定誤差は基線  $J$  に沿うて移動する。基線  $J/J_0$  (但し  $J_0$  は推力が発生しない場合の  $J$  の値) 上で測定結果を比較する可能性について考慮された。 $J$  上の  $K_T$  曲線には  $J = 1.15$  附近において不連續があるらしく、また  $J = 1.2$  および 1.4 の間の短い曲線が、推力がほとんど発生しないときの測定の困難なこととともに、測定結果を一般的に比較する場合に基準として使用される  $J_0$  の値を十分に正確に求めることを困難にする。

このようなわけで理論的空洞水槽壁干渉修正の適用が考慮され、閉鎖噴射型空洞水槽に對し Wood および Harris の水路速度修正に對應してキャビティション数に修正を施さなければならないことになる。空洞現象が發生している状態に對しては、推進器圓の面積と空洞水槽測定截面の面積との比が同一の場合における各空洞水槽の試験結果だけが直接比較することができる。

(例えば N.P.L. における直徑9吋の推進器、A.E.W. における12吋、K.M.W. における15吋、およびK.C.D. における18吋)、空洞水槽試験結果を比較し、また空洞水槽試験結果を船型水槽における單獨試験に適用するためには各結果を修正しなければならない。キャビティション数に對するこの修正を無視しているために、現在實船および空洞水槽に對する結果を比較するにあたり多くの考慮を必要とするらしい。

### 空洞水槽壁干渉

空洞水槽内で作動している模型推進器は截面を通過する均一流を變化させる。この場合空洞水槽壁が存在するために水流の變化が制限される。この制限が British Aeronautical Research Committee R & M 662において Wood および Harris によつて導かれた水路速度修正中に考慮されている。空洞水槽内の均一速度  $V$ 、すなわち螺旋よりはるか前方における速度に對應して、螺旋圓における速度  $u$  が空洞水槽と船型水槽とに對し同一となるような船型水槽における等価速度  $V_1$  が考えられる。この速度修正は螺旋全圓にわたる一様の軸速度を假定し、また簡単な運動量理論を延長することによつて求められる。

この修正を空洞水槽に適用するにあたり壓力状態も修正する必要がある。水路速度修正係数  $1/\lambda$  は  $V = \lambda V_1$  によつて定義され、また單獨試験状態に對する運動量式は  $T = 2A\rho u(u - V_1)$  である。但し  $A$  は推進器圓の面積を表わす。キャビティション数  $\sigma$  は單獨状態に對し  $(p_0 - e)/\frac{1}{2}V_1^2$  によつて定義され、 $V_1$  は推進器よりはるか前方における速度、また  $p_0$  は同じく壓力である。螺旋圓に接近すると速度は増加し、壓力は低下して、螺旋において 壓力  $= p_0 - \frac{1}{2}\rho(u^2 - V_1^2)$  となる。

空洞水槽においても、螺旋圓における速度が  $u$  で、また壓力も單獨状態と同一でなければならず、

$$p_0 - \frac{1}{2}\rho(u^2 - V_1^2) \quad \text{に等しい。}$$

空洞水槽螺旋よりはるか前方の位置において速度は  $V$  であり、従つて壓力は

$$\begin{aligned} p_0 - \frac{1}{2}\rho(u^2 - V_1^2) + \frac{1}{2}\rho(u^2 - V^2) \\ = p_0 - \frac{1}{2}\rho(V^2 - V_1^2) \end{aligned}$$

でなければならず、また

$$\sigma = \frac{p_0 - e}{\frac{1}{2}V_1^2}$$

である。

國際協力試験に對して、空洞水槽におけるキャビティ

ション数は  $\sigma = (p - e) / \frac{1}{2} V^2$  として定義され、また空洞水槽圧力は  $p - e = \sigma \left( \frac{1}{2} \rho V^2 \right)$  のように選ばれている。

この定義による空洞水槽圧力はつぎの値だけ高い。すなわち

$$\begin{aligned}\delta p &= p - \left\{ p_0 - \frac{1}{2} \rho (V^2 - V_1^2) \right\} \\ &= \sigma \frac{1}{2} \rho V^2 - \frac{1}{2} \rho V_1^2 + \frac{1}{2} \rho (V^2 - V_1^2) \\ &= \frac{1}{2} \rho V^2 \left( \sigma - \frac{\sigma}{\lambda^2} + 1 - \frac{1}{\lambda^2} \right) \\ &= \frac{1}{2} \rho V^2 (\sigma + 1) \left( 1 - \frac{1}{\lambda^2} \right)\end{aligned}$$

また空洞水槽  $\sigma$  はつぎの値だけ高い。すなわち

$$\delta \sigma = (\sigma + 1) \left( 1 - \frac{1}{\lambda^2} \right)$$

(例)

$$\frac{1}{\lambda} = 0.975 \quad \text{および} \quad \sigma = 1.0$$

に對し

$$\delta \sigma = (1 + 1) (1 - 0.95) = 0.1$$

従つて空洞水槽圧力が  $\sigma = 1.0$  となるように調整されれば、この状態は船型水槽の単獨試験状態における  $\sigma = 1.1$  に相當する。

#### 修正の適用

實際問題として Wood および Harris 修正を適用する場合にいくつかの困難がある。多くの空洞水槽において推進器の前方の測定截面における速度は絶對均一ではなく、有効空洞水槽截面積は實際の面積より小さい。圓形截面より矩形截面の方が有効面積の減少が恐らく著しいであろう。このようなわけで第 1 の困難は測定截面の有効面積を決めることである。

螺旋圓を通過する速度は均一でなく、また空洞現象の発生状態では流れが均質でない。假想の状態から相異しているこれら 2 點が修正の妥當性に影響をおよぼすことになり、もし 1 もしくは 2 種の簡単な非均一速度分布のあれば有益と思われるが、空洞水槽場合を研究するのであれば單獨試験状態を現出させよう。實驗において實船における單獨試験状態を表現すべきことを提案するならば、大きさおよび荷重は速度修正がわずか(0%)とするならば、大きさおよび荷重は速度修正が(0~3%)であるように選ばなければならず、この場合修正における 20% の誤差は最終結果において餘り重要でない。従つて速度、効率およびキャビティション数に均一速度修正を施して試験結果を表現すべきことを提案する。

次表は空洞現象が発生しない状態における第 1 系推進器の試験結果を示すものである。N.P.L., A.E.W., K.M.W., および K.C.D. 空洞水槽における大氣壓試験

結果と、 $K_T = 0.25$  に對する單獨試験結果が與えられており、主要な比較はこの値において行われた。N.S.P. 試験結果を含ませるために、 $\sigma = 1.0$  において空洞現象が発生していない  $K_T = 0.18$  において別の比較を行つた。A.E.W. 空洞水槽試験結果と區別するために、Haslar には「單獨試験」と添記してある。2 箇の開放噴射型空洞水槽における試験結果が表中に含まれているが、これには修正を施してない。

測定における誤差、寸法影響、および空洞水槽亂れによつて起り得る相異を考慮することなしに、試験結果を論議することはできないが、速度修正を施すと試験結果が單獨試験結果と接近して来るし、また空洞水槽の有効大きさに對して修正を施すとさらによく一致するようになるであろう。

つぎに空洞現象が発生している場合の試験結果を考えてみると、速度および水路速度修正における誤差による著しい混亂なしに比較することのできるものは曲線の最大だけである。試験結果を修正キャビティション数上に置點した。これらの結果は單獨試験結果と比較することができます。今後の實驗において、模型單獨實驗の範囲内で空洞現象を起す推進器の選定に考慮が拂われなければならない。

表中に掲げられてある値は公表曲線からとつもので、従つて正確なものではない。この附錄は最終的の表現を與えるというよりはむしろ比較方法を論議するのがその目的である。

水路速度修正が大氣壓試験結果に  
およぼす響影を示す表

機 關 名	速 度 呪/秒	$K_T$	10K_Q	J	水路速度修正 係數	$J'$
9 尺直徑、第 1 系推進器						
Haslar (單獨試験)	9, 12	0.250	0.544	0.893	1.00	0.893
N.P.L.	13.5	"	0.558	0.927	0.972	0.902
A.E.W.	13.5	"	0.601	0.924	0.983	0.909
"	18.0	"	0.605	0.929	0.983	0.914
K.M.W.	13.5, 18, 24	"	0.548	0.890	0.989	0.880
12 尺直徑、第 1 系推進器						
Haslar (單獨試験)	11.5, 13.5	0.250	0.536	0.900	1.00	0.900
A.E.W.	13.5, 18, 24	"	0.575	0.937	0.971	0.911
K.M.W.	13.5	"	0.558	0.880	0.980	0.862
"	18.0	"	0.567	0.873	0.980	0.855
K.C.D.	18.0	"	0.546	0.928	0.987	0.916
M.I.T.(開放 噴射型)	18.0	"	0.557	0.890	—	—

	24.0	〃	0.562	0.887	—	—
T.M.B.(開放噴射型)	18.0	〃	0.550	0.917	—	—
15吋直徑, 第1系推進器						
Haslar (單獨試驗)	12, 18	0.250	0.562	0.896	1.00	0.896
K.C.D.	18	〃	0.545	0.936	0.980	0.917
18吋直徑, 第1系推進器						
Haslar (單獨試驗)	12, 18	0.250	0.550	0.902	1.00	0.902
K.C.D.	18	〃	0.531	0.953	0.972	0.926
9吋直徑						
Haslar (單獨試驗)	12	0.180	0.420	1.030	1.00	1.030
N.S.P.	24	〃	0.445	1.025	0.995	1.020
12吋直徑						
Haslar (單獨試驗)	18	0.180	0.415	1.030	1.00	1.030
K.C.D.	18	〃	0.425	1.046	0.992	1.038
N.S.P.	24	〃	0.425	1.050	0.991	1.041
15吋直徑						
Haslas (單獨試驗)	18	0.180	0.429	1.032	1.00	1.030
K.C.D.	18	〃	0.416	1.063	0.987	1.050
N.S.P.	24	〃	0.437	1.054	0.987	1.042
18吋直徑						
Haslar (單獨試驗)	18	0.180	0.421	1.044	1.00	1.044
K.C.D.	18	〃	0.418	1.065	0.982	1.046
N.S.P.	24	〃	0.443	1.056	0.981	1.036

#### 附錄第8號

##### 水の空氣含有量の測定

Mr. W. D. Wallace

##### 結 論

水に溶解している空氣の量を測定するのに現在3種の主要な方法がある。化學的方法のうち Winkler 法が最も成績良好で、比較空洞試験を行ふにあたり空氣含有量を測定する標準方法として第5回國際船型研究所長會議において採擇された。全空氣含有量を求めるのに Winkler 法が必ずしも確實ではないとの見地から、できるかぎり他の方法との比較が行われるようになつた。他の方法といふのは Van Slyke および連續讀取式電解法などの物理的方法である。

多年 Winkler 法は空氣含有量の標準検出法として採用されて來たが、近頃この方法による結果を Van Slyke 裝置によるものと比較する機會があつた。この結果、溶

解空氣の酸素100分率が一定でなく、全空氣含有量を直接に測定する方法が必要であることがわかつた。

##### Winkler 法

Winkler の化學的方法によつて水中の酸素溶解量がわかる。溶解酸素は化學的に遊離され、沃度鹽での滴定によつて測定される。Haslar の A. E. W. において採用されている方法が添附 Sheet 1(省略)に記載されている。

2鹽化マンガンの代りに、もつと安定な化合物で、從つて貯藏しやすい硫酸マンガンを使用する方法が勧められている。

この方法は手つとりばやく、しかもほとんど熟練を要しない。このようにして求めた酸素含有量の精度は空洞水槽試験に對し十分であるが、この方法には、酸素と空氣とに對する飽和度が等しいと假定することによつてはじめて全空氣含有量が求められるという根本的な不利が存在する。酸素、窒素および2酸化炭素の飽和比率を参考文献1からとるのが普通である。酸素および窒素の成分は大氣における1對4に比べて飽和水においてはほぼ1對2の容積比であるから、空氣が抽氣された水中に漏れると飽和比を亂す惧がある。

空洞水槽における溶解酸素、窒素および2酸化炭素の精密な比率に影響をおよぼす因子としてこのほかに固體核、水中の藻および細菌、および空洞水槽壁の金屬および塗装の徐々の酸化がある。

##### Van Slyke 法

空氣含有量を求める物理的方法にあつては、低壓下において試料を沸騰させるか、あるいは攪拌するかによつて溶解空氣を遊離させ、容積測定もしくは壓力測定によつて計測される。Van Slyke 法では低壓下において水を機械的に攪拌し、遊離空氣が、一定量に壓縮されて、その壓力を壓力計で求めて測定される。

A. E. W. においては標準 Van Slyke 装置にいくらか改良を施した。この装置の略圖と測定注意書とを Sheet 2 および3(ともに省略)に示してある。

この操作にはいくらか熟練を必要とし、また十分な精度を確保するためには高度の清潔を必要とする。

##### 空洞水槽の操作

Haslar の A. E. W. の空洞水槽における水の抽氣は現在毎日實驗開始前に、溶解空氣を真空中に追い出して行つている。氣槽の壓力が水銀柱1吋までに減ぜられ、模型推進器は普通の前進回轉で運轉され、また空洞水流は逆流される。毎日の實驗の開始および終了にあたり空氣含有量試料を空洞水槽の下脇からとる。もし試験する模型推進器が翼面積の小さいものであるならば、廣幅

翼の模型が、抽氣促進のために、一時的に代用される。模型推進器の取換は上層からわずか1時だけ排水して行うことができる。空洞水槽の完全な排水は平均して3ヶ月の間隔で行われている。

#### Winkler と Van Slyke との結果の比較

合衆国でも、スエーデンでも酸素の比率が飽和度によつて減少することがわかっている。参考文献2に報告されている試験結果が Sheet 4 (省略) に示されており、これは Haslar の A.E.W. における1週間にわたる試験結果の典型的實例を示すものである。

全空氣含有量中における酸素の比率が Winkler および Van Slyke 試験結果から求められている。Sheet 4 にこれが、Van Slyke 空氣含有量および参考文献1に與えられている温度に對する飽和空氣含有量から求めた空氣範囲の基線上に置點されている。

毎日の抽氣が終つて、Van Slyke 法により測定した Haslar における空氣含有量は  $a/a_s = 0.20$  の程度である。これが日中増加して  $a/a_s = 0.30 \sim 0.40$  までに達する。全空氣含有量の對應酸素100分率が、33%の飽和比率に對し、10%から20%に上昇する。酸素の比率の増加は大氣の毎日の吸收に一致し、酸素と窒素との含有量における毎日の増加は約1對4の割合である。翌朝の抽氣の結果は、空洞水槽がその間に大氣に連絡されなければ、同一全空氣含有量に對する酸素がいくらか高い。

このようにして、飽和水の最初の抽氣において酸素含有量は激減され、酸素100分率は全空氣含有量のわずかに10%にまでなるらしい。この不飽和状態になつた水への漏れおよびその抽氣のために、その後は酸素含有量が幾分増加する。

#### 結論

不飽和水中の溶解空氣の割合が突飛ではないが、比較的複雑な様相を呈するので、空氣含有量を求める Winkler 法が十分信頼することができなくなる。

以前には飽和比  $a/a_s = 0.06$  に等しいとみなされた標準酸素含有量  $0.40 \text{ cc/litre}$  が實際においては飽和比  $a/a_s = 0.20$  にあてはまることがわかる。

#### 参考文献

1. "On the coefficients of absorption of the atmospheric gases in distilled water and sea water." Part 1. Nitrogen and Oxygen. Publication de Circonference 41 (1907) : Ch. J. J. Fox.
2. Sixth International Conference of Ship Tank Superintendents, Cavitation Committee. Minutes of Third Meeting.

#### 諸題 7 — 抵抗および推進資料の表現 Captain H. E. Saunders

##### 委 托事 項

抵抗および推進資料の表現に関する國際委員會は1951年の Washington における第6回國際會議の結論に基いて組織された。本委員會への委 托事項は 1951 年議事録の第16頁に記載されてある常置委員會の報告書中の一般的陳述、すなわち

「すべての技術委員會の委 托事項は會議の最近會合の結論および勧告によつて各議題に對し決められたもの」

を除いてはなんら特別の委 托事項がなかつた。

この議題についての發言に對する出發點として、またこれに關する討議の基礎として、抵抗および推進資料の表現に關する 1951 年の第6回國際會議の結論を列記すればつぎの通りである。

1) 會議は、もし抵抗および推進資料を表現する適切な方法が求められるならば、會員がすべての公刊物においてこれを使用することを採擇している。

2) Society of Naval Architects and Marine Engineers によつてその Project H-2 において發展された表現様式は抵抗資料の表現に對する適當な基礎と思われる。すべての模型試験機關がその試験結果をこの様式で表現することを提言する。

3) 資料を表現する場合に使用すべき長さ、すなわち標準 400 吋もしくは他の船の長さの採用について明かに一致がない。Project H-2 において決められた長さが使用されることを勧める。この長さと違つているときは、實際に使用したものを見明しなければならない。

4) 船體副部を取扱う場合には、どんな副部が模型に取附けられたか、またどうやつて副部抵抗を實船に引延ばしたかについて精密に記述する必要がある。

5) 亂れ促進方法について詳細に記述されなければならない。もし人工的乱れあるなしで模型が試験されれば、兩資料とも示されなければならない。

6) 抵抗および速度測定の様式における模型試験の完全な原資料が、温度、水槽の寸法、ならびに模型の材料および仕上についての詳細とともに、示されなければならない。

7) 比較目的のために、會議は (1) および (2) 常數が同一、もしくはほとんど同一の排水量の種々の船體形狀の優劣を決めるのに適當な基礎であるとの意見である。

8) この議題についての 1935 年の Paris および 1948 年の London 會議の結論および勧告を再検討する時期

に達した。Project H-2 中の解説がこの再検討に對する適切な基礎をなしている。

9) 會議は、自航模型試験についての 1935 年の Paris 會議の勧告に、試験が對應實船自航推進點で行われなければならないという勧告とともに、一般的に同意している。表現している詳細な状態がすべての場合に述べられなければならない。

10) 會議は、臨時委員會によつて提案された記號表を、すべての公刊物に使用するための暫定的國際標準として認めることに同意している。

これらの結論が後段において詳細に討議される。これらは、本會議のために、抵抗および推進資料の表現に關する國際委員會によつて提出される提案によつて補足される。

#### 表現の標準方法の適用範囲

前述の結論において特に述べられていないが、記號の場合を除いて、會議の會員によつて採用されるべき標準化され、また均一化された方法は公刊物だけに適用され、試験依頼者のために作成される報告書とか、會員機關の内部活動とかには適用されないというのが Washington 會議の考え方である。

#### 抵抗および推進資料を表現する承認された方法

Washington 會議において、Society of Naval Architects and Marine Engineers によつてその流體力學委員會の Project H-2 の 1 部として刊行されている「模型抵抗資料および實船抵抗資料」圖表が關心の對象となつた。1951 年以後、現在簡単に「抵抗資料」もしくは RD 圖表とよばれているこれらの圖表は有益な資料が追加修正された。線圖が非常に擴大された。現在この線圖には船首尾外形、分離正面線圖および船體副部が詳細に載せられている。會議の會員が疑いもなくよく知つてゐる第 101~150 號圖表はこの形式によるものである。第 114 號が代表的のものであるこれらの圖表は New York の Society of Naval Architects and Marine Engineers で求められる。

これらの圖表に添附するために協會の Project H-2 Panel によつて作成された 1949 年の解説の改訂が完成され、協會から 1953 年 7 月發刊の Technical and Research Bulletin 1-13 として公刊された。

本文に添附する Fig. 1, 2, および 3 (いずれも省略) は TMB 模型 4505 に對する改訂 SNAME RD 圖表 3 枚である。表現様式になにか新しいことがあるためではなく、1951 年會議以後に作成された新しい「推進器資料および自航試験資料」圖表の補足として、これらがここに示されたのである。後者はそれぞれ SNAME PD

および SPD 圖表として著名である。

Fig. 4, 5, および 6 (いずれも省略) は EMB 模型推進器 2294 に對する PD 圖表 3 枚である。不幸にしてこの推進器は變壓水洞において試験されなかつたので、空洞性能資料を缺いてゐる。この推進器の圖が普通の形で PD 圖表の裏側に示される計畫であり、EMB 模型推進器 2294 に對するこの圖面についての特別の注意書が載せられる。

Fig. 7, 8, および 9 (いずれも省略) は EMB 模型推進器 2294 によつて推進航走する TMB 模型 4505 に對する SPD 圖表の 3 枚である。この圖表の裏側には、もし完成すれば、船尾輪廓、推進器孔、推進器後方のコントラ・スケッグ舵支えの詳細、およびコントラ舵の圖が掲載されよう。曳引模型、模型推進器、ならびに推進器と船體尾部との組合せの略圖を作成するための注意書が改訂解説中に掲げられてゐる。Fig. 9 は曳引模型と試験された模型推進器によつて表わされる實船設計に対する實物推定値を曲線によつて示したものである。

比較目的に使用された Taylor 有効馬力が Taylor によつて使用された Tideman 摩擦値よりむしろ Schoenherr 摩擦式を基にして計算されたために、1951 年の會議において SNAME 「實船抵抗資料」圖表に對し異議が起つた。TMB 所員の M. Gertler が Taylor Standard Series の資料を再計算した結果を示す圖が 1954 年中に刊行される予定であるが、これではすべての Schoenherr 摩擦係数が使用されている。こうなれば、模型にも、實船にも Schoenherr 係数が使用されている同一の基礎において Taylor と比較することができる。

SNAME の「實船抵抗資料」圖表が、適當な標準長の船に對し、つぎのものをすべて含んでゐる。すなわち

- ⑩ の基線上の ⑩
- $V/V_L$  もしくは  $T_q$  (Taylor 係數) の基線上の  $R_R/A$
- $V/V_L$  および  $V/V_g L$  の基線上の  $C_T$  および  $C_R$
- $V$  の基線上の  $P_E$  (EHP)

イギリスの Teddington にある National Physical Laboratory の船舶研究部は、その水槽で行つたトロール船模型の試験に基いて、SNAME RD 圖表を作成した。Society of Naval Architects and Marine Engineers は、模型試験機関がその模型に對して同様の圖表を作成しようと希望するならば、これを援助するためには有益な資料を喜んで提供するといつてゐる。

## 資料を表現する場合に使用すべき實船および模型の長さ

模型の正確な長さおよびこれが表わす實船の對應長さに關しては、1953年7月刊行の SNAME Technical and Research Bulletin 1-13に掲載されているProject H-2に對する改訂解説の第6頁からのつぎの轉載がよくこれを示している。かつて内は本報告者が挿入したものである。

「形狀に關する係數の計算に使用される模型の長さ(L)，一般にこの寸法は多螺旋船の模型にあつては水線における長さ，また單螺旋船にあつては垂線間の長さに相當し，この LBP (すなわち LPP) は船首材の前面から舵柱の後面，もしくは舵頭材の中心線までの水線の長さである，もしこれらのいづれとも異なる長さが模型の寸法を表わすのに適當であると考えられる場合には，圖表の裏側に載せられた外形圖にこの長さを明記する。」

400呎の標準長さ，もしくは「實船抵抗資料」圖表に對する他の値については，改訂解説が第17頁につぎのようにいつている。

「一般にすべての模型試験結果は比較目的のために400呎の實船の長さに換算される。模型が表わしている設計の長さが400呎と著しく違つてゐる場合には，抵抗試験結果がもつと適當な標準長さに換算される。一般にこの標準長さは曳船，トロール船，その他の小型船に對しては100呎，客船，その他の大型船に對しては1000呎である。」

### 船體副部：表示および記述ならびに抵抗推定法

第101號から始まる改訂 SNAME RD 圖表は，試験にあたつて模型に取附けられた船體副部の主要な形狀を表わす寸法入りの圖とともに，副部を明確に表示している。これらの略圖は寸法が大きく，最初の100圖表におけるよりずっと完全である。新 SPD 圖表 すなわち Fig. 7 は自航試験に對する對應資料を表示している。

現在これらの SNAME Project H-2 圖表のどれにも，船體副部抵抗を實船に換算した正確な方法を記述する項目がない。「表示されたすべての船體副部の抵抗は模型抵抗の1部として測定された」というような，P D および SPD 圖表における適當な注意書がこれを實現するための適切な手段と思われる。

### 亂れ促進

Project H-2 に對する参考解説は 亂れ促進について特別の記述を要求している。

「乱れが促進されたかどうか：もし促進されたならば採用方法の記述」

これは方法を詳細に記述するのではなく，たとえ RD 圖表の裏側にストラット，トリフ・ワイヤー，もしくは他の裝置の略圖を載せる必要が起るにしても，簡単な記述でよい。

SNAME RD 圖表はその體裁において促進のあるなしで行われた模型の原試験資料を表わすのに適當でないが，これはそれぞれの状態に對する測定點の數が圖表の收容することができる最大數の半分に制限されれば行うことができる。實際においてこれは SNAME RD 圖表 145 および 146 において行われている。全比抵抗係数  $10^6 G$  の2曲線がこの目的のために裏側に置點されている。

### 完全な原模型試験資料

適當に記入された SNAME RD および SPD 圖表は模型の記述 水の報告，および原試験資料についてのすべての必要な資料を提供するものと信ずる。SPD 圖表は，すでに抵抗資料が RD 圖表に與えられている模型に對してだけ作成される計畫であり，また後者において述べられている模型仕上がり前者にもあてはまると考えてよい。

### 船型の優劣の尺度

前述の表現法は標準船長に換算された各模型に對する①および②常數を與える。これは同一型の船，もしくは同一運航要求を満足するように設計された船に對するほとんど同一の排水量にあてはまる。

### 資料表現に關する 1935年および 1948年の決議の再検討

恐らく容易に處理される些細な點を除き，Society of Naval Architects and Marine Engineers によって發展され，1953年の解説に述べられている一般表現計畫が，1935年の Paris 會議および1948年の London 會議において行われた試験資料の表現についての決議を現在まで繼續させている。

### 實船點における自航試験

實船點で自航模型試験が行われるのが多くの水槽の標準方法で，現在の SNAME SPD 圖表においても當然これが採用されている。國際會議はこの方法を明確に述べることを希望するばかりでなく，この點についてもつと明白にすることを希望している。しかし特定の方法の詳細な記述に對しこの種の簡明な綜合圖表には餘積がほとんどない。

### 記號，術語，および定義

1951年 Washington 會議において「すべての刊行物用の暫定的國際標準として」承認された記號がこの會議の議事録の第13～15頁にアルハベット順に表示されて

いる。しかし、すべての会員国における急速な、しかも正確な理解のために、抵抗、推進、および関係資料を一様の形式で表現することは、種々の術語などが適切に、しかも注意深く定義されて始めて可能となるのである。これは、1948年12月発刊の「船舶設計における流体力学」と題する書籍の第1巻の附録1においてもともと提案された「記号、略語、関係、術語、および定義」において試みられた。1953年3月の「船舶設計に適用される流体力学関係術語の暫定案」と題するこれらの術語および定義の改訂が1953年5月に American Towing Tank Conference によって承認同意された。その印刷物は廣く配布された。第7回国際船舶流体力学會議の会員が希望するならば、これを参考に利用することができよう。

SNAME の形式は十分に細別されているが、ある機関がいくらか違つた比、係数、パラメーターなどを使用したいときには合理的な修正が加えられる。

#### 換算模型抵抗資料

Senor Acevedo が1951年 Washington 會議においてこの議題についての同氏の解説の第IV章(第191~195頁)において詳細に説明したように、模型試験資料を換算し、またその推定性能を比較するのに、もしいつも使用されるならば、十分信頼することができるものと認められているいくつかの方法がある。これらの方法のうちどれもあらゆる場合に對して適當であるとはみなすことができず、またあらゆる模型試験機関、あらゆる造船家、またこれらの資料のあらゆる利用者にとって適當であると認められているものがないことは、ずっと以前か

ら各方面において考えられていた。このようなわけで換算抵抗資料は SNAME RD 圖表においていくつかの違つた方法で掲載されている。従つて換算模型抵抗資料に對する唯一の標準表現法を求めることも、勧めることも、比較のために使用されようと、なかろうと、望めないと信じられている。

1951年 Washington 會議において、換算模型抵抗資料に餘裕をつけるかどうかについて、多くの討議が行われた。すべての換算を比較基礎上におく1方法は資料を換算し、また報告する場合にあらゆる餘裕を除くことである。これができないならば、それぞれの場合に使用された摩擦算式および粗度修正を示す SNAME RD および SPD 圖表における方法に従つて、この餘裕がそれぞれの場合に明確に報告されなければならない。

#### 提 案

換算および表現法についてはつきりした勧告をする代りに、委員会は、会員および会員機關が改訂新SNAME 形式および1953年解説 によつて1以上の資料圖表を作成してみることを提案する。これらの圖表を作成することには一定の體裁による表現ならびに換算方法が含まれている。この作成にあたつての實際の経験が、その變更および改善を勧告し、最善の表現および換算方法を國際的に承認するようになるためのよい基礎であると信ずる。

これらの圖表に對して選ばれる模型は實際船を表わすものであり、しかも特に就航および試運轉成績に對する信頼するに足る合理的な資料が存在するものであることが望ましい。

(849頁よりつづく)

第 8 表

規格名	定格電流の百分率(%)	溶断しなければならない最大時間(分)			
		30A 以下	31~ 60A	61~ 100A	101~ 200A
UW, NK	135	60	60	120	120
J I S新案	150				
U W K J I S新案	200	2	4	6	8

定格電流 30A 以下のもの

定格電流の 190%

#### 定格電流 40A 以上のもの

##### 定格電流の 180%

この規格によるヒューズは 140% 以下の過電流を保護することができないのみならず、最小溶断電流が規定されていないから 150% 以上の電流が通じても溶断とは限らない。なお、その上温度試験が 115% に行われておるから上記のような過電流が通じた場合には、接続導體の温度が異状に上昇することになり、このような性能をもつヒューズを使用することは、保安上極めて危険であるといふことができる。

# 推計學の現場技術への應用 (5)

増 淀 興 一

## 10. 要因分析(その2)

要因分析の最も簡単な場合については前節に述べたが、要因分析は實際上利用される機會が非常に多く、しかも相當複雑なケースになることが比較的多いので本節では更にもつと複雑な例についての説明を行う。要因分析の考え方については前節においてかなりの紙數をさいて説明を行つたから、ここでは運算法に主眼を置いて述べる。まず例題を掲げる。

### 例題 6

鋼材の切欠脆性に関する實驗において、A, B, C, D 4種の鋼材についてその各々の鋼塊を 13mm および 23mm に壓延し、そのいずれの場合に對しても、鋼塊の頭部および底部より試験片を採取し、合計  $4 \times 2 \times 2 = 16$  條件について衝撃試験を行い、遷移温度を求めた所第10・1表の如き結果を得た。これより鋼材の遷移温度に及ぼす鋼材の材質、壓延板厚、および鋼塊での位置の差を検討せよ。

第10.1表 鋼材の遷移温度 ( $^{\circ}\text{C}$ ) における材質、板厚および試験片採取位置の影響

材 料	板 厚	13mm		23mm	
		採取位置 bottom	top	bottom	top
A	-17	-9	-14	0	
B	-14	2	-13	4	
C	4	8	6	12	
D	-8	2	7	11	

この實驗では鋼材の材質、壓延板厚、試験片採取位置の3要因が結果に影響を與えている。この構造は材質 A, B, C, D をそれぞれ  $M_1, M_2, M_3, M_4$ , 板厚 13mm, 23mm をそれぞれ  $t_1, t_2$ , bottom および top をそれぞれ  $P_1, P_2$  として第10.2表の如くに書き表わして見るとはつきりしてくる。また材質 M, 板厚 t, 試験片採取位置 P の影響は第10.2表の補助表で更に明瞭になる。すなわち補助表を見れば材質については  $M_1, M_2, M_3, M_4$  の順に大體の傾向としては遷移温度が高くなつておらず、 $t_2$ (23mm) および  $P_2$ (top) はそれぞれ  $t_1$ (13mm) および  $P_1$ (bottom) よりも遷移温度が高い。しかしこれはあくまでも大體の傾向であつて原表を見ても分る通り實驗結果はある程度バラついており、いつもこういえるかどうかはつきりしない。この問題の求めている主眼點がかかるバラつきを考慮に入れた上でこれら3要因が如何

第10.2表 計 算 法

〔原表〕

	$t_1$		$t_2$		和
	$P_1$	$P_2$	$P_1$	$P_2$	
$M_1$	-17	-9	-14	0	-40
$M_2$	-14	2	-13	4	-21
$M_3$	4	8	6	12	30
$M_4$	-8	2	7	11	12
和	-35	3	-14	27	-19

〔補助表〕

$k=2$	$t_1$	$t_2$	
$M_1$	-26	-14	-40
$M_2$	-12	-9	-21
$M_3$	12	18	30
$M_4$	-6	18	12
	-32	13	-19

$k=2$	$P_1$	$P_2$	
$M_1$	-31	-9	-40
$M_2$	-27	6	-21
$M_3$	10	20	30
$M_4$	-1	13	12
	-49	30	-19

$k=4$	$P_1$	$P_2$	
$t_1$	-35	3	-32
$t_2$	-14	27	13
	-49	30	-19

〔分散〕

$$\text{C.F.} = (-19)^2 / 16 = 22.6$$

$$\begin{aligned} S_T &= (-17)^2 + (-14)^2 + 4^2 + (-8)^2 + (-9)^2 + \dots \\ &\dots + 12^2 + 11^2 - \text{C.F.} = 1426.4 \end{aligned}$$

$$S_M = \{(-40)^2 + (-21)^2 + 30^2 + 12^2\} / 4 - \text{C.F.} = 748.7$$

$$S_t = \{(-32)^2 + 13^2\} / 8 - \text{C.F.} = 126.5$$

$$S_P = \{(-49)^2 + 30^2\} / 8 - \text{C.F.} = 390.0$$

$$\begin{aligned} S_{Mt} &= \{(-26)^2 + (-12)^2 + \dots + 18^2 + 18^2\} / 2 - \text{C.F.} \\ &= 939.7 \end{aligned}$$

$$\begin{aligned} S_{MP} &= \{(-31)^2 + (-27)^2 + \dots + 20^2 + 13^2\} / 2 - \text{C.F.} \\ &= 1215.9 \end{aligned}$$

$$S_{Pt} = \{(-35)^2 + (-14)^2 + 3^2 + 27^2\} / 4 - C.F. = 517.2$$

$$S_{M \times t} = S_M - (S_M + S_t) = 64.7$$

$$S_{M \times P} = S_{MP} - (S_M + S_P) = 77.2$$

$$S_{P \times t} = S_{Pt} - (S_P + S_t) = 0.7$$

(分析結果)

要 因	S S	f	V	F
主効果	M	748.7	3	249.8
	t	126.5	1	126.5
	P	390.0	1	390.0
交互作用	M × t	64.7	3	21.5
	M × P	77.2	3	25.8
	P × t	0.7	1	0.7
誤差項	M × P × t	18.6	3	6.2
T	1,426.4	15		

$$F_3^1(0.05) = 10.13 \quad F_3^3(0.05) = 9.28$$

$$F_3^1(0.01) = 34.12 \quad F_3^3(0.01) = 29.46$$

なる影響を持つものであるかを調査せよということであることは最早説明を要しないであろう。

この解析は第10.2表の(分散)以下に示してあるような方法で実施する。

すなわち實測値を鋼材、壓延板厚、採取位置によつて決定される部分、これら3者の交互作用による部分および誤差變動による部分の和で表わされると考えておく。このことは i 番目の鋼材 ( $i=1 \sim 4$ )、j 番目の板厚 ( $j=1, 2$ )、1 番目の採取位置 ( $l=1, 2$ ) に對する實測値  $x_{ijl}$  が次式で表わされることを示している。

$$x_{ijl} = I_{i00} + I_{i0j} + I_{i0l} + I_{ij0} + I_{ijl} + I_{j0l} + Z_{ijl}$$

ここで  $I_{i00}$ ,  $I_{i0j}$ ,  $I_{i0l}$  はそれぞれ鋼材、壓延板厚、および採取位置の單獨の効果、すなわち主効果を表わすものである。一方  $I_{ij0}$ ,  $I_{ijl}$ ,  $I_{j0l}$  はそれぞれ鋼材と壓延板

厚、壓延板厚と採取位置、採取位置と鋼材との間の相乗あるいは相殺効果、すなわち交互作用を示すものである。 $Z_{ijl}$  は變動を示すもので、例によつてその構造は次の如くであると考える。

$$Z_{ijl} = N(m, \sigma^2)$$

以下これらの要因に關しての變動を求め、誤差變動との對比において、これらの要因が有意なものであるか否かを検討するといつた方式は前節と全く同様であるから、詳しい説明は省略し、運算の結果のみを示すと第10.2表の如くになる。その結果は表にして示されているように、材質 M, 板厚 t, 採取位置 P に對する分散比 F の値はそれぞれ 40.2, 20.4 および 62.8 となる。一方自由度  $n_1=3$ ,  $n_2=3$  あるいは  $n_1=1$ ,  $n_2=3$  に對する 1% および 5% 限界での F の値はそれぞれ 29.46, 9.28 および 34.12, 10.13 であるから、次のような結果となる。

### 1) 主 効 果

i) 材質 M については

$$40.2 > F_3^3(0.01) = 29.46$$

よりして 1% 以下の危険率で有意。

ii) 板厚 t については

$$F_3^1(0.05) = 10.13 < 20.4 < F_3^1(0.01) = 34.12$$

よりして 5% 以下の危険率で有意。

iii) 採取位置については

$$62.8 > F_3^1(0.01) = 34.12$$

よりして 1% 以下の危険率で有意  
という結論が得られる。

### 2) 交 互 作 用

一方交互作用についても  $M \times t$ ,  $M \times P$ ,  $P \times t$  のいずれの場合も F の値は小さく、有意差ありとは認められない。

以上でこの例についての解析は終つたが、次に 3 要因の場合の一般的な分析方法を示しておく。

第10.3表 3 要 因 の 場 合 の 一 般 の 形

(原表)

D <sub>1</sub>	D <sub>1</sub>			D <sub>2</sub>			D <sub>3</sub>			D <sub>4</sub>			D <sub>5</sub>		
B <sub>j</sub>	H <sub>1</sub>	H <sub>2</sub>	H <sub>3</sub>	H <sub>1</sub>	H <sub>2</sub>	H <sub>3</sub>	H <sub>1</sub>	H <sub>2</sub>	H <sub>3</sub>	H <sub>1</sub>	H <sub>2</sub>	H <sub>3</sub>	H <sub>1</sub>	H <sub>2</sub>	H <sub>3</sub>
B <sub>1</sub>	x <sub>111</sub>	x <sub>112</sub>	x <sub>113</sub>	x <sub>211</sub>	x <sub>212</sub>	x <sub>213</sub>	x <sub>311</sub>	x <sub>312</sub>	x <sub>313</sub>				x <sub>411</sub>	x <sub>412</sub>	x <sub>413</sub>
B <sub>2</sub>	x <sub>121</sub>	x <sub>122</sub>	x <sub>123</sub>	x <sub>221</sub>	x <sub>222</sub>								x <sub>521</sub>	x <sub>522</sub>	x <sub>523</sub>
B <sub>3</sub>	x <sub>131</sub>	x <sub>132</sub>	x <sub>133</sub>										x <sub>531</sub>	x <sub>532</sub>	x <sub>533</sub>
B <sub>4</sub>	x <sub>141</sub>	x <sub>142</sub>	x <sub>143</sub>				x <sub>411</sub>						x <sub>541</sub>	x <sub>542</sub>	x <sub>543</sub>

要 因

- |                        |           |             |
|------------------------|-----------|-------------|
| D ..... D <sub>i</sub> | i = 1 ~ r | (上の表では r=5) |
| B ..... B <sub>j</sub> | j = 1 ~ s | (上の表では s=4) |
| H ..... H <sub>l</sub> | l = 1 ~ t | (上の表では t=3) |

〔辅助表〕

第1補助表

k=t	D <sub>1</sub>	D <sub>2</sub>	D <sub>3</sub>	D <sub>4</sub>	D <sub>5</sub>	計
B <sub>1</sub>	T <sub>11</sub>	T <sub>21</sub>	T <sub>31</sub>	T <sub>41</sub>	T <sub>51</sub>	T <sub>..1</sub>
B <sub>2</sub>	T <sub>12</sub>	T <sub>22</sub>				T <sub>..2</sub>
B <sub>3</sub>	T <sub>13</sub>		T <sub>ij</sub>			T <sub>..3</sub>
B <sub>4</sub>	T <sub>14</sub>					
計	T <sub>..1</sub>	T <sub>..2</sub>		T <sub>..3</sub>		T <sub>..</sub>

第2補助表

k=r	H <sub>1</sub>	H <sub>2</sub>	H <sub>3</sub>	計
B <sub>1</sub>	T <sub>..11</sub>	T <sub>..12</sub>		T <sub>..1..</sub>
B <sub>2</sub>	T <sub>..21</sub>			
B <sub>3</sub>		T <sub>..31</sub>		T <sub>..3..</sub>
B <sub>4</sub>				
計	T <sub>..1..</sub>			T <sub>..</sub>

第3補助表

k=s	H <sub>1</sub>	H <sub>2</sub>	H <sub>3</sub>	計
D <sub>1</sub>	T <sub>1..1</sub>	T <sub>1..2</sub>		T <sub>1..</sub>
D <sub>2</sub>	T <sub>2..1</sub>			
D <sub>3</sub>	T <sub>3..1</sub>			
D <sub>4</sub>		T <sub>4..1</sub>		T <sub>4..</sub>
D <sub>5</sub>				
計	T <sub>..1..</sub>	T <sub>..2..</sub>		T <sub>..</sub>

〔分散〕

$$C.F. = (T_{..})^2 / rst$$

$$S_{DBH} = \{(x_{111})^2 + (x_{121})^2 + (x_{131})^2 + (x_{141})^2 + \dots + (x_{543})^2\} - C.F. = \sum_{i=1}^r \sum_{j=1}^s \sum_{l=1}^t (x_{ijl})^2 - C.F.$$

$$S_D = \frac{1}{st} \{(T_{1..1})^2 + (T_{2..1})^2 + \dots\} - C.F. = \frac{1}{st} \sum_{i=1}^r (T_{i..1})^2 - C.F.$$

$$S_B = \frac{1}{rt} \{(T_{..11})^2 + (T_{..21})^2 + \dots\} - C.F. = \frac{1}{rt} \sum_{j=1}^s (T_{..j1})^2 - C.F.$$

$$S_H = \frac{1}{rs} \{(T_{..1..})^2 + (T_{..2..})^2 + \dots\} - C.F. = \frac{1}{rs} \sum_{l=1}^t (T_{..1l})^2 - C.F.$$

$$S_{DH} = \frac{1}{t} \{(T_{11..})^2 + (T_{12..})^2 + \dots\} - C.F. = \frac{1}{t} \sum_{i=1}^r \sum_{j=1}^s (T_{ij..})^2 - C.F.$$

$$S_{BH} = \frac{1}{r} \{(T_{..11})^2 + (T_{..21})^2 + \dots\} - C.F. = \frac{1}{r} \sum_{j=1}^s \sum_{l=1}^t (S_{..jl})^2 - C.F.$$

$$S_{DH} = \frac{1}{s} \{(T_{1..1})^2 + (T_{2..1})^2 + \dots\} - C.F. = \frac{1}{s} \sum_{i=1}^r \sum_{l=1}^t (T_{i..1l})^2 - C.F.$$

$$S_{D\times B} = S_{DB} - (S_D + S_B)$$

$$S_{B\times H} = S_{BH} - (S_B + S_H)$$

$$S_{D\times H} = S_{DH} - (S_D + S_H)$$

$$S_E = S_{B\times D\times H} = S_{DBH} - (S_D + S_B + S_H) - (S_{D\times B} + S_{B\times H} + S_{D\times H})$$

〔分散分析〕

要因			平方和 SS	自由度 f	不偏分散 V	分散比 F	自由度 n <sub>1</sub>	自由度 n <sub>2</sub>
主効果	D	S <sub>D</sub>	f <sub>D</sub> = r-1		V <sub>D</sub> = S <sub>D</sub> /f <sub>D</sub>	F <sub>D</sub> = V <sub>D</sub> /V <sub>E</sub>	f <sub>D</sub>	f <sub>E</sub>
	B	S <sub>B</sub>	f <sub>B</sub> = s-1		V <sub>B</sub> = S <sub>B</sub> /f <sub>B</sub>	F <sub>B</sub> = V <sub>B</sub> /V <sub>E</sub>	f <sub>B</sub>	f <sub>E</sub>
	H	S <sub>H</sub>	f <sub>H</sub> = t-1		V <sub>H</sub> = S <sub>H</sub> /f <sub>H</sub>	F <sub>H</sub> = V <sub>H</sub> /V <sub>E</sub>	f <sub>H</sub>	f <sub>E</sub>
交互作用	D×B	S <sub>D×B</sub>	f <sub>D×B</sub> = (r-1)(s-1)		V <sub>D×B</sub> = S <sub>D×B</sub> /f <sub>D×B</sub>	F <sub>D×B</sub> = V <sub>D×B</sub> /V <sub>E</sub>	f <sub>D×B</sub>	f <sub>E</sub>
	B×H	S <sub>B×H</sub>	f <sub>B×H</sub> = (s-1)(t-1)		V <sub>B×H</sub> = S <sub>B×H</sub> /f <sub>B×H</sub>	F <sub>B×H</sub> = V <sub>B×H</sub> /V <sub>E</sub>	f <sub>B×H</sub>	f <sub>E</sub>
	D×H	S <sub>D×H</sub>	f <sub>D×H</sub> = (r-1)(t-1)		V <sub>D×H</sub> = S <sub>D×H</sub> /f <sub>D×H</sub>	F <sub>D×H</sub> = V <sub>D×H</sub> /V <sub>E</sub>	f <sub>D×H</sub>	f <sub>E</sub>
誤差項	E	S <sub>E</sub>	f <sub>E</sub> = f <sub>T</sub> - (f <sub>D</sub> + \dots + f <sub>D×H</sub> )		V <sub>E</sub> = S <sub>E</sub> /f <sub>E</sub>	—	—	—
	T	S <sub>T</sub>	f <sub>T</sub> = rst-1		—	—	—	—

この場合の實測値は一般に第10.3表の〔原表〕の如くに表わされる。ここでは3要因をそれぞれ D, B, H と記載してある。D での分類 D<sub>i</sub> は i=1~r までの r 箇、B でのそれは j=1~s までの s 箇、H では l=1~t までの t 箇とする。従つて實測値の全數は rst である。

i 番目の D, j 番目の B, l 番目の H に對應する實測値を x<sub>ijl</sub> とする。

この時 x<sub>ijl</sub> が次の如き構造であると假定する。

$$x_{ijl} = I_{000} + I_{0j0} + I_{00l} + I_{ij0} + I_{i0l} + I_{j0l} + Z_{ijl}$$

ここで I<sub>000</sub>, I<sub>0j0</sub>, I<sub>00l</sub> はそれぞれ D, B, H の主効

果,  $I_{ijl}$ ,  $I_{ijl}$ ,  $I_{jol}$  はそれぞれ  $D \times B$ ,  $B \times H$  および  $D \times H$  の交互作用を示す。また  $Z_{ijl}$  は誤差項で、その構造は何回も今迄に示した如く次の如くである。

$$Z_{ijl} = N(m, \sigma^2)$$

これより各要因についての分散を求めるには次の如くすればよい。

まず補助表を作る。ここでは一つの要因についての総和を記入する。例えば第1補助表については

$$T_{1..} = x_{111} + x_{112} + x_{113} + \dots + x_{11t}$$

$$T_{1..} = x_{121} + x_{122} + x_{123} + \dots + x_{12t}$$

.....

.....

$$T_{ij..} = x_{ij1} + x_{ij2} + \dots + x_{ijt}$$

$$= \sum_{l=1}^t x_{ijl}$$

であり、すべて  $H$  という要因についての総和を示している。また

$$T_{1..} = T_{11..} + T_{12..} + \dots + T_{1s..}$$

$$T_{2..} = T_{21..} + T_{22..} + \dots + T_{2s..}$$

.....

.....

$$T_{..s} = \sum_{j=1}^s T_{ij..} = \sum_{j=1}^s \sum_{l=1}^t x_{ijl}$$

であり、

$T_{...}$  は全實測値の総和である。

すなわち

$$T_{...} = \sum_{i=1}^r \sum_{j=1}^s \sum_{l=1}^t x_{ijl}$$

このようにこの補助表に記入してある  $T_{ij..}$ ,  $T_{..j..}$ ,  $T_{i..s..}$ ;  $T_{...}$  などはすべて・というしのついた部分についての和を示している。また補助表の左肩にある  $k=r, s, t$  というものは、その補助表に記入されている  $T_{ij..}$ ,  $T_{..j..}$ ,  $T_{i..s..}$ , などといずれもそれぞれ  $r, s, t$  箇の實測値の和になつていていることを示している。

次に分散であるが、まず修正項 C.F. を求める。これは實測値の総和  $T_{...}$  と、實測値の總數  $r \cdot s \cdot t$  より求められる。なおここで  $T_{...}/rst$  が實測値の全平均になつていることは明らかである。

全變動  $S_1 = S_{DBH}$  は全實測値が全平均のまわりに示す變動であつて、實測値  $x_{ijl}$  より求められる。

要因  $D$ ,  $B$ ,  $H$  に對する主變動  $S_D$ ,  $S_B$ ,  $S_H$  はそれ

ぞれ  $T_{i..}, T_{..j..}, T_{i..s..}$  より求められる。

交互作用による變動  $S_{D \times B}$ ,  $S_{B \times H}$ ,  $S_{D \times H}$  はそれぞれ  $S_{DB}$ ,  $S_{BH}$ ,  $S_{DH}$  よりそれぞれに對應する主變動を減じて求められる。

誤差變動  $S_E$  は  $S_{B \times D \times H}$  ともかかれるが、これは全變動  $S_{DBH}$  より主變動  $S_D$ ,  $S_B$ ,  $S_H$  ならびに交互作用による變動  $S_{D \times B}$ ,  $S_{B \times H}$  および  $S_{D \times H}$  を減じて求められる。

以上で分散がすべて求まつたことになる。以後の分析は第10.3表の〔分散分析〕という項に一括して記入してある。

平方和  $S_S$  の各項はさきに示した  $S_D$ ,  $S_B$ , ..., である。

次に自由度であるが、主効果  $D$ ,  $B$ ,  $H$  に對する自由度はそれぞれ  $(r-1)$ ,  $(s-1)$ ,  $(t-1)$  である。交互作用  $D \times B$ ,  $B \times H$ ,  $H \times D$  に對する自由度  $f_{D \times B}$ ,  $f_{B \times H}$ ,  $f_{H \times D}$  はいづれも各要因に對する自由度の積となる。また全體での自由度  $f_r$  は實測値の全數  $rst$  より 1だけ少い。誤差項の自由度  $f_E$  は全體での自由度  $f_r$  より各主効果および交互作用項の自由度の總和を減じたものに等しい。

これら各項についての平方和を各々の自由度で割れば不偏分散が求められる。

分散比  $F$  は各項の不偏分散と誤差分散  $V_E$  との比である。この分散比が検定の直接の手掛りとなる。すなはちかくして求めた  $F$  について、自由度  $n_1$  がそれぞれ  $f_D$ ,  $f_B$ , ..., で、 $n_2$  がいづれも誤差項の自由度  $f_E$  である時の  $F$  分布に關して検定を行えよ。この場合、各要因に對する  $F$  の値はその要因に關する不偏分散が誤差分散に比較してどの位になつてゐるか、換言すれば誤差にもとづくバラつきに對して各要因に基因する變動がどの程度の量になつてゐるかをこの  $F$  の値は示すものである。

ここで交互作用項に關して附言すれば次の如くである。すなはち前節でのべた2要因の場合の交互作用項は1つであったが、ここにのべた例では3箇となつてゐる。またこの場合各條件に對して實驗が繰返されている場合には  $D \times B$ ,  $B \times H$ ,  $H \times D$  の3者の他に、 $D$ ,  $B$ ,  $H$  3要因の3重の交互作用  $D \times B \times H$  についての検討も行える。1, 2, 3, 4の4要因の場合は  $1 \times 2$ ,  $2 \times 3$ ,  $3 \times 1$ , ..., など2つの要因に基づく2重の交互作用が  ${}_4C_2 = 6$  節、 $1 \times 2 \times 3$  など3つの要因にもとづく3重の交互作用が  ${}_4C_3 = 8$  節存在し、實測値に繰返しのある場合は4重の交互作用項についての検討が行える。(未完)

# サイゴン、バンコック見聞記

烟 賢二  
船舶局技術課

去る5月3日からベトナムのサイゴンで開催された国連 ECAFE の下部機構である内水路分科会 (Inland Waterway Sub-Committee) に出席を命ぜられ。日本船用機器機会の矢内氏とともに之に出席し、その歸途タイのバンコクを見て來ましたのでその見聞を申上げたいと思います。

## 會議について

上記分科会は国連 ECAFE の内陸運輸委員会の下記機構の一つ（他に鐵道と公路の二分科会あり）で、いわゆる東南アジアの経済的發展に關し水運關係を擔當し、国連機構が之にどの程度寄與出来るかを検討する會議であります。この會議で結論が出て國連として實施する場合には TAA (技術援助局) が豫算を持つて夫に當るようあります。本分科会は、はじめ内陸運輸委員会の専門作業班として設立し、その後分科会に昇格し、第一回會合は1953年1月インドネシアのバンドンで開かれ、今回は第二回目であります。會議の内容はその性格上全く技術的なもので、出席者も専門家が大半であります。

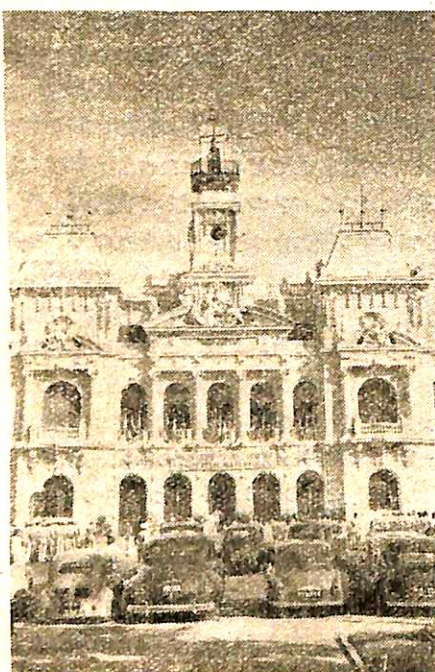
さて今回は、出席國（出席者數）は、ビルマ（2名）、シナ（臺北）（3名）、フランス（5名）、インド（1名）、バ

キスタン（1名）、タイ（2名）、イギリス（1名）、アメリカ（2名）、カンボヂア（3名）、日本（3名）、ラオス（4名）、ベトナム（3名）の12ヶ國、30名、この他に ECAFE 事務局から4名（内1名は女子）、ベトナム外務省から事務手傳として女子職員4名が出席しておりました。なお日本側は、サイゴン在外事務所の平野氏を代表、小生が代表代理、矢内氏が顧問といふことで出席しました。會場はサイゴン市内の公會堂 (Hotel de Ville)（第1圖）を使用し、時間は9時から正午までと午後3時から5時半頃までといった模様でした。議題は次の通りでした。

1. 開會の挨拶
2. 議長、副議長の選舉
3. 議題の採擇
4. 押船等の設計改善に関する實驗報告
5. ディーゼル機關士の訓練所設置
6. 各種舶用機關の比較研究
7. 船舶積量測度條約草案作成
8. 内水路標識の統一
9. 河の深さと船の吃水の比が船の抵抗に及ぼす影響
10. 東パキスタンの Joint Steamer Companies の實驗報告
11. 内水路の開發狀況
12. 第18回國際航海會議の結論と勸告
13. 1955年の事業計畫
14. 次回開催場所と時期
15. 内陸運輸委員會への報告

會議は5月3日開催され、3, 4, 5, 6および8の5日が討論に當てられ、7日はサイゴン市當局の案内による南郊 Nha-Be の水路視察、9日はベトナム政府の案内による My tho の水路視察が行われました。なお11日から4日間カンボヂア政府の招待によるアンコール・ワット遺跡の見物が催されたが、われわれは日程の都合でこれには參加しませんでした。

さて上記議題の中、一二について述べますと、議題（5）はビルマのラングーンに設けることになりましたが、これに使用する訓練用ディーゼル機關を無償提供しようとわれわれは申出て來ましたが、その他の英米佛等も設備、費用の提供を申出しております。これは要するに技術的先進國はそれぞれ自國製品の輸出を考えてこの問題に積極的援助を申出しているのであります。われわれとし



第1圖 會議場 (Hotel de Ville)

てもこのような場合には今後凡ての點について積極的であるべきだと考えた次第です。また議題(6), (9)等はわれわれはなにがしかの資料を用意して参りましたが、これが何の役に立たず、事務局が前々から提出された資料等によつて討論用の資料を作成しているのであります。今後われわれはこの會議を有効に利用するためには、かねがね事務局と連絡を充分にし、かつ資料等の提供にも積極的でなければならぬと感じた次第です。

#### 會議についての印象

上述の會議にて感じことを二三述べて見ますと

1) 會議への出席者は専門家が多くかつ作業班時代からの者が多いためか、雰囲気は一般に友好的であります。一部には對抗意識もあるよう見受けられました。

2) 日本の場合と同一會議でありながら出席者はその都度變るため從來からの經緯も不明の場合が多く、充分な發言もしにくく、會議出席の有効性が減ぜられる恐れがあるようです。これは是非とも、同一會議には同一人が出席するようにしたいものです。

3) 英米佛等のいわゆる先進國はかつて東南アジアの領土的支配を握り現在はこれを失っているとはいえ、經濟的支配は未だに壘つており、かつ極力これを維持しようとつとめ、この地域への輸出には非常な努力を拂つてゐるようあります。この會議でも當該國人の代表の他に例えばカンボヂヤおよびラオスでは佛人が代表または顧問として出席しているのはこの現れであります。

4) この會議は正に先進國の技術、製品に対する宣傳の場を提供するものであります。日本としてもまた同様であるべきであります。併し日本はこの點では相當の立おくれを示しているので、輸出振興の一手段としてこの會議には注目する必要がであります。

5) 前述の如く議題(5)の訓練所設置の問題等も上述の意味から單に訓練用機關の提供のみならず、部品の供給、修理工場の設置等大いに積極的でなければならぬと思います。

6) 日本の經濟發展のためECAFEを利用すべきですが、このためには絶えず事務局と連絡をとり、資料情報を提供し、會議を出来る限り日本へ招致し、訓練所の講師、教授を派遣し、事務局職員としても進出するよう考えるべきであります。

7) ECAFE 地域國の日本の技術、工業に対する認識は一部を除いては極めて低い實情でありますので、この弊を除くため凡ゆる方法を講ずる必要があります。

8) この會議自身としては相當に社交的な面もあるらしく、ヴェトナム政府外務省のカクテル・パーティー招

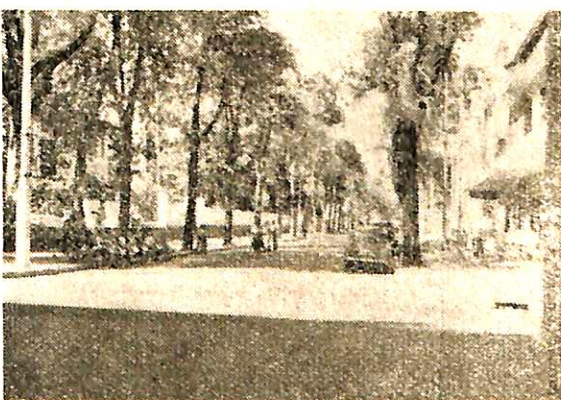
待、同國公共事業大臣の晩さん會、サイゴン・ロータリー・クラブの晩食會等が催され、また英、米、佛、インドからのカクテル・パーティー招待がありました。主催団体のヴェトナムは別として、英、米、佛等が招待するのはやはり自國の勢力維持のためと考えられます。

#### サイゴンの印象

サイゴンの街は今戦争中日本人が相當數おつた由ですから或は御存知の方も多いと思ひますが、丁度到着の4月29日が天皇誕生日に當り在留邦人が在外事務所に參集、祝賀があり、いろいろと會談することが出来ましたので、それらをも含めて印象を申上げますと

1) かつての佛植民地の首都だけあつて街路樹も極めて多く、きれいで公園の中に街がある感じです。尤も佛人にいわせるとヴェトナムになつてから汚くなつたといつている由、街では英語が全然といつてよい位通せず、専ら佛語、安南語で、レストランや買物で大分まごつきました。ヴェトナムとは「越の南」という意味ですから、街の看板に時折漢字が見受けられ、これは結構讀出されました。一方支那人街であるシヨロンは逆に佛語が殆んど通用しない、このことは現地へ進出を考える人々にとっては大いに注意すべきことでしょう。

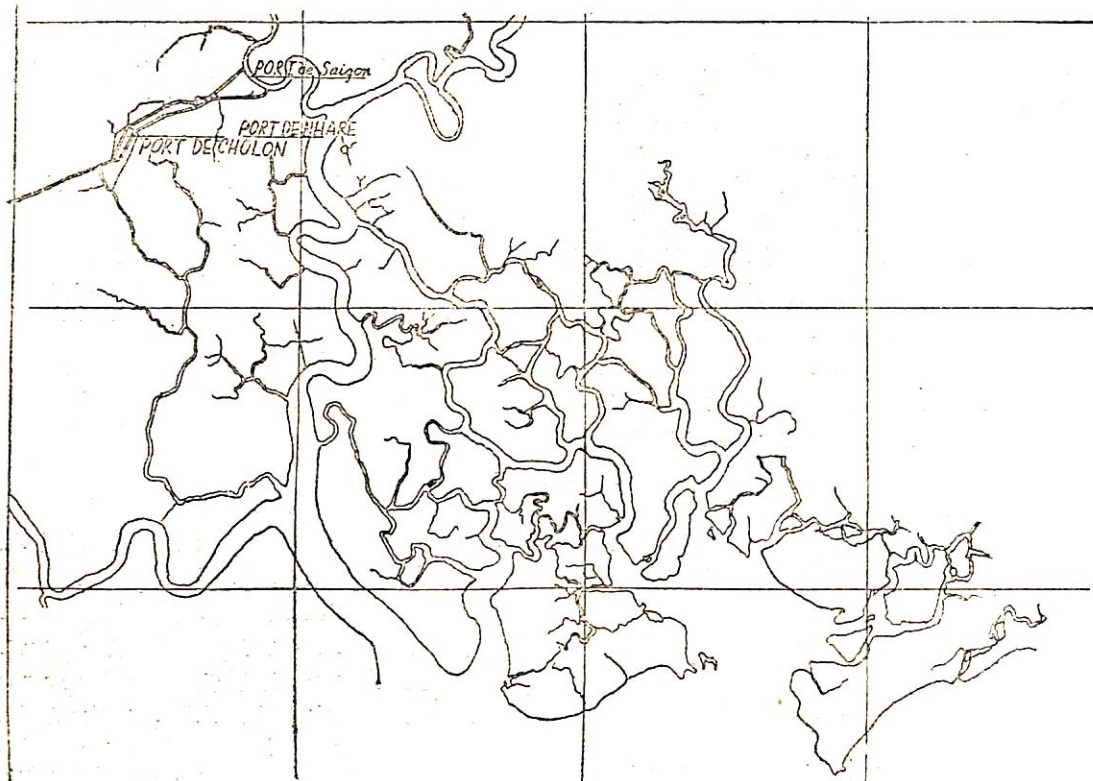
2) 街へ出て大いに驚いたことは、自動車、オートバイ、スクーター等が實に静かであること、物價の高いこと、安南人が實に日本人によく似ていること、安南婦人が殆んど洋服を着ず、支那風様のものを着ていること、街で賣つているものが殆んどフランス製品であること等です。宿泊したホテルの食堂で出るリンゴまでフランスから持つてくる由です。頂點を大臣とする大きな財閥があり、電氣、冰、マッサ等は財閥の經營する一會社にしか營業を許可せず、體のよい專賣ですから値段も高くなるわけで、ここにも植民地榨取の現れが見受けられました。



第2圖 サイゴン市内の一景

3) 対日感情は必ずしも悪くはないが、ベトナム政府のフランスに対する遠慮から親日感情が表面に出るのを抑えている向がないであります。足繁く在外事務所へ來ていたものがバタリ來なくなつたり、カンボヂヤには既に日本公使館が開設されているのにベトナムでは未開設であるのは、この現れと見てよいでしょ。フランスが日本を警戒しているのは相當のものであります。

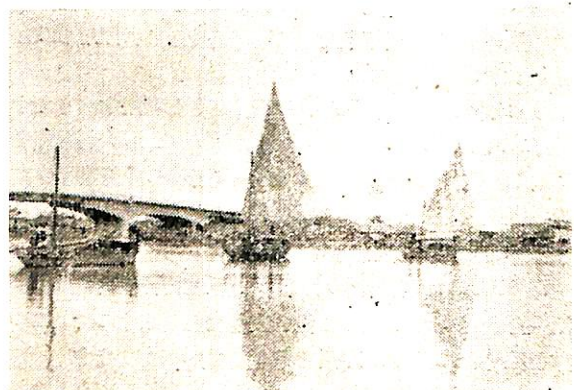
4) サイゴン市内の治安は保たれていますが郊外はゲリラが活動し必ずしも良好ではありません。前述のMytho 視察の時も往路のディーゼル車には装甲車が、また復路のついた船にはパトロール・ポートがつくといつた有様でした。但しホーチミン軍については安南人は国民的解放軍とみて單なる共産軍とはみず好意をよせている者もあるようでした。事實會議開催中にディエンビエンフーが陥落しましたが、サイゴン市内は至つて平穡



第3圖 サイゴン周辺の水路図



第4圖 サイゴン附近の運河



第5圖 サイゴン市内の一景

で、あれはフランス軍がまけたのだといつている人もあります。

5) 前述の如くベトナム政府がフランスに氣兼をし、また現在の内戦がおさまらぬ限り、日本からの早急の輸出は期待出来ぬと思われますが、將來のためには今から手を打つ必要がありましょう。水路は網の目の如く発達し（第3圖参照）ておりながら橋が極めて少いので小型の船舶、機関の需要が豫想され、また電力も世界で有數な高價格のため普及していないので 1~10 KW 程度の發電機の需要が豫想され、また製材のための 1~10 KW 程度の動力が要求されています。

6) 日本がベトナムへ進出するためには、現地へ行く人は佛語に堪能なばかりでなく、支那語、安南語、にも通じなければなりません。また使用するカタログも佛文等の物を用意すべきで、その内容も單に會社の宣傳、製品の陳列的なものは不可で、製品の性能、取扱の注意等に重點をおいたものであるべきです。またサービス・エンジニアの駐在、陳列室の設置等も重要と考えられます。以上はサイゴン在留三十年という邦人の話でありまして注目すべき内容を含んでいるように思われます。

7) これはよく聞く話で、また海外へ出た人々が歸朝談の一つに必ずといってよい位のことですが、海外にある日本商社同士の競争ということで、反対に先方から足下を見かされて丁う由です。支那人商社等は常に一體となり共同の利益をはかる方法をとつていて非常に團結が固い由です。日本でももう何とかしなければいけないのではないかよ。

#### バンコックの印象

前記會議の終了後1週間程バンコクに滞在しましたが、當地については戦後多くの日本人が出かけておりますので最早珍らしくもないようですが、一應その印象を述べてみましょう。

1) バンコックはサイゴンに比べて人口も多いせいか、何となく汚い感があります。これは街路樹の少いせいもありましょう。但し郊外には仲々立派な住宅が並んでおりました。街での買物は支那人街を除いては英語で用が足せました。歐米商社や華僑の進出は誠にめざましくタイ人の商工方面的の勢力は微々たるもののようにあります。政府としては國民の自立心養成に努力しているらしく、街の看板の文字も英語が少くなつたり、あるいは最近タイ人の手で建設された中央郵便局等は、このことの現れであります。

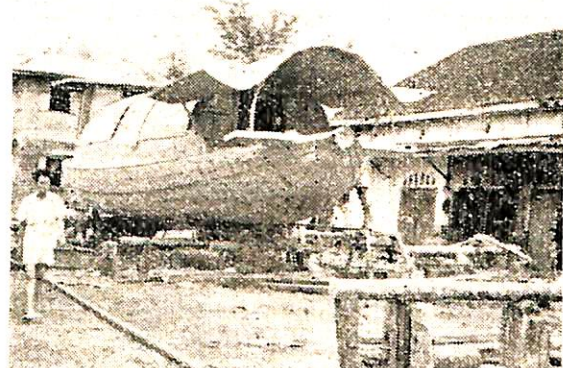
2) 造船状況は、戰争中の空白が一應うまり、また最近漁業状況が悪いため造船が餘り振わず、従つて船用機

關の需要も活潑ではないようです。加うるに現地においても、輸入機關をスケッチして 5 HP と 10 HP の燒玉機関を製造しています。日本からの小型機関の輸出は益々減少するのではないかでしょうか。小生不勉強でバンコックで燒玉機関が製造されていることは夢にも考えなかつたこととて大いに驚きましたが、出來ている品物そのものは勿論良いものとはいえませんが、日本よりも 10% 位安くかつ月賦販賣されております。

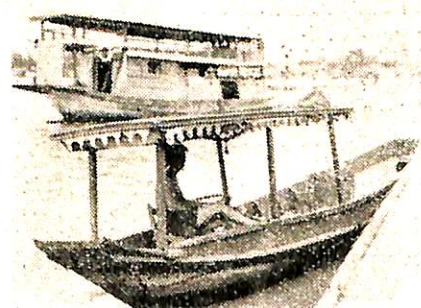
3) これを製造する工場は工作機械 6~7 台位のもので、バイトは凡てドイツから、また機関部品でバンコックで出来ぬもの（例えば齒車、バネ等）は凡て輸入しておりました。鑄物工場も、新銃は一切使わず、銅鐵と銅板のスクラップのみを使用し、燃料には硬木炭を用いておりました。

4) 外國製のエンジンは日本製より 20% 位安くかつ月賦販賣で取引されているのに反し、日本製は高くかつ即金拂であります。加うるに外國製はその後次第に値下げをしているのに日本製は一向に安くならないので、日本製を扱うことを次第に嫌がるようになつて來ているとのことです。更にまた例の如く日本人商社同士の競争がは

(824 頁へつづく)



第6圖 バンコックのある造船所にて



第7圖 バンコックにて

## 海外文献の紹介

### 造船家から見た脆性破壊問題

"The Brittle-Fracture Brublem From a Ship-builder's Point of View." By N. G. Leide,

The Shipbuilder and Marine Engine-Builder, Oct., 1953.

#### 緒 言

鋼の脆性破壊は造船における溶接の廣汎な採用によつて著しく重要性を増して來たが、脆性破壊は溶接に特有のものではない。脆性破壊の原因はサービスまたは條件（温度、變形速度、應力條件）と材料の性質の下に考えられる。そして脆性破壊のメカニズムは未だ完全に理解されていないとはいへ、結論的には現在造船家はクラックの原因の大部分を減少させるかまたは避けることができるるのである。

造船家は1941年における溶接船構造の著しい増加以前に溶接船について非常に廣汎な経験をもつていた。それ故 U.S.A. の未曾有の造船計畫も、以前に溶接構造が發達していかつたら不可能であつたろう。それ故戦争は既に多くの國で著しい進歩を示していた發展を強めたに過ぎない。他の多くの革命的な方法におけると同様困難は多く誤りもあつたが、造船家はこれらの多くから非常に價値の多い経験をした。この経験、高級電極、現今非常に有用な溶接機械の發達は溶接船において造船家の信頼を與えた。このことは1938年以來建設されまたは再組織された造船所は鉄接に先立つて電弧溶接の使用を基礎にしているという事實からも判る。しかし過去10~15年の間に造船所は非常に有名になつた困難すなわち脆性破壊問題を経験した。多數の船を真二つに折損する原因であつた危険な破壊は造船家と鐵鋼メーカーに對する挑戦であつた。1952年に Lloyd's register of Shipping の公表したリストによると1952年2月に至る5年間に2つに折損した船は15隻あるが、これにアメリカ當局の指名した12隻が加えられなければならぬ。しかしこれらの船は實際に真二つに折れた船であつて、もし危険な破壊の起つた他のすべての例を含めるとこのリストは尤大になつたであろう。折損または破壊した船の世界船腹量に對する百分率は小さいけれども、これらは壽命の損失、蒙る財政損失の點からも重大な問題

である。かくの如く船の脆性破壊の回避は研究調査における數千ポンドの費用の價値がある。

#### 脆性破壊の原因

アメリカ戰標船の災害が歐洲に知れた時、破壊は船がマスプロ條件の下に、不熟練労働によつて溶接されていたという事實によるものであると考えられた。しかしアメリカ當局の任命した Board of Investigation は溶接そのものは非難し得ないことを見出したが、設計の不満足な點、とりわけクラックの發生點となる切缺の隅が鋭いことを指摘した。工作の重要性が叫ばれたが、良い設計と工作、強靱な鋼をもつてすれば第1級の船が建造できるというのが一般的な結論であつた。

脆性破壊問題を研究してみると、以前に鉄接船の數隻が二つに折損するか非常に重大なクラックを発生するほど脆性破壊が起つている。これから見ると、溶接構造が脆性破壊の原因ではない。

本當の原因を知るためにには、鋼板が脆くなるような環境を研究する必要がある。大部分のクラックが氣温が低く荒天時に代表的な切缺から発生するという事實は、トラブルの原因についてのヒントとなつたが、これは數箇所の研究室での研究結果によつて確められた。鋼の状況が次のものによつて調整されていることは一般に認められている。

1) サービスまたは試験條件 a) 温度 b) 變形速度 c) 應力條件

2) 材料の性質

もし脆性破壊を避けたいのなら、材料はできる限り有利な條件の下で使用されねばならない。

#### サービスまたは試験條件

温度は自然に調整され、造船所の所員や船員は殆んど調整し得ない。

變形速度もまた部分的に例えば船が波の pounding によつて支えられている時のように自然に調整されている。また荒波の中で船を操つている船員によつて、また建造期間中造船所で働いている人によつて部分的に調整されている。しかし造船所ではクラックの入つた鋼板は取り換えられる。これらの因子には幾らか意味があるのかも知れないが、クラックは應力が比較的低く、船の碇泊中に発生しているので主要な問題には影響がない。

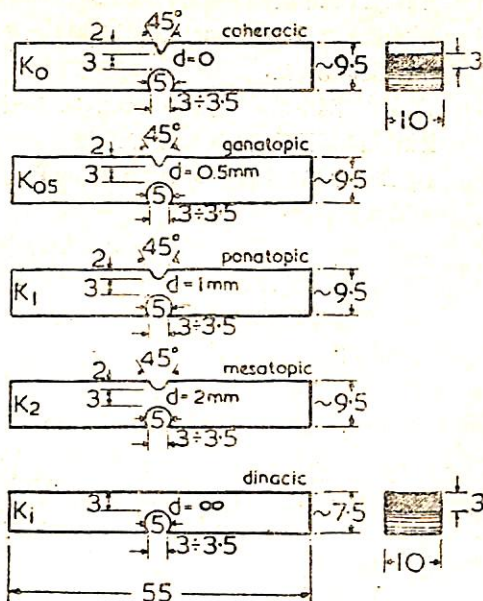
應力條件は二つの部分、すなわち通常 grade severity の違いと grade of intensity の違いからなるといふことができる。應力條件の severity は設計と工作により intensity は構造、負荷計畫、海上における操作により決定される。不連續と鋭い切缺は苛酷な應力條件を與え

危険である。

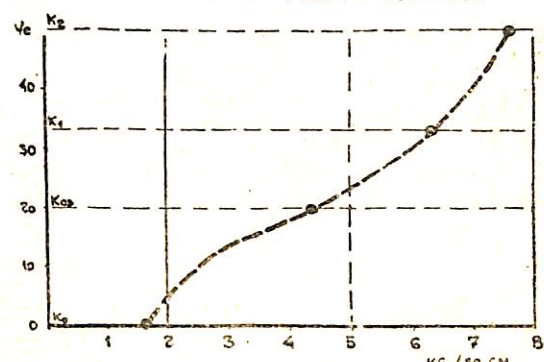
### 材料の性質

鋼の性質は勿論興味深いものである。造船用鋼材は船級協会によつて統制されているが、1948年以前には引張試験と曲げ試験に對する要求を満足しておれば十分であつた。しかし間もなく二つに折損した船から採取した板が船級協会の要求に適うものであつたこと、特殊試験は鋼板の脆性破壊の傾向に關しては如何なる知識をも與え得ないことが判明した。多くの新しい試験、例えは、衝撃試験、引裂試験、偏心引裂試験、切缺引張試験、低速曲げ試験等が試みられた。都合の悪いことにこれらの試験から得た結果は、試験時の變形速度、應力條件等が異つていて比較ができない。“切缺傾性”“遷移溫度”という言葉が U.S.A. に持ち込まれた。U.S. コーストガード、A.B.S. を含む American Bureau of Investigation は折損した船、クラックの發生した船から多數のサンプルを採取して研究用として研究所に配つた。これよりは遙かに小規模ではあつたが、イギリスやヨーロッパ諸國でも同じことが行われた。今日に至る迄多くの試験が行われたが、一般的に容認された、鋼の切缺傾性についての知識を與える試験はない。

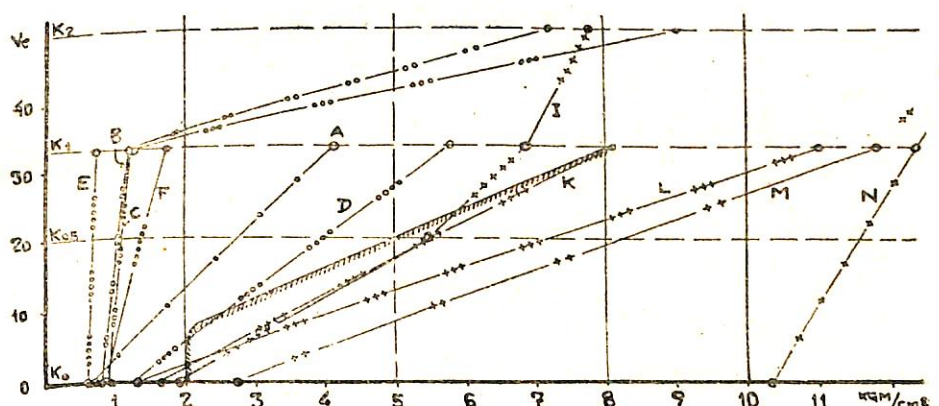
Malmö の造船所では、シュナット法 (Schnadt method) によつて鋼の試験を行つている。ある例では、研究所で破壊した板を研究することが可能であつた。第1圖は種々のシュナット試験片を示したものである。第2圖は三または四の試験を基礎にして結果を圖式的に表す方法を示したものである。横軸は衝撃値 ( $Kg/sq.cm$ ) 縦軸は  $V_e = 100d/(d+2)$  の値である。但し  $d$  は試験に用いた切缺の直徑である。第3圖は種々の板から得た試験であつてその詳細は次の通りである。



第1圖 シュナット試験片の寸法と形狀



第2圖 切缺の銳さとシュナット試験における吸収エネルギーの關係



第3圖 粘性破壊、脆性破壊した板のシュナット試験結果

- A = 脆性破壊した甲板
- B = 脆性破壊した L-bar. bar は粘性破壊した M と同位置にあつた。
- C = 造船所で延性中にクラックの入つたボイラー板
- D = 延性破壊と脆性破壊の入り混つた脛板
- E = 曲げ作業時にクラックの入つた 12 mm 波形 bulkhead
- F = 造船所で處理中 25°C でクラックの入つた板
- I = 衝突で損傷を受けた船殻
- K = D と同じ船の延性ある甲板鋼板
- L = 延性ある甲板鋼材
- M = 延性ある棒 (B 参照)
- N = 試験片として用いられた特に強靭な材料

すべての試験は破壊が起つた時と同温の下に行われ、温度の影響は排除された。幾分明らかな境界線  $K_0=1.5$ ,  $K_{0.5}=5$ ,  $K_1=8 \text{ kg/cm}^2$  のあることは明白で数値の高い板はすべて延性大で脆性破壊をした板の数値は低い。試験片の破壊面の外観もまた検査されねばならない。もしこれが 100% 強靭であればたとえ  $K_1$  の値が  $8 \text{ kg/cm}^2$  より低くても延性は大であるかも知れない。これらの結果も、もし鋼が撰ばれた温度で上述のよりも高い値をもつかまたは 100% 鞣性破壊をするならば、恐らく使用中にも粘く動作するだろうこと、逆にもし衝撃値が低く試験片が脆性破壊と関連して光つた結晶を示すならば脆いかも知れないことを示している。この一連の

試験は結論を導き出せるに十分大きくはないが、今後多くの結果が得られるにつれて明白になるであろう傾向を示しているのである。U.S.A. 當局の後援によるクラックの発生した鋼の鋼板の研究は頗る價値のある知識を與えて來たが、その一つは破壊板の三つの型についての研究を含んでいる。:-

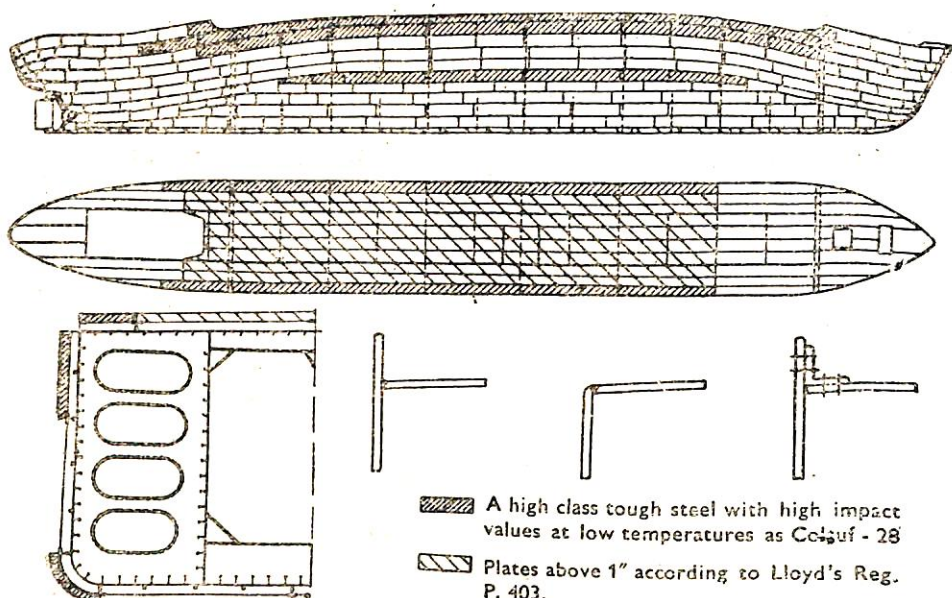
- (a) クラックの発生する鋼板
- (b) クラックが傳播する鋼板
- (c) クラックが停止する鋼板

板は多くの違つた温度の下に試験されたが、これらは破壊が起つた温度において比較された。そしてグループ (a) のすべての板の衝撃値は 15 ft-lb 以下であることが見出された。グループ (b) と (c) は分けるのが困難で、また脆い板、延性ある板の境界と考えられるような数字を與えることも不可能である。

この種の試験について、より以上の知識を得るために International Institute of Welding は鋼の切欠延性についての將來の研究においては、他の如何なる形式のテストにもシャルピー V 型切欠試験を行うことを忠告している。この特殊な試験が廣く用いられるようになり研究室での結果と實際とを相關させることができることが望まれる。

### クラックの回避

實際面では造船家は應力集中を減少させることにより



第4圖 型式の異なる材料を用いた 24,000 トン油槽船の構造

クラック発生點または切缺の大部分を減少またはなくすことができる。現在船級協会は厚さ  $\frac{3}{8}$ " 以上の鋼板の材料が成分の要求と一致すること、厚さ 1" 以上の鋼板の材料は承認された品質のものでなければならないことを規定している。しかしこれらの要求は化學的分析に基礎を置いたものであつて壓延の影響とか製鋼工場における生産の詳細—完成した板の性質に重大な影響を及ぼす—を含んでいない。協会の化學的成分とは一致してもある工場では強靭な鋼を他の工場では切缺に敏感な鋼を生産するかも知れない。船級協会は、その規則を改正して船體構造用の、型の違つた鋼を導き入れた。これは修理の困難をもたらすが、全利益は増加する技術的知識によつて得られるとするなら、避けられないことと思われる。かくして Kockums Co. はある温度で保證された衝撃値をもつ良い材料を使用するのが望ましいことを見出した。これらの板は大型船の船殻中央部の安全帶として 2, 3 または 4 strake に使用された。そしてもし試験が正確に説明されるなら  $-10^{\circ}\text{C}$  においてすら、普通鋼材である隣接の板からクラックを止めることができるであろう。24,000D/W の構造に使用された種々の材料の使い方を第4図に示す。構造をこうすることによつて重量を節減し、完全な全溶接船を建造することができる。こうしても経費の値上りは大きくはなく、これによつて生ずる節約と比較すればむしろ少いのである。

(U)

## 海外文献の紹介

### 1953年における推進機関の進歩

#### "Propelling Machinery Development in 1953."

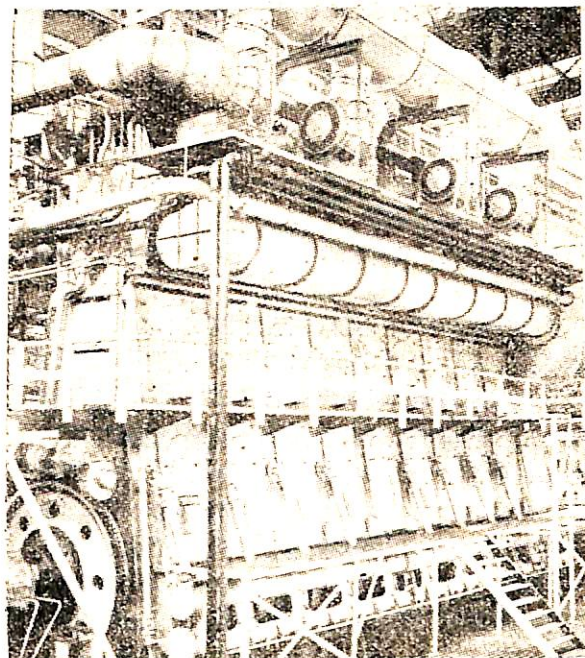
The Motor Ship, Jan., 1954.

昨年度の遠洋航路商船に据付けられた推進用内燃機関の総出力は約 2,500,000 i.h.p. であつて、これは 1952 年の約 10% 増である。英國がやや減じているので、その他の國は増していくことになる。その状況は次表の通り。

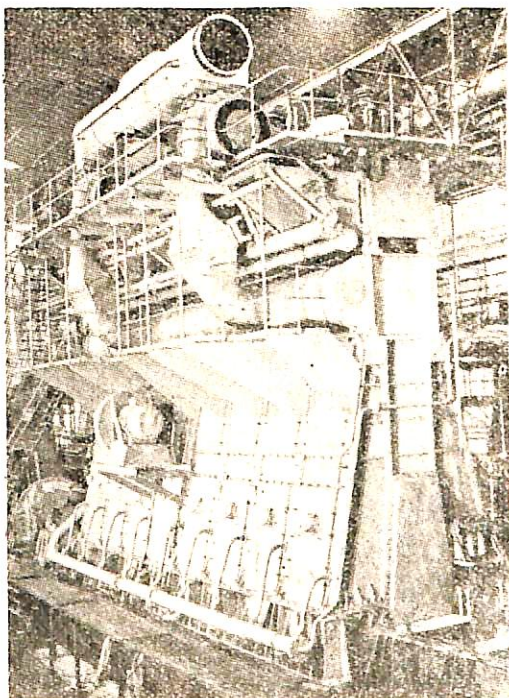
	I. H. P.		D. W. C.	
	1952	1953	1952	1953
英 国	580,000	530,000	1,160,000	1,010,000
そ の 他 国	1,690,000	1,940,000	2,540,000	2,800,000
合 計	2,270,000	2,470,000	3,700,000	3,810,000

註 2,000d.w.t. 以上の船に関するもの

この表は 2,000d.w.t. 以下の船は含まぬから、これらすべてを總計すれば 3,000,000 i.h.p. を下らないであろう。これは大凡 £70,000,000 (約700億圓) に相當する。1953 年における技術的進歩は多々あるが、その主なる



第1圖 新型 Stork 過給 2 サイクル機関



第2圖 B&W 8,750 b.h.p. 過給機関

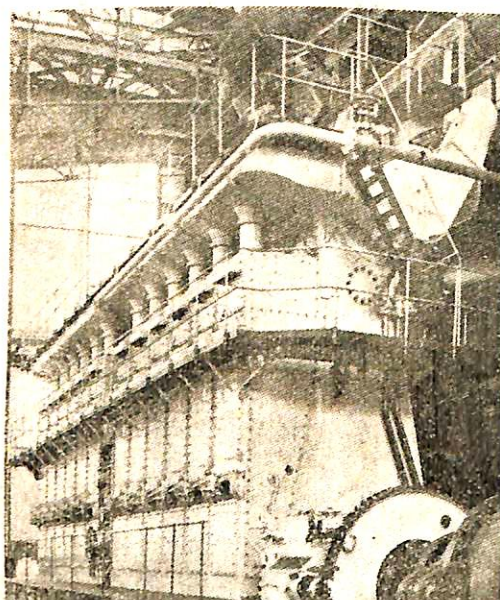
事項は次の通りである。

1. ボイラ油を燃料とするように特に設計された機関
2. 新しい二行程ターボ過給機関
3. 高過給四行程機関
4. 齒車減速二行程および四行程機関
5. 高速の艦艇用機関
6. 自由ピストンとガスターピンの組合せ
7. 船用ガスターピン

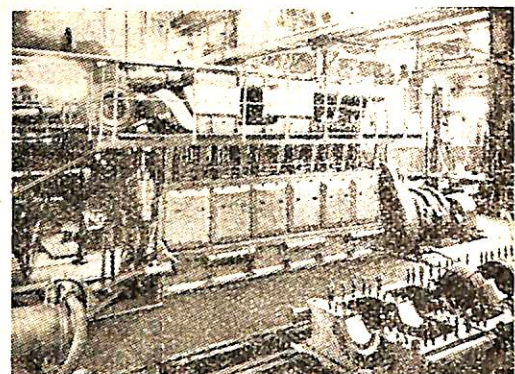
ボイラ油で運転する特殊設備を持つた例としては Stork 二行程単動機関と Sulzer 機関の二つが挙げられるが、これらはいずれも新しい設計である。200以上のモーター船が昨年中にボイラ油を使用できるよう装置された。

世界で最初のターボ過給二行程機関が昨年中に船に搭載されたが、これは Songkla の B&W 機関——1952年に完成した Dorthe Maersk は B&W ターボ過給機関をつけた最初の船ではあるが、これは最初普通給氣機関として設計されたものであつた——および Prins Willem van Oranje の 9,600b.h.p. Werkspoor-Lugt 機関である。前述の Stork 機関もまた過給機関であつて、これは既に工場運転が行われた。一方興味のあるのは沿海貨物船に搭載された Sirron の過給二行程小型機関である。同じ型式の 1,600 b.h.p. の機関は最近完成する。

高過給四行程機関は未だ實船にとりつけられないが、現在製造中であつて、1954年中にはその著しい發展が報ぜられるであろう。この研究は英國では Mirrlees, P.



第3圖 9,600 b.h.p. Werkspoor-Lugt 過給  
2サイクル機関



第4圖 National 1,600 b.h.p. 齒車減速過給  
4サイクル機関

イツでは M.A.N 社で行われており、 $12.6 \text{ kg/cm}^2$  以上の平均有効壓力で運転する機関が期待されている。齒車減速四行程機関付モーター船が昨年中に相当數ドイツで建造された。英國ではこの種機関はトロール船や捕鯨船に限られておるが、齒車減速二行程機関は新型 Sulzer 二行程高速機関を搭載した冷蔵貨物船に實例がある。しかし齒車減速機関は船主および造船所にかなり關心が持たれている。現在建造中の多數の掃海艇および高出力のフリゲート用としてこの種機関を採用していることは、ここ數年間に著しい進歩をもたらすことになるであろう。

將來商船用機関に影響を與えるべき艦艇用高速機関に關し、多くの業績が挙げられた。英國では Deltic 機関が 1953 年中に試験されたが多くの海軍技師の意見によれば本機関は偉大な可能性を示している。

航空機用原動機技術の支流として設計された Nomad のガスターピン附ディーゼル機関は重要である。一方 Götaverken 高速對向ピストン過給四行程機関の試作機の試験が昨年行われたが、これも多くの興味と可能性のある設計である。

英國海軍は高速艦艇用ガスターピンの進歩を促し、再び今後の商船に影響を與えんとしている。すなわち Rolls-Royce 5,400b.h.p. 機関が試験され、哨戒艇に搭載中であり、また Metrovick ガスターピンは更に發展した。フランス海軍の掃海艇多數に自由ピストン機関およびガスターピンが裝備され、また同じ裝置が初めて商船に搭載され既に就航している。

昨年における一般船用機械の進歩については、タンカーにおいて交流の採用が増加したことが注目される。この分野における進歩は更に益々重要性を増し、ついには全タンカーが補機および照明用に交流を採用するよう

1953年竣工船舶に搭載せるディーゼル機関の型式別集計表

國名	2 O	2 S	2 D	4 S	Total I.H.P.
イギリス	440,450	64,900	—	26,400	531,750
ドイツ	—	234,700	124,150	123,900	482,750
スウェーデン	—	366,550	34,000	—	400,550
オランダ	23,200	148,450	36,800	19,100	227,550
日本	—	198,750	27,300	—	226,050
フランス	6,800	153,500	—	1,600	161,900
イタリア	—	151,850	—	—	151,850
デンマーク	—	121,550	—	—	121,550
ノルウェイ	35,950	39,950	6,800	—	82,700
カナダ	—	20,000	—	—	20,000
ベルギー	—	12,900	—	—	12,900
ニースラビア	—	11,600	—	—	11,600
スペイン	—	6,300	—	3,500	9,800
フィンランド	—	7,500	—	—	7,500
オーストラリア	—	2,850	—	1,350	4,200
アメリカ	—	—	—	2,700	2,700
中國	—	1,800	—	—	1,800
Total I.H.P.	506,400	1,543,150	229,050	178,550	2,457,150

註 2O: ニサイクル對向式, 2S: ニサイクル單動, 2D: ニサイクル複動, 4S: 四サイクル

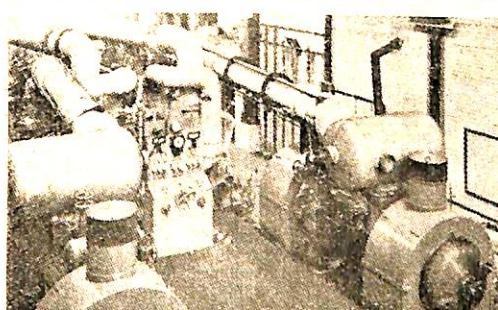
になるであろう。貨物船の船尾機関配置が注意を引いており、この配置のモーター船が數隻建造された。このような設計が優れていることが證明されるにもかかわらず、保守的な考え方の前にはこれによつて生ずるイニシャルコストの低減、載貨容積の増加も餘り重要視されないのである。現在 Belfast で建造中の船尾機関20,000トン Shaw Savill 定期旅客船が就航するようになれば、これらの提案がずっと多くの關心を引くに違いない。最も經濟的な補機駆動方式は何かということについては未

だに結論が出ない。主機排氣で蒸氣を作ることが廣く行われているが、この窮屈の目的は、このようにして得た蒸氣で、全補機を運轉することである。今日でもなお港内碇泊日数の多い貨物船については、電動補機がイニシャルコストが高いにもかかわらず經濟的であるといわれるが、これは主として年に100日またはそれ以上港内におけるために燃料消費を節約しうることによるのである。タンカー會社は主機ディーゼルの排氣によつて發生する蒸氣で全補機を運轉することに特に興味を持つてゐる。

#### 機関の型式

英國で1953年中にモーター船にとりつけられた推進機関の約82%（出力で）は對向ピストン式であるが、世界の全體に對しては20.5%に當る。全世界の數字の63%は二行程單動機関であるが、各國毎の機関型式別の實績は上表の通りである。

對向ピストン式 (Doxford および Harland-B&W) は1952年に比し約 20,000i.h.p. 減である。(Y)



第5圖 貨物船用 1,600 b.h.p. 自由ピストン機関

# 水槽試験資料44 (M.S.74×M.P.64, M.S.75×M.S.65)

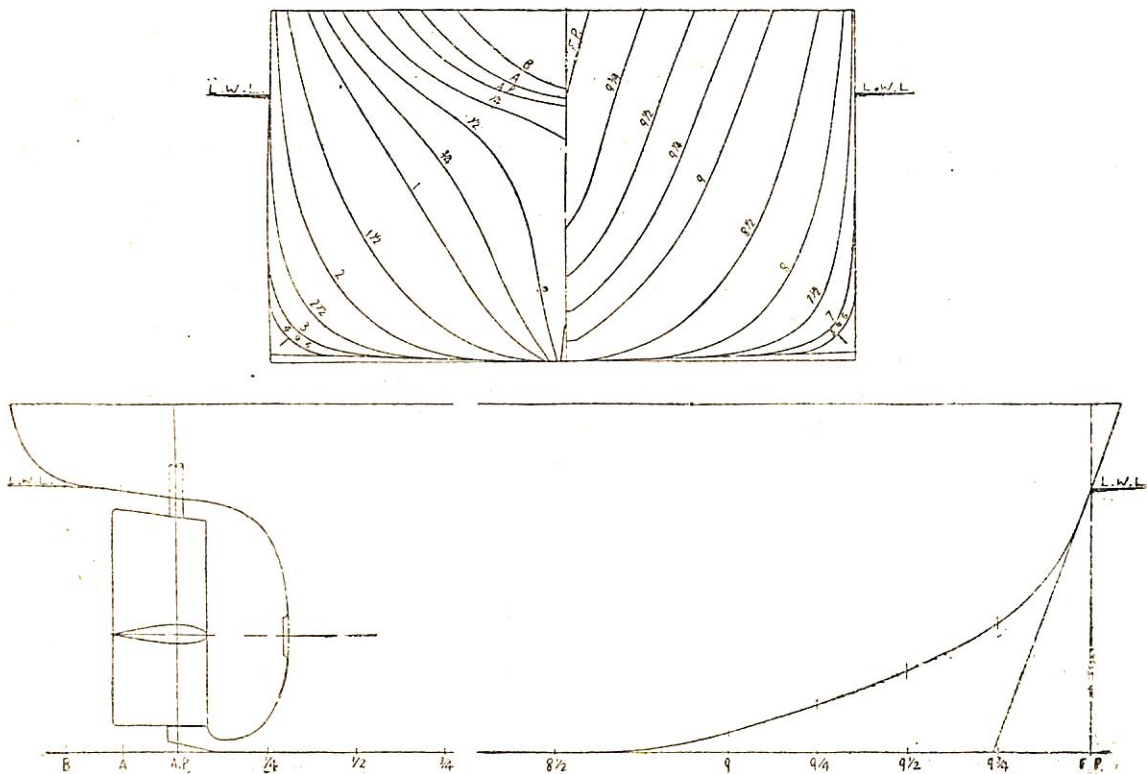
船舶編集室

## 小型油槽船の模型試験

小型船の資料として小型タンカーの模型試験成績2例を掲げる。M.S.74は長さ61米の、M.S.75は53.5米の實船に對應するそれぞれ5.5米および4.5米模型船である。兩船の主要寸法は試験に使用した模型推進器の要目とともに實船の場合に換算して第1表に示し、正面線圖および船首尾形狀を第1圖および第2圖に示す。M.S.74はマイヤー型に近い船首形狀を有し、M.S.75はカウタ

ー・スターンである。また前者は主機として往復動汽機の搭載が豫定されたので推進器回轉數が小で、推進器のピッヂが大である。船は兩船とも流線型舵が裝備されている。

試験はM.S.74については滿載、半載および半載貨の3狀態で、M.S.75については滿載と半載貨の2狀態で施行された。結果は第3圖および第4圖に示す。



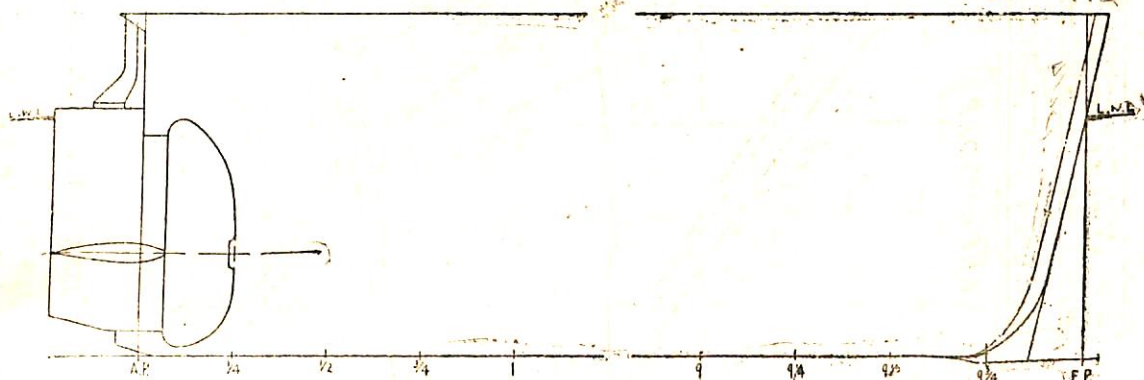
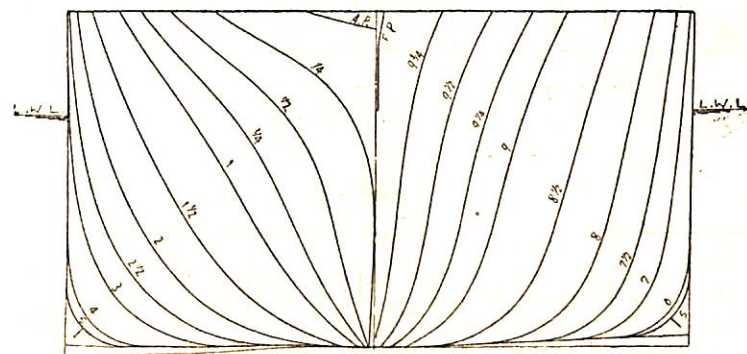
第1圖 M.S.74 正面線圖および船首尾形狀圖

第 1 表

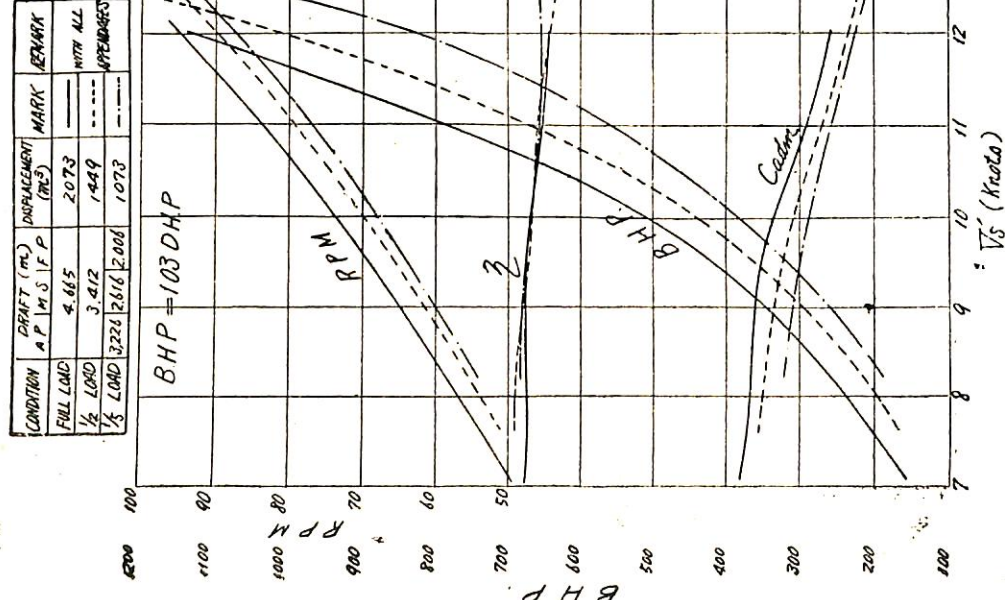
M.S. NO.	74	75
長さ (LBP)	61.00 米	53.50 米
幅 (B) (外板を含む)	10.03 米	8.93 米
吃水 (d)	4.624 米	3.444 米
吃水線の長さ (L.W.L.)	62.651 米	53.50 米
排水水量 (J)	2125 吨	1150 吨
Cb	.727	.682
Cp	.746	.704
C <sub>W</sub>	.974	.968
Icb(LBPの%にて印より)	+.326	-.14
平均外板の厚	.015 米	.0146 米
$\lambda_s^*$	.14377	.144325
$\lambda'_s^*$	.16885	.17875

\* 印 L.W.L. に基く

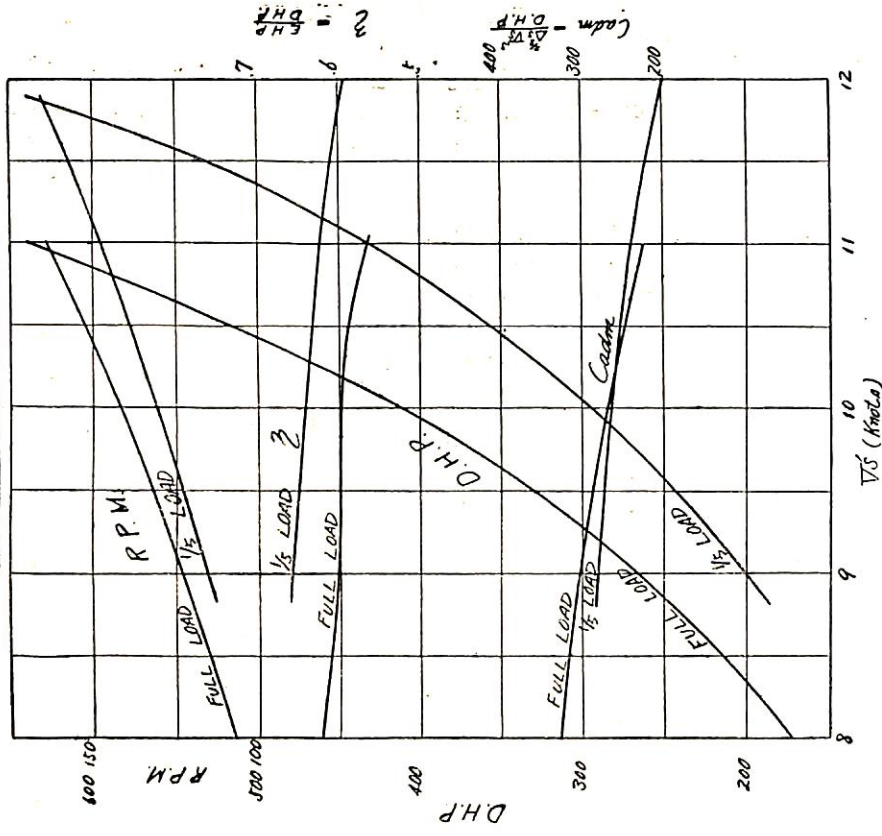
M.P. NO.	64	65
直徑比	3.600 米	2.590 米
ビッチ (0.7R, 適増)	.194	.180
ビッチ比 (λ)	471.7 米	237.3
展開面積比	1.310	.916
翼厚比	.390	.408
傾斜角	.040	.042
翼數	13°~30'	10°~0'
回轉方向	4	4
翼断面形状	右迴	右迴
	エーローホイル	エーローホイル



第 2 圖 M.S. 75 正面線圖および船首尾形状圖



CONDITION	DRAFT (m)	DISPLACEMENT (T)	MARK	REMARK
FULL LOAD	4.665	2073		WITH ALL OPERATORS
1/2 LOAD	3.412	1449		
1/4 LOAD	3.224	1206		



第3圖 M.S. 74×M.P. 64 B.H.P. 等曲線圖

第4圖 M.S. 75×M.P. 65 D.H.P. 等曲線圖

## 鋼船建造狀況月報(7月)

運輸省船舶局造船課

(イ) 造船所別工事中船舶

(29年7月末現在)

造船所	貨物船	油槽船	鐵, 連	客船	漁船	曳船	雜船	輸出船	合計
安藤鐵工						3	175		3 175
甘粕・大阪	1 290		1 160						1 290
第一造鐵		1 650					1 130	1 380	1 160
藤永田						1 100			1 100
福崎船渠		2 4,500					5 43,060	7	47,560
播磨・相生							1 350		1 350
播磨・吳					1 600				1 600
林兼				1 700	1 700				2 1,400
日立・向島									1 12,900
"・因島			1 12,900						
石川島		1 620					61 13,620	61	13,620
飯野舞鶴									1 620
糸崎造鐵							3 324	3	324
川崎重工	2 2,940						1 24,200	3	27,140
金指造船					3 1,000				3 1,000
金川造船	1 350								1 350
三井・玉野	1 7,550		1 230		1 990				3 8,770
三菱・長崎		1 13,600						2 42,000	3 55,600
"・廣島		1 4,250							1 4,250
"・下關		2 1,90							2 1,990
三保造船					5 1,760				5 1,760
丸菱商會							1 135		1 135
钢管・鶴見							1 12,700	1	12,700
"・清水	1 9,900		1 690						1 9,900
名古屋									1 690
名村造船							1 140		1 140
N.B.C. 吳							2 43,600	2	43,600
新三菱・神戸		1 1,600							1 1,600
佐野安	3 660		1 600						3 660
鹽山船渠									1 600
新湊銀造							1 24		1 24
鶴見船渠							1 200		1 200
火平工業	1 160								1 160
浦賀(横)							1 150		1 150
(浦)	1 580								1 580
山谷重工			1 130			▲ 1	▲ 500		1 500
内田邊製鋼									1 130
渡横濱造船車輛						2	150		2 150
山本造船						1	300		1 300
浅野崎造船	1 900					1	90		1 90
東造船						1	9		1 65
合計	13 23,750	14 41,770	1 230	—	12 5,115	—	17 2,453,76	179,884	133 253,202

工事中止中  
(▲印) - - H - H - - 1 500 - 1 500

(口) 起工船

(29年7月中に報告のあつたもの)

造船所	船番	船	主	總トン数	主機馬力	用途	起工年月日
川崎重工	935	川崎重工	工運業	1,470	D	1,100	貨油
鹽山船渠	216	商船	輸運	600	〃	650	29.7.8
三保造船	191	住吉	漁業	570	タ	900	漁(鮪)
横崎造船	197	知床開發	宇登呂漁協組	65	不明	不	漁
名村造船	275	池田	商事	140	—	—	雜(船)
安藤鐵工	1,016	静岡	砂利	65	—	—	〃(砂利)
渡邊製鋼	122	建設	省	130	—	—	〃(浚)
新湊鐵造	5	能登	開發	24	—	—	〃
播磨相生	491	バナマ	開向	20,900	T	15,000	輸(油)
〃	492	〃	向	〃	〃	〃(〃)	〃
藤永田	35	タイ	イ海軍	380	D	800×2	〃(警察練習)
石川島	734-1	米國	海軍	180排水	〃	165×3	〃(上陸用舟艇)
〃	〃2~9	〃	各	〃	〃	〃(〃)	各〃
鶴見船渠	159	菊地	利明	200	—	—	雜(船)
福崎	37	辻	組	100	—	—	〃(浚)
共同製作	57	三角	石油	5	D	15	〃(給油)
山本造船	11	宮田	福一	90	H	100	〃(〃)
丸菱	103	松藤	商事	135	H	150	〃
東造船	29,012	電源	開發	9	D	8	〃(巡視)
合計				26隻	47,403	總噸	

(八) 進水船

(29年7月中に報告のあつたもの)

造船所	船番	船	主	總トン数	船	主	主機馬力	用途	進水年月日
佐野安	116	瑞光丸	丸	300	曉海運	D	310	貨油	29.7.17
藤永田	33	松邦丸	丸	650	松岡汽船	〃	650	油	〃
播磨相生	485	壽洋丸	丸	3,350	森田汽船	〃	2,500	〃	〃
〃	486	第二共榮丸	丸	1,150	共榮タンカー	〃	900	〃	29.7.2
三菱下關屋	493	第56日寶丸	丸	1,300	島津海運	〃	1,200	〃	29.7.17
名古屋	112	興和丸	丸	690	平和汽船	〃	900	〃	29.7.23
三井・玉野	584	みやじま丸	丸	230	國有鐵道	〃	350	鐵連	29.7.20
佐世保船舶	103	第10垂水丸	丸	126	垂水汽船	〃	450	客	29.7.2
林兼造船	841	第16文丸	丸	600	大洋漁業	〃	3,000	漁(捕鯨)	29.7.17
三保造船	188	富士丸	丸	350	白子漁業	〃	750	〃(鮪)	29.7.12
金指造船	187	第3盛秋丸	丸	320	山本正平	〃	650	〃(〃)	29.7.31
〃	1	第8萬榮丸	丸	450	川口文平	〃	750	〃(〃)	29.7.29
播磨吳	2	たつた	た	350	海上保安廳	〃	750	雜(巡視)	29.7.2
共同製作	57	第20三角丸	丸	5	三角石油	〃	15	〃(給油)	29.7.14
東造船	29,012	てんりう	電源開發	9	T	15,000	輸(油)	29.7.29	
三菱長崎	1,440	WORLD JUSTICE		21,000	リベリヤ向	T	6,500×2	輸(油)	29.7.17
N. B. C.	H-37	オアートランスポーツ		21,800	リベリヤ向	T	75	〃(監視)	29.7.3
東造船	28,036-1	—		5	タイ南電着	タ	75	〃(監視)	29.7.8

第一造船	不 <sup>2~4</sup> 明第2	杉野丸	160	各	村野竹松	D	各	各(〃)	各
鶴見船渠	165第6	喜久丸	140	杉木喜雄	〃	280	油	29. 6. 30	
松浦造船	70高砂丸	70	江崎汽船	〃	160	〃	〃	29. 6. 1	
浦賀横濱	667	一	150	佐伯組	220	客	29. 6. 19		
横濱造船車輛	1,036第5	セネラルモーターラル丸	300	ゼネラルモーターラル	〃	〃	雜(浚)	229. 6.	
東造船	28,032-1	一	60	タイ向	D	500×3	輸(監視)	29. 6. 8	
"	" 2	—	60	〃	〃	〃	(〃)	"	
"	29,007	—	5	關西電力	電着	45	雜(〃)	29. 5. 10	

合計 29隻 53,645總噸

(二) 竣工船

(29年7月中に報告のあつたもの)

造船所	船番	船名	總トン数	船主	主機関	用途	竣工年月日
日立櫻島	3,728	山國丸	7,750	山下汽船	D	7,500	貨
飯野舞鶴	6	春日丸	8,000	日之出汽船	T	4,500	〃
三井玉野	581	寶永山丸	6,900	三井船舶	D	11,250	〃
三菱廣島	117	まにら丸	9,000	日本郵船	T	8,500	〃
播磨相生	481	伊勢丸	13,200	照國海運	D	9,300	油
" 吳	3	福洋丸	880	森田汽船	〃	750	〃
三菱日本横濱	795	さんらもん丸	12,300	三菱海運	〃	8,500	〃
鹽山船渠	215	神幸丸	600	神戸石油	〃	650	〃
新三菱神戸	860	春景丸	700	共正海運	〃	830	客
"	858	ぶらじる丸	10,100	大阪商船	〃	9,000	貨客
佐世保船舶	108	第10垂水丸	126	垂水汽船	〃	450	客
日立向島	3,735	第10興南丸	700	日本水產	〃	3,280	漁(捕鯨)
三菱日本横濱	797	第2公洋丸	490	北海道漁業公社	〃	850	〃(冷運)
三保造船	187	大富士丸	470	静岡縣	〃	〃	(練習)
"	185	永代丸	〃	報國水產	〃	〃	(館)
金指造船	182	第5高取丸	320	小林竹彌太	〃	650	(〃)
"	188	第15海王丸	〃	中村八十八	〃	〃	(〃)
播磨吳	1	とかち丸	350	海上保安廳	〃	700	雜(巡視)
共同製作	57	第20三角丸	5	三石石油	〃	15	〃(給油)
安藤鐵工	335	—	55	相模鐵道	—	—	〃(砂利)
渡邊製鋼	119	—	20	前田建設	—	—	(浚)
久保田建機	192	—	250	運輸省二港建	—	—	雜(起重機)
日立櫻島	3,732	BAUMASEPE	6,800	インドネシア向	D	4,600	輸(巡禮)
" 因島	3,731	SAWEGA	〃	〃	〃	〃	(〃)
東造船	28,036-1	—	5	タイ向	電着	75	〃(監視)
"	" 2~4	—	各 5	〃	〃	各 〃	(〃)
鶴見船渠	165	第6喜久丸	140	村木喜雄	D	160	油
松浦造船	70	高砂丸	70	江崎汽船	〃	220	客
東造船	28,032-1	—	60	タイ向	D	500×3	輸(監視)
"	" 2	—	60	〃	〃	〃	(〃)
"	29,007	—	5	關西電力	電着	45	雜(〃)

合計 33隻 86,961總噸

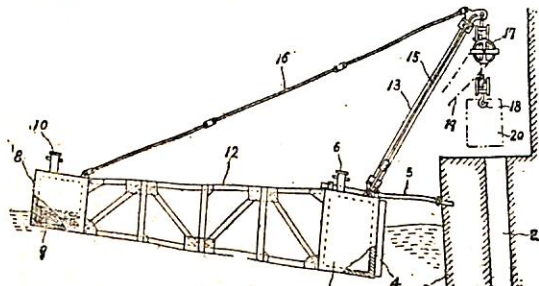
# 特許解説

大谷幸太郎  
特許商

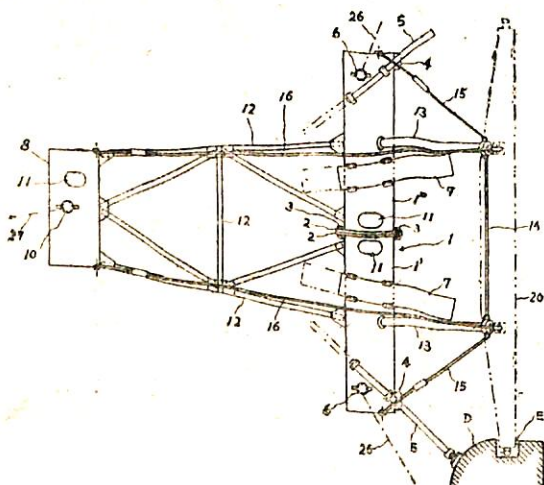
工事用デリックポンツーン（昭和29年特許出願公告第3,062号、発明者・坂本義雄、出願人・合資會社建裝工業社）

本発明は山間の河川、または湖沼等の工事、例えは水力ダムのテンダーゲート塗装工事における角落し作業やその他起重機の据付けのない水邊地帯の工事等に使用するに便利なデリックポンツーンに関するもので、安定性よく、また分解組立も自由に出来て使用場所への輸送を容易に行うことが出来るものである。

圖面について説明すると、1は數個（圖面では2個）の長方形浮體 $1'$ 、 $1''$ を横方向に連結しそのフランジ $2$ 、 $2'$ をボルト $3$ で着脱可能に綴付けた主浮體である。8は尾部の長方形浮體でその内底部には固定バラスト $9$ が設けられている。12は數個に適宜分割出来るように形成された連結作材で、これにより前記主浮體1と尾部浮體8とが着脱自在に連結されT字形のポンツーンが構成さ



第1圖



第2圖

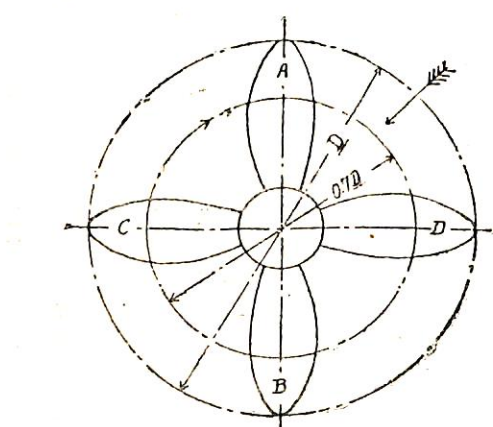
れるのである。13、13は主浮體1の両側に設されたデリックのジブでその上端にチェーンブロック17が設けられている。19は操作チェーン、20は吊下げ重量物である。

本発明のデリックポンツーンは以上述べたようにT字形に構成されているから浮力は極めて安定でデリックを最前方の主浮體1に取付けることが出来、その使用に際しては尾部浮體8の固定バラストを有効に作用させてポンツーンの傾動を極めて少くすることが出来る。なお本発明のポンツーンは主浮體1の両側に取付けられた繫留索26、26および尾部浮體の張設索28を操作することにより適宜移動されるものである。

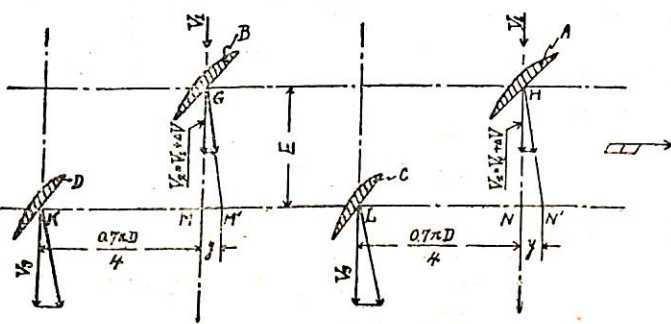
船舶の推進装置（昭和29年特許出願公告第3,066号、出願人・発明者・近藤市郎、田邊正雄）

本発明は2枚の前翼によって後方に蹴られ加速された水が2枚の後翼の回轉面に到達した瞬間にこの後翼で再び掻かれるよう前後翼間の距離を決定した2段4翼の船舶の推進装置に関するものである。

圖面について説明すると、A、Bは2枚の相対する前翼、C、Dは2枚の相対する後翼で水流は $V_1(m/sec)$ の速度で前翼に入り、 $V_2(m/sec)$ に加速されて後翼に達した時に



第2圖



第 3 圖

ここで再び搔かれて  $V_2$  (m/sec) の速度になつて推進器を出るように前後翼間の距離  $E$  (m) を決定するのである。

そこで以上の関係を推進器の平均作用點と考えてよい前翼の直徑  $D$  (m) の 70% の點の翼断面展開圖である第3圖について考えることにする。水が前後翼間を通過する時間は  $E/V_2$  (sec) で、いま 0.7D の直徑の圓周上において前翼の後流が前後翼間を流れる間に切線方向に流れる距離を  $y$  (m) とすれば、後翼が 0.7D の圓周上において  $\frac{\pi \times 0.7D}{4} + y$  (m) だけ回轉する時間は

$$\frac{0.7\pi D}{4} + y \\ \frac{0.7\pi DN}{4} (\text{sec}) \quad (\text{但し } N(\text{rev/sec}) \text{ は推進器の回轉數})$$

然るに本説明では前記の兩時間は等しくされるから

$$\frac{E}{V_2} = \frac{\frac{0.7\pi D}{4} + y}{0.7\pi DN}$$

$$\text{従つて } E = \frac{0.7\pi D + 4y}{2.8\pi DN} V_2$$

ここで  $4y$  は  $0.7\pi D$  に比して無視し得る程度に小であるからこれを省略すると

$$E = \frac{V_2}{4N} \quad \dots \dots \dots (1)$$

次に  $V_2$  を求めるため第4圖の 0.7D 斷面の速度線圖において ab を  $P \times N$  とし (但し  $P(m)$  は前翼のピッチ) この線上において  $V_1$  に相當する長さを  $b_0$  とし o點から ac 線に垂直に  $oq$  を引き  $or = noq$  ならしめ  $rs$  を cb 線に平行に引けば後述するよう  $bs = V_2$  となる。ここに  $n$  は誘導速度と失脚 ( $P \cdot N - V_1$ ) の翼面に直角方向の分速との比であつて推進器によつて多少の幅はあるが一般に 0.7 とすることが出来る。なお  $\angle qcr$  は小であるから  $\angle orc$  は直角と見做すことが出来る。

さて一般に翼の圓周速度 ( $0.7\pi D \cdot N$ ) と翼に入る水の速度との誘導速度のベクトル和が翼に入る水の入射方向を決定するのであるから多角形  $cborc$  をこのベクトル線圖と見えることが出来、従つて  $or$  は誘導速度と見做すことが出来る。この誘導速度の  $V_1$  の方向の分力である  $os$  は前翼の後における附加速度  $\Delta V$  (m/sec) であつてこの附加速度  $\Delta V$  と  $V_1$  との和である  $bs$  は後翼に入れる速度  $V_2$  となるわけである。

$$\text{故に } V_2 = bs = V_1 + \Delta V$$

$$= V_1 + n(P \cdot N - V_1) \cos^2 \theta \quad \dots \dots \dots (2)$$

(但し  $\theta$  は前翼の 0.7D の點におけるピッチャングル)

(1), (2) から

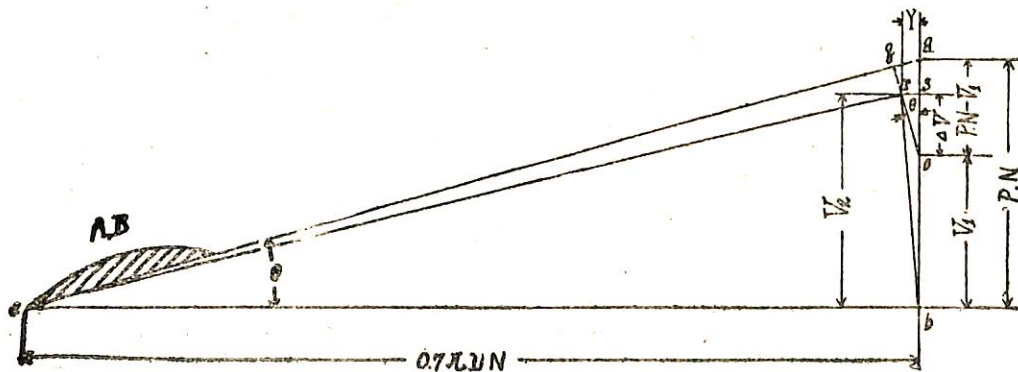
$$E = \frac{V_2}{4N} = \frac{V_1 + n(P \cdot N - V_1) \cos^2 \theta}{4N}$$

然るに  $V_1 = \text{船の速度} \times (1 - w)$

$$= P \cdot N(1 - S_a)(1 - w)$$

但し  $S_a$  は見掛けのスリップ比は、 $w$  ウエーキファクター)

従つて



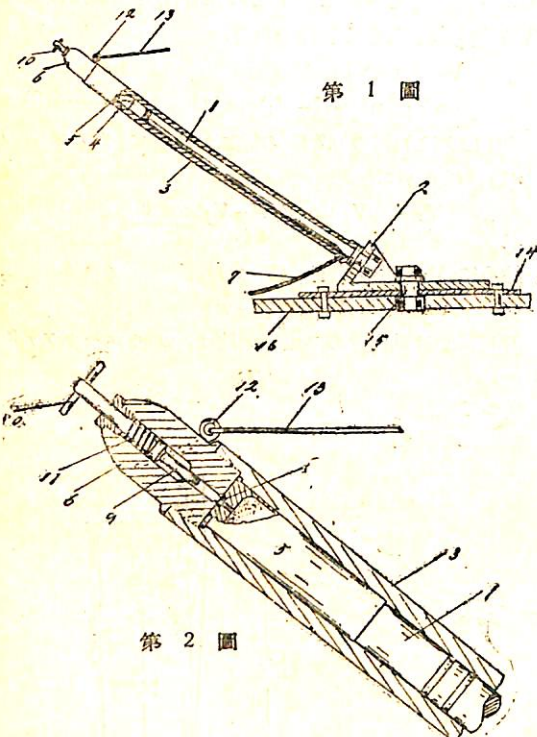
第 4 圖

$$E = \frac{P}{4} \left\{ (1 - S_a)(1 - w)(1 - n \cos^2 \theta) + n \cos \theta \right\}$$

が得られ、ここに前述の距離  $E$  を決定することが出来る。距離  $E$  をこのように決定することによつて後翼を前翼の後流速度の水流に對し有効に作用させ兩翼の綜合効率を向上させることが出来るのである。

救命索發射裝置（昭和29年特許出願公告第3,363號、出願人・發明者 猶製武吉）

從來使用されている救命索發射裝置においては、普通の捕鯨用銛の發射裝置と同じように砲身内に銛を挿入しておき、この銛の砲口から先に出ている部分に縦方向に長い溝状孔を設けてこの孔の上部に環状金具を挿通しこの金具に救命索を取付けていたものである。このような裝置においては銛が砲口から發射され、この銛の移動によつて環状金具が銛の溝状孔の後端に衝突した時に始めて環に結着した救命索が銛とともに發射される。従つて救命索はこの時急激な衝撃をうけ、そのため銛の速度は減殺されてその運動方向に狂いを生じかつ救命索は損傷をうけ易い缺點があつた。



第1圖

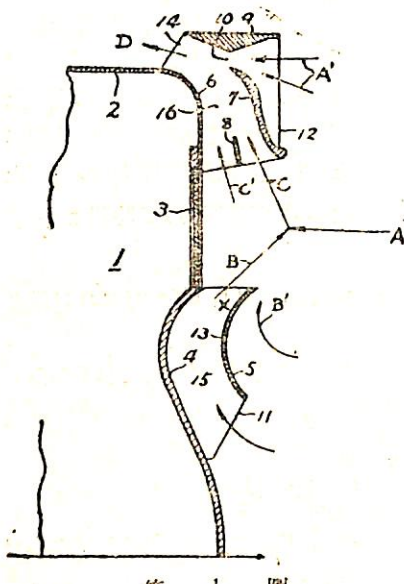
第2圖

本發明は以上のような缺點を除去して銛の發射と同時に救命索を發射することが出来るようにしたもので、從來の觀念とは丁度逆に砲身に相當する軸の周圍に筒状に形成した銛を装着するようにしたものである。

圖面に示すように、1は前記の軸で臺板2上に斜に突出して固定され、この上に筒状の銛3が装着されている。そして軸1の上端には薬莢5を取付け、次に雷管擊發装置を設けた部分6を筒體3に螺着する。この擊發装置中には擊針6があつて紐13により作動されるようにしてあり、一方銛の下端には救命索7が結び着けられている。従つていま紐13を引いて銛3を發射すると、銛3とほぼ同時に救命索7は曳行されて發射するから、從來の銛のように過激な衝撃をうけることなくその彈道に狂いを生じないのである。

窓における遮風裝置（昭和29年實用新案出願公告第5,062號、考案者・村上外雄、高橋高藏 出願人・石川島重工業株式會）

本考案は船舶、車輛等の走行裝置の前面窓に用いる遮風裝置に改良を加えたものである。



第1圖

圖面において1は前面室で、2は天井、3は前面窓である。窓の外側下方には凹彎曲板4,5によつて風の旋回吹揚路が形成され、また窓の外側上方には流線板材6,7によつて吹揚路15からの旋回吹揚風に対する誘導吹揚路16が

形成されている。このような遮風裝置は從來提案されたところであるが、本考案はこのようなものにおいて特に吹揚路の外部壁を形成する前記凹彎曲板5に通氣孔13を設けたものである。

いま窓3に向つて衝風をうける時、吹揚路15によつて矢Bの方向に吹揚げられた風は窓前面の衝風Aと作用し、その合成氣流がほぼ誘導吹揚路16を通り矢Dの方向に出る。然るにこの場合吹揚路15を通過する氣流が彎曲部Xを旋回する時に渦を生じ、このため氣流C, C'特にC'の吸揚作用が阻害され、遮風効果を減殺する缺點があつた。そこで本考案では凹彎曲板5に通氣孔13を設け、吹揚路15内外の氣流の氣圧を平衡させてX部に起る剥離の現象を除去するようにしたのである。

# 新刊

東京水産大學教授 東京大學講師 宇田道隆著 **海洋氣象學** A5判 上製 300頁  
¥ 500圓 (送50圓)

四面海に囲まれたわが國が海洋氣象からうける影響は大きい。本書は海洋の氣象についてそのあらわしの現象をとらえて、わかりやすく解説し、廣く海洋氣象、漁業氣象の知識を與え、海洋災害開拓に役立てようとしている。  
漁業、航海に從事する人々と學生は勿論一般教養人に必読の書。

上野喜一郎著 **船の歴史(第二卷)** A5判 上製 300頁  
定價420圓(送50圓)

鯫島直人著 **船位誤差論** A5判 上製 250頁  
定價450圓(送50圓)

## 天然社・海事圖書

- 宇田道隆著 A5 上製 300頁 500圓 (送50圓)  
**海洋氣象學**  
和達・嵐山・福井監修 A5 450頁 1200圓 (送50圓)  
**氣象辭典**  
中谷勝紀著 A5 全2冊 230頁 500圓 (送50圓)  
**舶用ディーゼル機関の解説**  
上野喜一郎著 A5 箱入 63頁 850圓 (送50圓)  
**船舶安全法規**  
天然社編 B5 上製 220頁 450圓 (送40圓)  
**船舶の寫眞と要目 第2集** (1953年版)  
天然社編 B5 普及版 300頁 300圓 (送40圓)  
**船舶の寫眞と要目** (1951年版)  
上田篤次郎著 A5上製 (折込7枚) 500圓 (送40圓)  
**舶用電氣設備**  
造船協会電氣接続研究委員會編  
A5判総アート 200頁 360圓 (送40圓)  
**船の熔接設計要覽**  
小林恒治著 A5 上製 260頁 420圓 (送40圓)  
**實用航海術**  
小野寺道敏著 A5 上製 340頁 500圓 (送40圓)  
**氣象と海難**  
山縣昌夫著  
**船型學(推進篇)** B5 上製 350頁  
850圓 (送50圓)  
**船型學(抵抗篇)** B5 上製圖表別冊  
700圓 (送50圓)  
上野喜一郎著 A5 上製 280頁 380圓 (送30圓)  
**船の歴史(第一卷) 古代中世篇**  
米國造船學會編 米原令敏譯 各 B5 上製  
**舶用機關工學** (第1分冊) 650圓 (送50圓)  
" (第2分冊) 520圓 (送50圓)  
" (第3分冊) 700圓 (送50圓)  
" (第4分冊) 800圓 (送50圓)  
船舶局資材課監修 B5 上製 400頁 650圓 (送50圓)  
**船舶の資材**

- 茂在寅男著 B6 上製 210頁 280圓 (送25圓)  
**解說「レーダー」**  
橋本・森共著 A5 上製 200頁 300圓 (送30圓)  
**船舶積荷**  
佐田啓二著 A5 上製 200頁 280圓 (送25圓)  
**海上衝突豫防規則提要**  
小野暢三著 A5 上製 170頁 250圓 (送25圓)  
**舶用聯動汽機**  
春日・杉浦・雨宮監修 A5判 500頁 800圓 (送50圓)  
**水產辭典**  
矢崎信之著 B6 上製 300頁 250圓 (送25圓)  
**舶用機關史話**  
天然社編 B5判 180頁 280圓 (送25圓)  
**船用品の解説と紹介**  
朝永研一郎著 A5 上製 210頁 250圓 (送25圓)  
**舶用機關入門**  
渡邊加藤一著 A5 上製 200頁 280圓 (送25圓)  
**荒天航泊法**  
小谷・南・飯田共著 A5 上製 340頁 450圓 (送40圓)  
**機關士必携**  
佐田啓二著 A5 上製 400頁 450圓 (送40圓)  
**船舶運用學**  
小谷信市著 A5 上製 300頁 350圓 (送40圓)  
**舶用補機**  
小野暢三著 B5 上製折込圖 4葉 400圓 (送40圓)  
**貨物船の設計**  
高木 淳著 A5 上製 240頁 300圓 (送40圓)  
**初等船舶算法**  
中谷勝紀著 A5 上製 320頁 350圓 (送40圓)  
**舶用ディーゼル機關**  
中谷勝紀著 A5 上製 200頁 250圓 (送25圓)  
**舶用燒玉機關**  
神戸高等商船學校航學部編  
A5 上製 180頁 180圓 (送25圓)  
**航海士必携**  
關川武著 B6 上製 140頁 130圓 (送25圓)  
**艦裝と船用品**

# SHOWA OIL

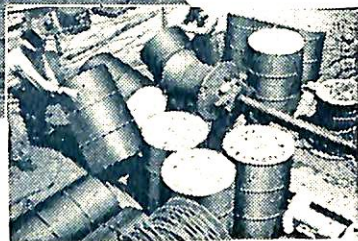
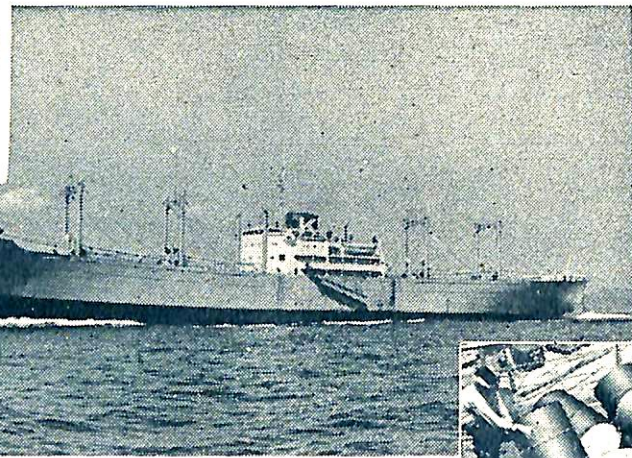
社 標



登録商標



川崎汽船会社所有国川丸の雄姿と同船主機用として昭石特デーゼル油積込の図



昭石の新製品溶剤製潤滑油特号は化学的安定度の極めて高い純粹の精製礦物質油であります。各船主及機関士各位には昭石特号製品が凡ゆる運轉状態の下に完全な潤滑を與え而も航行浬数当りの消費が僅少である事を体验して居られます。

川崎汽船会社所有国川丸（重量屯数 10,842 吨）装備のデーゼル機関は昭石特 1 号、特 2 号、特 3 号デーゼル油を以て正しく潤滑され最高の能率を擧げ乗組員の好評を博して居ります。

（詳細は各営業所に御問合せ下さい。）

## 英系シエル石油會社提携

資本金 拾 七 億 円

# 昭和石油株式會社

取締役社長 早山 洪二郎 取締役副社長 I.W.H. SITWELL

本 社	東 京 都 中 央 区 日 本 橋 馬 嘰 町 一 丁 目 一 番 地 ノ 二
	電 話 茅 場 町 (66) 1 2 4 0 ~ 9
本 社 分 室 及 所	東 京 都 中 央 区 日 本 橋 小 伝 馬 町 二 丁 目 二 番 地 ノ 五
東 京 営 業 所	滋 賀 ビ ル 内 電 話 茅 場 町 (66) 1 2 1 0 ~ 9
大 阪 営 業 所	大阪 市 北 区 梅 田 町 二 七 番 地 産 経 ピ ル
福 岡 営 業 所	福 岡 市 港 町 三 二 番 地 電 話 小 樽 5 6 1 5 • 1 9 6 7
名 古 屋 営 業 所	名 古 屋 市 天 神 町 八 番 地 西 日 本 ピ ル
當 工 廣 島	廣 島 新 潟 秋 田 仙 台 坂 出
	川 崎 新 潟 平 沢 海 南 関 屋 彦 島 鶴 見 品 川 研 究 所



# HOKUSHIN GYRO-PILOT

日本特許第192363号

(昭和26年9月27日)

PATENTS UNDER APPLICATION TO

U. S. A. (No. 224506)

GREAT BRITAIN (No. 11081)

## 製造品目

アンシュツ ジャイロ コンパス  
北辰式 ジャイロ バイロット  
北辰圧力式 ログ  
船用電気計器 各種

*Single unit & Two unit*



## 株式会社 北辰電機製作所

本社 東京都中央区日本橋3丁目312 電話都24(03) 2241~4  
支店 大阪市東区今橋4-1-1三井信託ビル電話北浜(23) 2161~2  
サービス 神戸市生田区栄町通2-45万成商会内電話元町(4) 21092  
スナーショップ 横浜市中区元町(4) 21092 電話門司 209-0



## 船用計器の総合メーカー

### 東京計器

米国スペリー社・キディー社・ベンディクス社提携

スペリー ジャイロ コンパス、マリンレーダー、ローラン  
マグネットックコンパスバイロット、マイナー Ei ジャイロ コンパス  
小型レーダー キディ 火災探置並消火装置  
ベンディクスデブスレコーダー 其他各種

株式会社

## 東京計器製造所

本社 東京都大田区東蒲田 4-1-31  
TEL 蒲田 (73) 2211-1-9

東京営業所 東京都中央区京橋 1-2 セントラルビル7階  
TEL 東京二八局 (28) 8560-8

神戸営業所 神戸市生田区明石町 19 同和ビル3階  
TEL 元町 (5) 1891-1

出張所 大阪・門司・長崎・函館

**ハンシン** <HS> **ディーゼル**

船舶用  
発電用  
動力用

50~1000HP.

**阪神内燃機工業株式会社**

本社 神戸市長田区一番町三丁目一  
東京支店 東京都千代田区丸の内丸ビル601号  
下関出張所 下関市豊前田町第一ビル

**三菱** 三菱 船舶用電氣機器

品質堅固

機械機器  
電動機  
各船直電配  
機扇機盤  
電動線氣艇  
發電用  
各種船流動  
機機船  
貨艙風凍房  
操送冷壓  
動用  
電船  
電船  
動船  
電動  
船動  
電船  
動船  
電變

東京ビル・大阪堂島北町  
名古屋廣小路道・神岡三菱ビル  
札幌南一條・仙台東一番丁  
富山安住町・廣島袋町

**三菱電機株式會社**



東洋一の生産を誇る

營業種目

主要製品 銑鐵、鋼塊及び半製品、鋼材

副製品 硫安、タル製品、鉱滓製品

資本金 四拾八億圓

八幡製鐵株式會社

社長 渡邊義介

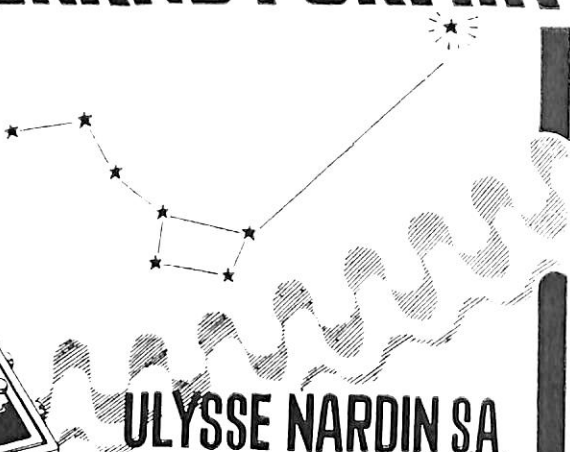
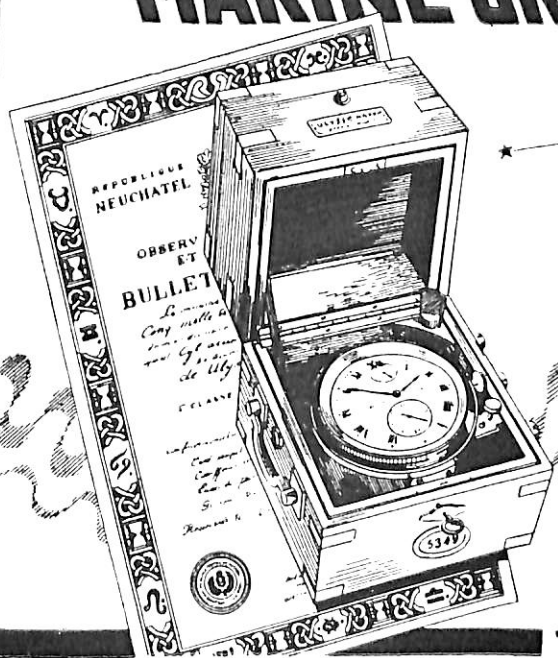
本社 東京都千代田区丸の内一ノ一(鉄鋼ビル)

電話和田倉(26) (代表) 1141, 1151, 1161

工場 八幡製鐵所 (福岡縣八幡市)

大阪事務所 大阪市西区靱南通り1ノ10

# CHRONOMETRE DE MARINE GRAND FORMAT



ULYSSE NARDIN SA

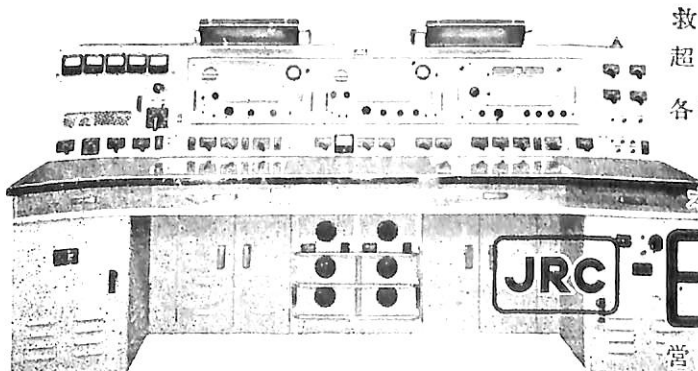
代理店 株式会社 大沢商會

中央区銀座西二ノ五  
電話京橋(56)8351~5

ナルタン マリノクロノメーター

# JRC 船舶用 無線装置

伝統の技術より  
画期的新型機完成！



## 営業品目

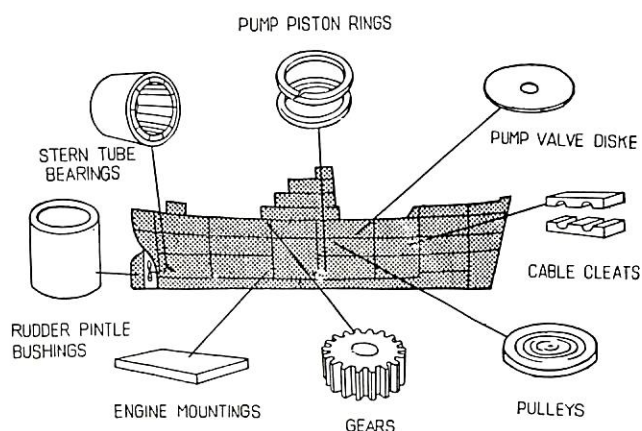
船舶用送・受信機 JRCレーダー<sup>ー</sup>  
オートアラーム受信機 ロラン受信機  
救命艇用無線機 方向探知機  
超短波無線装置 船内指令装置  
各種無線装置取付工事・修理 一切

本社 東京・三鷹・上連雀 930

JRC 日本無線

営業所 東京・渋谷・千駄ヶ谷4-693  
大阪支社 大阪・北・堂島中1-22

昭和二十五年九月月刊第三種郵便物認可



## ウエスティングハウス マリンマイカータ

……1933年来船舶に実用され、戦後は圧倒的に使用されて、その優秀性を高く評価されているプラスティック。……

最も重要な用途：ゴム、メタル、リグナムバイタに換つて、スタンチューブペアリング、ラダーピントルブッシングに大型小型を問わず使われています。

その他 船用ペアリング、ポンプのバルブディスク、ピストンリング、ギア、電機絶縁材等、軽くて強いこの材料の応用は広まる一方です。是非御研究下さい。

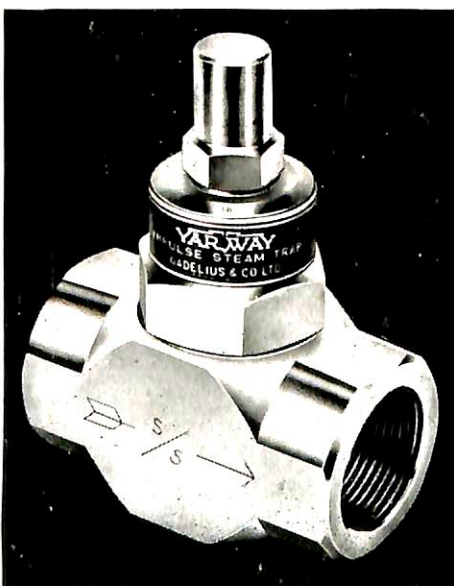
——データーシート贈呈——

——總代理店——  
**E. J. GRIFFITH & Co., Inc.**

東京都千代田区丸ノ内 ホテル東京ビル401

T E L. (28) 0536—39

# 生産増加にはヤーウェイ 蒸気トラップを!!



既設の蒸気設備で一層生産を上げるには？

それはヤーウェイ衝撃蒸気トラップを御利用になる事です。  
何故ならば

- 凝縮水の排出を間断なく完全に行ふ
- 空気とガスを完全に排除する
- 他の性能を完全に果すからです。
- どの工場でしやーウェイを取り付いた設備は急速に熱度が高まり…………しかも高温を保持して素晴らしい成績を収めています。
- その他の利点
- 小型廉価・可動部一箇所・取附・保存の容易
- 加熱の迅速・高溫熱の維持・ステンレス製
- 高度の耐圧性

ヤーウェイ衝撃蒸気トラップに関する詳細は当ガデリウス商會に御問合せ下さい。



日本總代理店  
株式会社 ガデリウス商会  
東京都港区芝公園七号地 電話 芝(43) 1847-8・3423・6489  
神戸市生田区京町六七 モーチビル 電話 元町(4) 5813-7

編集発行 東京都文京区向ヶ岡彌生町三  
印刷所 田岡健一  
東京都千代田区神田金沢町八  
昌平印刷株式会社

本号特価 一六〇円  
地方特価 一六五円  
發行所 天然

東京都文京区向ヶ岡彌生町三  
振替 小石川郵便局二五六二四番  
然

社